

# TELEVISIONE

ANNO XLII - LUGLIO 1970 - Abb. Postale - Gruppo III

# l'antenna

RASSEGNA MENSILE DI TECNICA ELETTRONICA

NUMERO

# 7

LIRE 500

## MISURATORE DI INTENSITA' DI CAMPO

# PRESTEL

MOD. MC 16

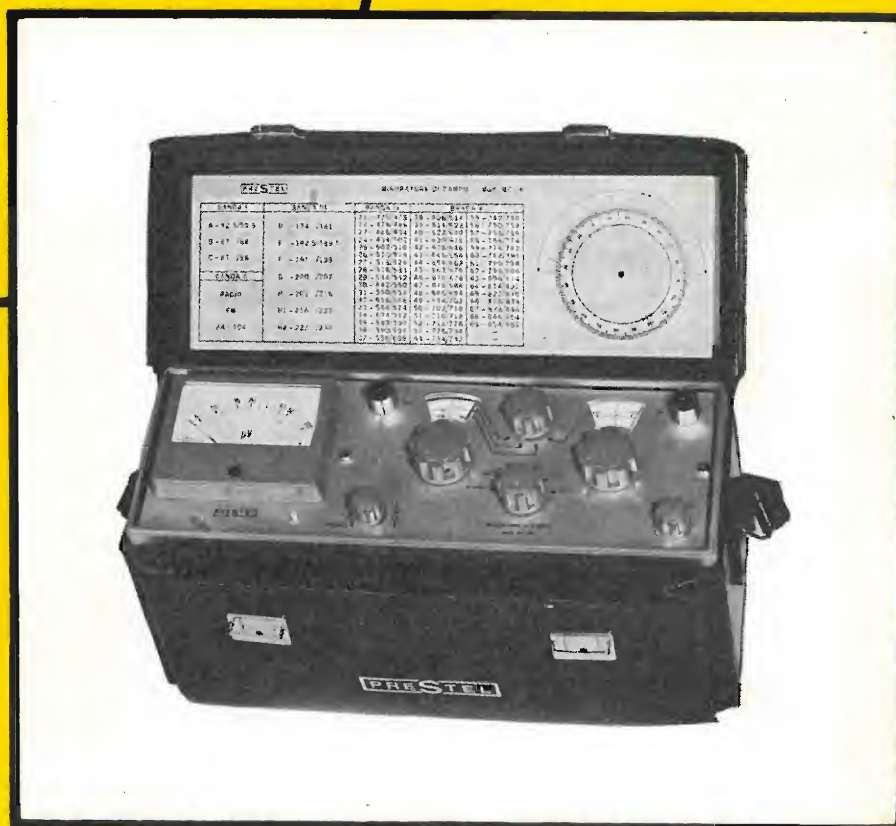
VENDUTO

IN TUTTO

IL MONDO

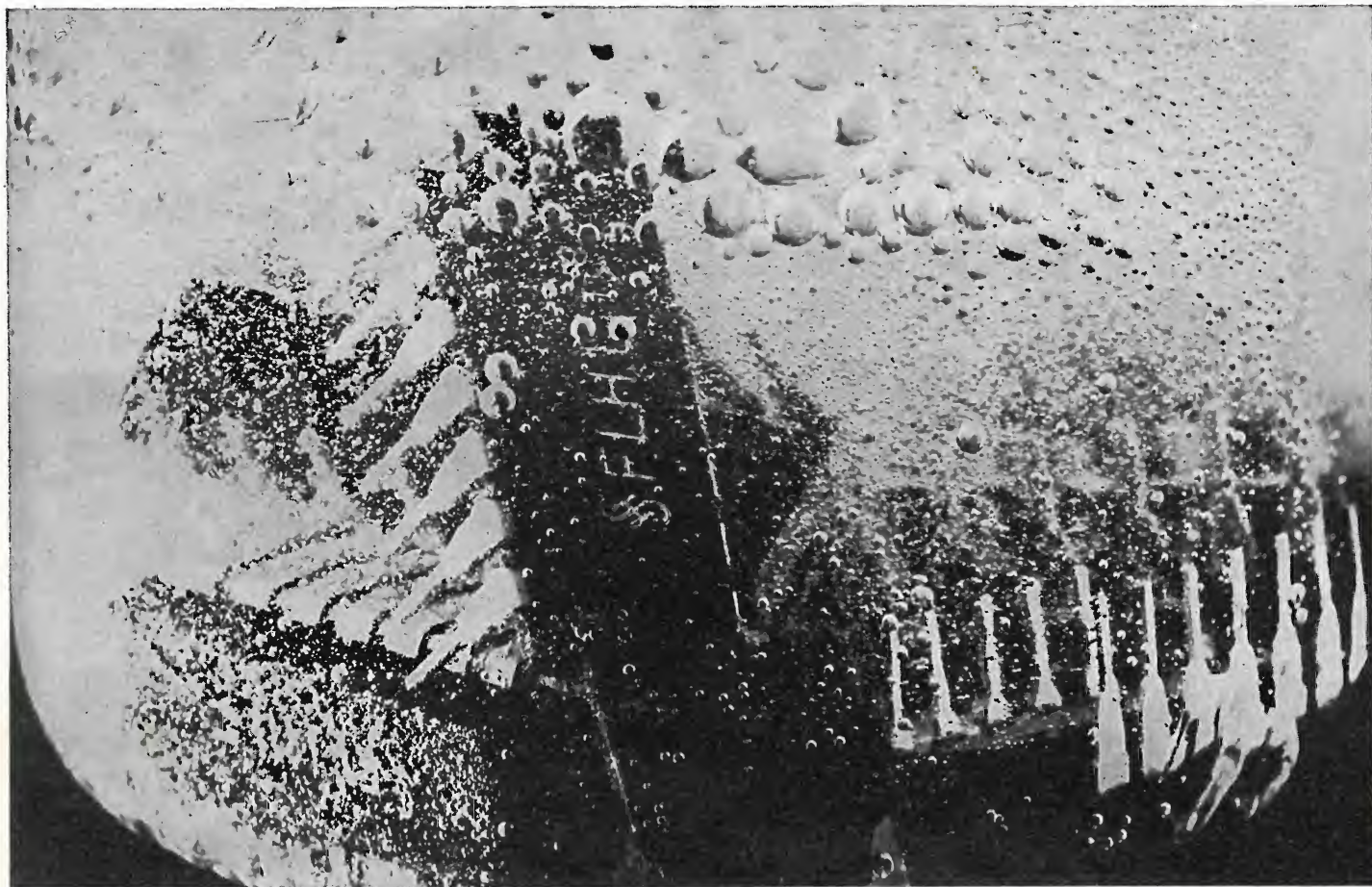
**PRESTEL** s.r.l.

Corso Sempione, 48 - 20154 Milano





# L'acqua bollente è troppo fredda per i circuiti integrati della Siemens



Questa affermazione potrà apparire esagerata ma è l'esatta conclusione a cui siamo pervenuti dopo aver fatto « bollire » i nostri circuiti integrati.

Per esaminare il loro comportamento alle alte temperature, essi vengono normalmente sottoposti ad una serie di severe e complesse prove di laboratorio. La prova che ci ha sbalorditi ed in un certo senso incuriositi è stata quella della ba-

nale « bollitura », alla quale sono stati sottoposti, per diverse ore, i nostri componenti.

Il risultato è stato sorprendente!

Non solo la custodia è rimasta intatta ma anche le caratteristiche elettriche sono rimaste inalterate. Abbiamo quindi potuto concludere soltanto questo: l'acqua bollente è troppo fredda per i circuiti integrati della Siemens.

## SIEMENS ELETTRA S.P.A. - MILANO



Sede della Società

**Ing. S. & Dr. GUIDO**

**BELOTTI**

PIAZZA TRENTO 8  
20135 MILANO

Posta : 20135 - MILANO

Telefoni : 54.20.51 (5 linee)

(Prefisso 02) 54.33.51 (5 linee)

Telex : 32481 BELOTTI

Telegrammi: INGBELOTTI - MILANO

C.P. GENOVA - VIA G. D'ANNUNZIO 1/7 - TEL. 5.23.09 - 16121

ROMA - VIA LAZIO 6 - TELEFONI 46.00.53/4 - 00187

NAPOLI - VIA CERVANTES 55/14 - TEL. 32.32.79 - 80133

## STRUMENTI PER MISURE ELETTRICHE

- GALVANOMETRI • AMPEROMETRI
- OHMMETRI • VOLTMETRI
- WATTMETRI • VARMETRI
- CONTATORI • FREQUENZIMETRI

- COSFIMETRI
- CAMPIONI DI RESISTENZA
- CAMPIONI DI CAPACITA'
- CAMPIONI DI INDUTTANZA

- POTENZIOMETRI
- PONTI PER MISURE DI R, C, L
- MISURATORI D'ISOLAMENTO
- MISURATORI DI TERRE

- LOCALIZZATORI GUASTI NEI CAVI
- VARIATORI DI FASE (SFASATORI)
- VARIATORI DI CORRENTE



Millivoltmetro registratore Esterline Angus



Misuratore di attenuazione PRD



Reostati lineari per laboratori

## VARIATORI DI TENSIONE

# “VARIAC®”

**Laboratori**

**per riparazioni e ritarature  
strumenti elettrici di misura**

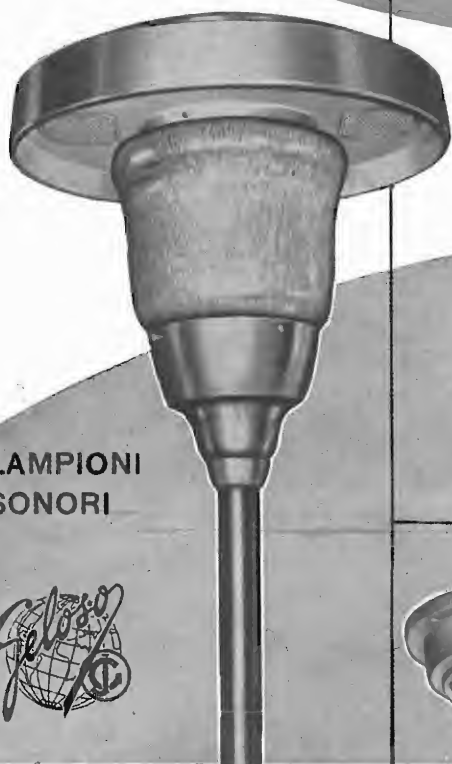
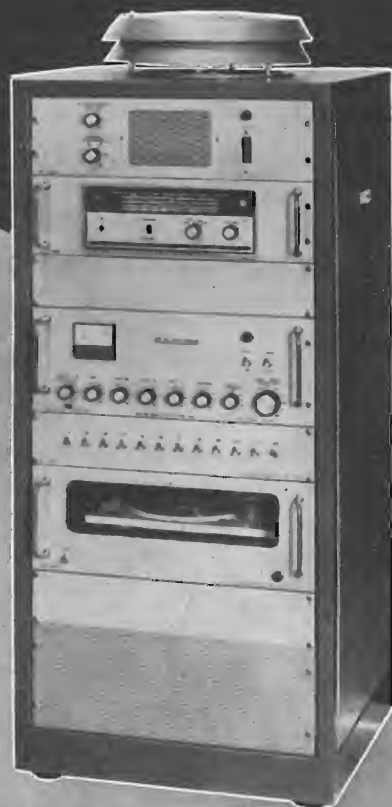
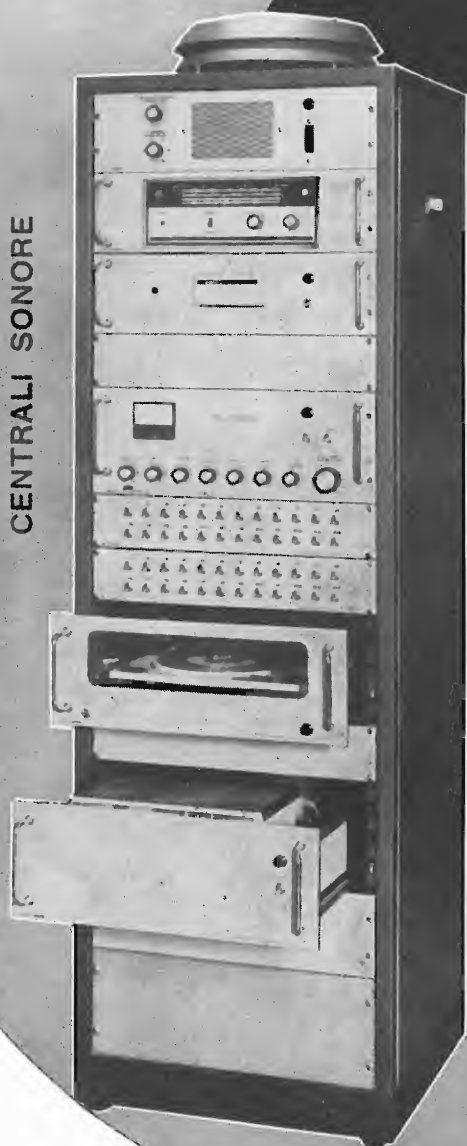


# GELOSO

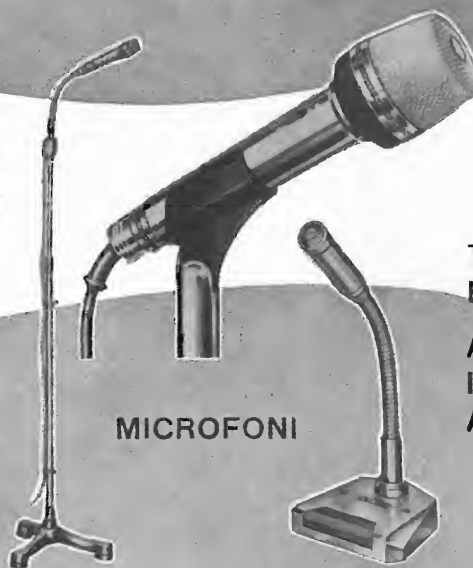
**IMPIANTI DI AMPLIFICAZIONE  
PER GRANDI MAGAZZINI - SUPERMERCATI - ALBERGHI  
COMUNITÀ - CENTRI SPORTIVI -  
STABILIMENTI INDUSTRIALI - AREE ALL'APERTO**

La Geloso produce una completa gamma di amplificatori, centrali sonore, microfoni, altoparlanti e componenti accessori, con i quali è possibile risolvere razionalmente qualsiasi problema di diffusione sonora. Tecnici audio specializzati sono a disposizione per fornire consulenze e preventivi e assistono ogni installazione.

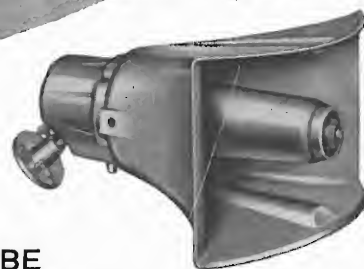
CENTRALI SONORE



LAMPIONI  
SONORI



MICROFONI



TROMBE  
ESPONENZIALI

ALTOPARLANTI  
IN CASSETTA E  
A COLONNA



**GELOSO S. p. A. - Viale Brenta, 29 - 20139 MILANO**





QUANDO IL CLIENTE  
VUOLE QUALITA'

CHIEDE

# Westinghouse

TELEVISORI - ELETTRODOMESTICI

*A. F. a diodi varicap  
alimentazione a.c. - d.c.  
batteria incorporata*



Mod. 1312 - 12"

*tutto cristallo - A. F. a transistors*



Mod. 2023 - 23"

« COSTRUITI PER DURARE »

## Westman S.p.A.

Licenziataria Westinghouse

Milano - Via Lovanio, 5  
Tel. 635.218 - 635.240 - 661.324  
650.445

# BOONTON ELECTRONICS CORPORATION

## STRUMENTI PER MISURA DI L, C, Q ED IMPEDENZE



Ponti per misure di capacità (in figura Mod. 75 D ad 1 MHz da 0,00005 pF a 1000 pF), di capacità ed induttanza, di Q, di conduttanza. A lettura diretta anche digitale (ideali per produzione) o ad azzeramento (massima precisione) o a limiti. Sistemi di misura automatici.

## STRUMENTAZIONE RF



Il nuovo voltmetro RF Mod. 92 A (in figura) è completamente a stato solido e copre la gamma da 100  $\mu$ V a 3 V da 10 kHz a 1,2 GHz con precisione base del 2%. Altri modelli misurano sino a 2,5 GHz. Un microwattmetro RF (Mod. 41 A) copre la gamma da 0,2 MHz a 12,4 GHz con una sola sonda da 0,001  $\mu$ W a 10 mW (70 db).

AGENTE ESCLUSIVO PER L'ITALIA:

### Dott. Ing. MARIO VIANELLO

Sede: 20122 - MILANO

Via Luigi Anelli n. 13 - Telefoni 553811 - 553081

Filiale: 00185 - ROMA

Via S. Croce in Gerusalemme 97 - Tel. 772250/941

## Quaderni di Applicazione **ELCOMA** sui **CIRCUITI INTEGRATI**

Con questa serie di pubblicazioni si è voluto dare all'utilizzatore di circuiti integrati sia digitali che lineari, una guida all'impiego di tali dispositivi che ne garantisca le prestazioni ottimali.

A tale scopo, in ciascun volume si è creduto utile anteporre, ad un vasto repertorio di circuiti applicativi più comunemente usati, una parte che, attraverso una descrizione della tecnologia e dei singoli dispositivi, consentisse una migliore comprensione del loro funzionamento. La parte più propriamente applicativa è poi frutto dell'esperienza dei vari Laboratori di Applicazione del Concern Philips, e non si limita ai soli componenti integrati ma prende in esame anche problemi di interfaccia con componenti o dispositivi diversi.

**Si può quindi dire che questi Quaderni di Applicazione rappresentano per il progettista elettronico, un complemento indispensabile ai Dati Tecnici del C.I.**



**Circuiti Integrati digitali serie FJ - Generalità e applicazioni**  
(P.F. Sacchi) - pag. 155      Prezzo L. 2.000

- 1 - INTRODUZIONE
- 2 - CENNI SULLE TECNOLOGIE COSTRUTTIVE DEI CIRCUITI INTEGRATI  
Introduzione alla tecnologia • Componenti dei circuiti integrati • Il circuito integrato completo: le isole • Il processo di fabbricazione
- 3 - GENERALITÀ SULLA SERIE FJ  
La famiglia FJ di circuiti integrati digitali a logica TTL • Campi di impiego e tipi • Caratteristiche elettriche della porta TTL • Logica TTL • Caratteristiche generali delle porte della serie FJ • La funzione OR di collettore • La funzione NOR • La funzione AND-OR-NOT • Porte con uscita di potenza per pilotaggio di linee • I flip-flop della serie FJ
- 4 - IMPIEGO DEI CIRCUITI INTEGRATI E PROBLEMI LOGICI ED ELETTRICI CONSEGUENTI  
Introduzione • Aspetti pratici dell'applicazione dei circuiti integrati • Problemi logici • Problemi elettrici
- 5 - IL RUMORE  
Il rumore: definizioni e caratterizzazioni dei circuiti • Margine di rumore • Immunità al rumore (noise immunity)
- 6 - QUALITÀ E AFFIDAMENTO  
Qualità e affidamento dei circuiti integrati
- 7 - FONDAMENTI DI LOGICA E METODI DI PROGETTO  
Sistemi di numerazione e conteggio • Codici • Algebra di Boole • Reti logiche combinatorie • Reti sequenziali
- 8 - APPLICAZIONI  
Funzioni logiche più comuni • Convertitori di codice • Complementatori • Rivelatori di errore • Parity check (controllo di parità) • Sommatore • Contatori • Shift register • Generatori di codici concatenati • Elementi di memoria (staticizzatori di informazioni) • Generatori e formatori d'onda • Discriminatore di livello • Circuiti di ingresso e di uscita
- 9 - CIRCUITI INTEGRATI COMPLESSI  
Progetto con circuiti integrati complessi • Criteri di progetti di circuiti integrati complessi • Elementi complessi • Alcune applicazioni dei circuiti integrati complessi • Conclusioni



**Circuiti Integrati digitali serie FC - Generalità e applicazioni**  
(P.F. Sacchi) - pag. 96      Prezzo L. 600

- 1 - INTRODUZIONE
- 2 - CENNI SULLE TECNOLOGIE COSTRUTTIVE DEI CIRCUITI INTEGRATI  
I componenti dei circuiti integrati • Il circuito integrato completo: le isole • Il processo di fabbricazione
- 3 - GENERALITÀ SULLA SERIE FC DI CIRCUITI INTEGRATI DIGITALI TIPO DTL  
Campo di impiego e tipi • Logiche DTL • Caratteristiche generali delle porte della serie FC • La funzione OR di collettore • Porta per pilotaggio con uscita di potenza • I flip-flop della serie FC • Il discriminatore di livello (Schmitt trigger) tipo FCL 101 • Il multivibratore monostabile tipo FCK 101
- 4 - LOGICHE COMBINATORIE E SEQUENZIALI: CRITERI DI PROGETTO  
Sistemi di numerazione e conteggio • Codici • Algebra di Boole • Reti logiche combinatorie • Reti sequenziali
- 5 - APPLICAZIONI  
Funzioni logiche più comuni • Convertitori di codice • Complementatori • Sommatore • Contatori • Shift Registers • Generatori e formatori d'onda • Circuiti di ingresso e di uscita



**Circuiti Integrati lineari per radio - televisione e bassa frequenza - Generalità e applicazioni**  
(P.F. Sacchi e E. Salvio) - pag. 72      Prezzo L. 600

- 1 - INTRODUZIONE
- 2 - CENNI SULLE TECNOLOGIE COSTRUTTIVE DEI CIRCUITI INTEGRATI  
I componenti dei circuiti integrati • Il circuito integrato completo: le isole • Il processo di fabbricazione
- 3 - INTRODUZIONE ALLA TECNICA DEI CIRCUITI INTEGRATI  
Premessa • Stadi accoppiati in continua • Circuiti direttamente accoppiati a due elementi attivi • L'amplificatore differenziale
- 4 - CARATTERISTICHE DEI CIRCUITI INTEGRATI PHILIPS PARTICOLARMENTE ADATTI PER APPLICAZIONI NEL CAMPO RADIO, TV, B.F.  
OM 200 - TAA 103 - TAA 263 - TAA 293 • il TAA 310 • il TAA 320 • il TAA 300 • il TAA 350 • il TAA 380 • il TAD 100
- 5 - I CIRCUITI INTEGRATI NEGLI AMPLIFICATORI DI B.F.  
Amplificatore di B.F. da 1,4 W / 7,5 V con TAA 263 • Amplificatori di B.F. da 2 W / 100 V e 4 W / 200 V con TAA 320 • Amplificatore di B.F. da 4 W / 18 V con TAA 320 • Amplificatore di B.F. da 1 W / 9 V con TAA 300 • Amplificatore per registratore con TAA 310
- 6 - I CIRCUITI INTEGRATI NEI RADIORICEVITORI  
Radiorecettore per onde medie - onde lunghe con TAD 100
- 7 - I CIRCUITI INTEGRATI NEI RICEVITORI TELEVISIVI  
Amplificatore suono intercarrier con TAA 350

**I quaderni di applicazione ELCOMA possono essere richiesti alla  
« Biblioteca Tecnica Philips » - Piazza IV Novembre, 3 - 20124 Milano**



elettrodomestici • radio televisione • componenti elettronici

# incontriamoci a Milano

in occasione della più importante manifestazione dei nostri settori



Una visita dettagliata  
alle Mostre vi consentirà  
di ricevere un attestato  
ufficiale e di partecipare  
ad un importante  
referendum dotato  
di ricchi premi.  
Richiedete i programmi  
alla Segreteria Generale  
Via L. Manara, 1  
20122 Milano

7ª Esposizione Europea Elettrodomestici  
35ª Mostra Nazionale Radio Televisione  
7° Salone Internazionale Componenti,  
Strumenti di Misura Elettronici e Accessori.

Quartiere Fiera di Milano Porta Carlo Magno



8/13 settembre 1970



# VIDEOSERVICE TVC

Questo libro — il primo in Italia nel settore — tratta ampiamente la **ricerca guasti**, la **riparazione**, la **taratura** e la **messaggio a punto** dei televisori a colori è corredato da oscillogrammi, fotografie a colori e schemi dei principali ricevitori a colori in commercio.

## Sommario

### DECODIFICATORE PAL

Descrizione generale  
Esame dei circuiti caratteristici componenti  
Rigenerazione della sottoportante  
Ponte di fase  
Formazione del segnale di identificazione  
Separazione dei segnali « differenza di colore »  
- linea di ritardo

### STRUMENTAZIONE

Vettorscopio: descrizione e suo impiego  
Generatore di « barre di colore »

### CONTROLLO SISTEMATICO

di un decodificatore PAL con rilievo delle forme d'onda

### CINESCOPIO TRICROMICO A 63 - 11 X

Introduzione  
I fosfori dello schermo  
Le triadi  
I cannoni elettronici  
Dati tecnici di impiego  
Note di impiego  
Messa a punto della convergenza e della purezza

### MATRICE

Considerazioni generali  
Matrice Philips con segnali differenza

Matrice Mullard con segnali RVB  
Matrice SEL con segnali RVB a transistori

### TARATURA E MESSA A PUNTO

di un circuito decodificatore PAL  
Controllo del canale di crominanza  
Controllo del separatore di burst, generatore di sottoportante e generatore del segnale di identificazione  
Controllo del killer  
Controllo del C.A.G.  
Controllo dei demodulatori sincroni  
Controllo della matrice

### AVARIE NEL RICEVITORE A COLORI

Metodo della ricerca dei guasti  
Mancanza totale di colore: esame delle possibili cause  
Presenza di colore ma con sequenza delle barre inesatte - esame possibili cause  
Rigatura dell'immagine - esame possibili cause  
Scarsa saturazione su tutte le tinte - esame possibili cause  
Scarsa saturazione su uno dei colori differenza - esame possibili cause  
Insufficiente definizione dell'immagine a colori - esame possibili cause  
Guasti al canale di luminanza - esame delle possibili cause  
Immagine in bianco e nero con tracce di disturbo colorato - esame delle possibili cause

ISTRUZIONI PER IL SERVIZIO TECNICO DEI TELEVISORI A COLORI

Con schemi

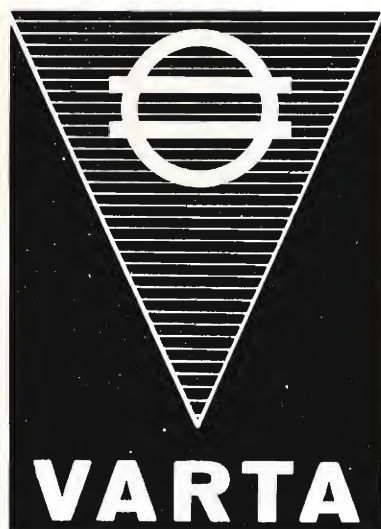
L. 14.000



EDITRICE IL ROSTRO

20155 MILANO - Via Monte Generoso 6a - Telefoni 321542 - 322793





## Accumulatori ermetici al Ni-Cd



RADIO PORTATILI  
PROTESI AUDITIVA  
ILLUMINAZIONE  
APPARECCHIATURE SCIENTIFICHE

NESSUNA MANUTENZIONE  
PERFETTA ERMETICITÀ  
POSSIBILITÀ DI MONTAGGIO  
IN QUALSIASI POSIZIONE

*S. p. A.*

**Trafilerie e laminatoi di metalli**

20123 MILANO

VIA A. DE TOGNI 2 - TEL. 876946 - 898442

Rappresentante generale

**Ing. GEROLAMO MILO**

20129 MILANO

Via Stoppani 31 - Tel. 278980

*A. Ferraro*

## INTRODUZIONE ALLA TVC

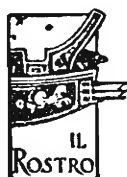
Scopo di questo volume è fornire nel modo più succinto possibile, compatibilmente con la chiarezza e la precisione, i concetti basilari della TVc, senza ricorrere a trattazioni analitiche e senza insistere su un argomento laddove non sia strettamente necessario. La lettura di questo lavoro pone in grado di affrontare un trattato complesso di TVc con la certezza di comprenderlo interamente e rapidamente.

Nella prima parte sono esposti i concetti generali indipendenti dal particolare sistema (PAL - SECAM - NTSC).

La seconda parte tratta in riassunto i procedimenti di trasmissione e ricezione TVc.

Nella terza e ultima parte si discutono i circuiti, che differenziano il ricevitore a colori da quello monocromatico.

Volume di pagg. 228  
72 quadricromie  
L. 7.000



**EDITRICE IL ROSTRO**

20155 MILANO - VIA MONTE GENEROSO 6a - TEL. 321542 - 322793

# RADIO ARGENTINA

ROMA

Via Torre Argentina, 47 - Telefono 56.59.89



RICHIEDETE IL NUOVO CATALOGO

**Valvole**

**Cinescopi**

**Semiconduttori**

**Parti staccate radio-TV**

**Materiale elettronico**

**e professionale**

*"Parapido"*

**Leggeri ...  
Perfetti !**



**Saldatori  
istantanei**

**DoH. Ing. PAOLO AITA**  
Corso S. Maurizio 65 - TORINO - Telef. 82.344  
FABBRICA MATERIALI E APPARECCHI PER L'ELETTRICITA'

*E' uscito:*

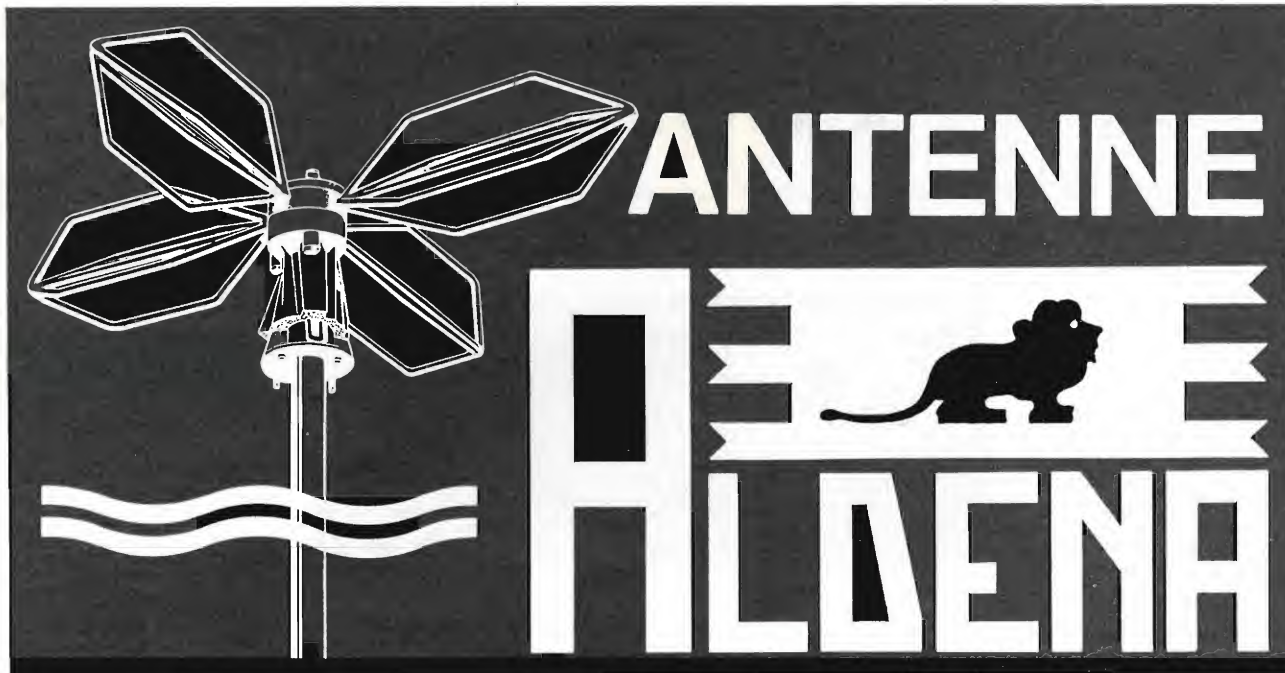
## CORSO DI TELEVISIONE A COLORI



*In 8 volumi di pagg.  
730, con 15 tavole a  
colori e 23 tavole fuori  
testo - formato 17 x 24  
cm. L. 24.000*

Editrice Il Rostro - 20155 Milano





IMPIANTI CENTRALIZZATI TV  
APPARECCHIATURE ELETTRONICHE  
ANTENNE PER RADIOAMATORI  
ANTENNE PROFESSIONALI

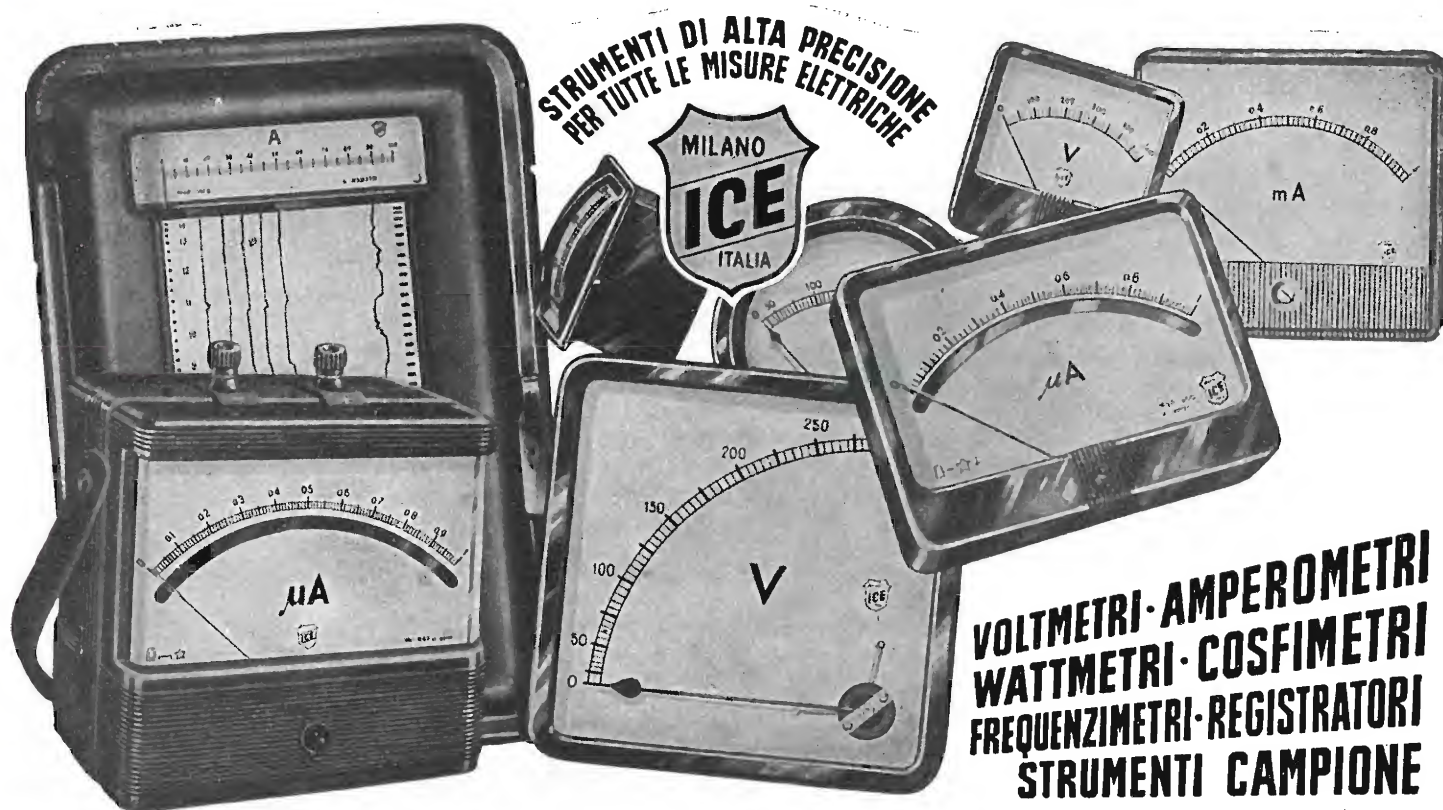
Cercasi concessionari per zone libere

**RICHIEDETE IL NUOVO CATALOGO ILLUSTRATO**

ALDENA - antenne e impianti - Via Odescalchi 4  
20148 MILANO - Telefono 40.31.883

ASB/1

L'ANTENNA BREVETTATA  
OMNIDIREZIONALE  
E MULTIBANDA PER IMBARCAZIONI  
O MEZZI MOBILI



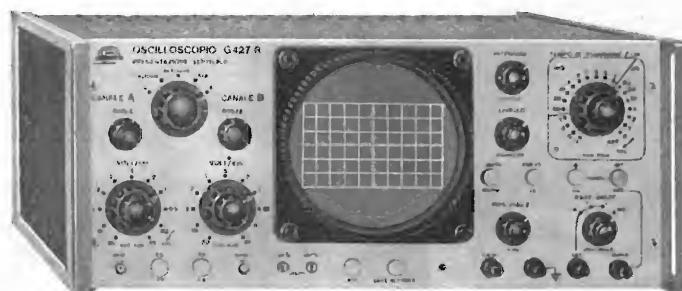
**INDUSTRIA COSTRUZIONI Elettromeccaniche**

VIA RUTILIA N. 19/18 - MILANO - TELEF. 531.554/5/6

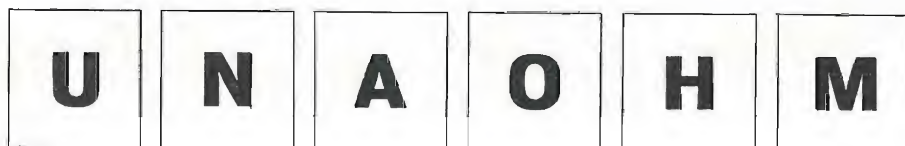
# OSCILLOSCOPIO

## A DOPPIA TRACCIA

mod. G 427 R



- Amplificatore verticale** **Sensibilità:** 10 mVpp/cm.  
**Attenuatore:** tarato in mVpp/cm, regolazione continua ed a scatti (11 posizioni).  
**Impedenza di ingresso:** 1 M $\Omega$  con 30 pF in parallelo.  
**Risposta di frequenza:** dalla cc a 10 MHz.  
**Risposta ai transistori:** **Tempo di salita:** 0,035  $\mu$ sec. - **Overshoot:** inferiore al 10 %.  
**Calibratore:** consente di tarare l'amplificatore verticale direttamente in Vpp/cm per mezzo di un generatore interno ad onda rettangolare alla frequenza di 1 KHz, con un'ampiezza di 1 e 10 Vpp. Impedenza: 100  $\Omega$ .
- Amplificatore orizzontale** **Presentazione verticale:** canale A; canale B; canali A + B; canali A e B a presentazione simultanea, con frequenza di commutazione a 100 KHz; canali A e B a presentazione alternata, con la stessa frequenza dell'asse dei tempi.  
**Sensibilità:** 100 mVpp/cm.  
**Attenuatore:** tarato in mVpp/cm, regolazione continua ed a scatti (3 posizioni).  
**Impedenza di ingresso:** 1 M $\Omega$  con 50 pF in parallelo.  
**Risposta di frequenza:** da 5 Hz a 2 MHz.
- Asse tempi** **Tipo di funzionamento:** ricorrente e comandato.  
**Portate:** da 1 sec/cm a 0,5  $\mu$ sec/cm in 20 portate. Moltiplicatore dell'asse del tempo: 5.  
**Sincronizzazione:** interna, esterna, alla frequenza di rete, con polarità negativa e positiva e con possibilità di regolazione continua. Per sincronizzazione interna sono sufficienti 3 mm di deflessione; per sincronizzazione esterna sono sufficienti 0,5 V.  
Per ciascun tipo di sincronizzazione è possibile stabilire il punto di partenza dell'asse dei tempi per tutti i 360° del periodo.
- Asse Z** **Impedenza di ingresso:** 1 M $\Omega$ .  
**Sensibilità:** è sufficiente un impulso positivo di 10 V per lo spegnimento della traccia.  
**Tubo a RC:** da 5" a schermo piatto, color verde a media persistenza (a richiesta a lunga persistenza). Reticolo millimetrato con possibilità di illuminazione.



della START S.p.A.

**STRUMENTI DI MISURA E DI CONTROLLO ELETTRONICI** ☐ **ELETTRONICA PROFESSIONALE**

☐ Stabilimento e Amministrazione: 20068 Peschiera Borromeo - Plasticopoli - (Milano) ☐ Telefono: 9150424/425/426 ☐

Visitateci alla Mostra Radio-TV di Milano salone Componenti Elettronici - stand 59 - 3° piano



# L'antenna

RASSEGNA MENSILE DI TECNICA ELETTRONICA

Proprietà

EDITRICE IL ROSTRO S.A.S.

Direttore responsabile

Alfonso Giovene

Comitato di Redazione

Edoardo Amaldi - Gerolamo Bertinato - Cesare Borsarelli - Antonio Cannas - Fausto de Gaetano - Giorgio Del Santo - Leandro Dobner - Alfredo Ferraro - Giuseppe Gajani - Fabio Ghersel - Gustavo Kuhn - G. Monti Guarnieri - Antonio Nicolich - Sandro Novellone - Donato Pellegrino - Paolo Quercia - Giovanni Rochat - Almerigo Saitz - Gianfranco Sinigaglia

Consulente tecnico

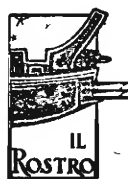
Alessandro Banfi

## SOMMARIO

A. Nicolich	245	Videocassette: minaccia o promessa per l'industria cinematografica
A. Romano - L. Venutti	246	Le applicazioni del C.I. T.A.A. 611 amplificatore di bassa frequenza
	258	Terza generazione di calcolatori analizzatori di immagini (LPS Europe)
	258	Standard unico per le videocassette
	258	Inaugurato ponte radio Budapest-Vienna
	259	Trasformatori a colonna per la regolazione di elevate potenze
	259	Sistema per il lavaggio ultrasonico di oggetti di vari materiali
A. Longhi	260	Sistema attivo di convergenza per tubi tricromatici 110° a circuiti integrati
	268	La I.T.T. Standard e la industrializzazione del Mezzogiorno
G. Gangale - V. Ranieri	270	Il condensatore al tantalio
	274	Videocitofono
	274	Un nuovo periodico di elettronica
Don Davis	275	Sonorizzazione Altec Acousta Voicing
	280	Un circuito stampato fatto in casa
	281	Memorie analogiche rapide con estrazione non distruttiva
A. Nicolich	282	Domande e risposte sulla TVC
	284	Misuratore di intensità di campo Prestel

Direzione, Redazione  
Amministrazione  
Uffici pubblicitari

VIA MONTE GENEROSO 6/a - 20155 MILANO - Telefoni 32.15.42 - 32.27.93  
C.C.P. 3/24227



La rivista di radiotecnica e tecnica elettronica "l'antenna" si pubblica mensilmente a Milano. Un fascicolo separato L. 500, l'abbonamento annuo per tutto il territorio della Repubblica L. 5.000, estero L. 10.000. Per ogni cambiamento di indirizzo inviare L. 50, anche in francobolli.

Tutti i diritti di proprietà artistica e letteraria sono riservati per tutti i Paesi. La riproduzione di articoli e disegni pubblicati è permessa solo citando la fonte. La responsabilità tecnico-scientifica di tutti i lavori firmati spetta ai rispettivi autori, le opinioni e le teorie dei quali non impegnano la Direzione.

La parte riservata alla pubblicità non supera il 70%.

# TECNICA ELETTRONICA SYSTEM

20121 MILANO

via Moscova 40/7

Telefoni 667.326 - 650.884



00182 ROMA

via Saluzzo 49

Telefono 727.663

## Nuovo oscilloscopio trigger a larga banda mod. 0169



### CARATTERISTICHE

#### AMPLIFICATORE VERTICALE

**Responso in frequenza:** dalla DC a 15 MHz

**Tempo di salita:** minore di 30 nSec

**Sensibilità:** da 20 mVpp/cm a 20 Vpp/cm

**Impedenza d'ingresso:**  
1 MOhm con 30 pF circa

**Calibrazione:** onda quadra 2 cm

#### AMPLIFICATORE ORIZZONTALE

**Responso di frequenza:**  
limitato dalla DC a 300 KHz

**Sensibilità:** 100 mVpp/cm

**Espansione:** regolabile, mass. x 10

#### ASSE TEMPI

**Tempi di scansione:** da 150 mSec/cm  
a 200 nSec/cm

**Funzionamento:** triggerato o ricorrente  
±: int, est, rete, riga e quadro TV

**Asse Z:** soppressione + 25 Vp

**Tubo impiegato:** 5" tipo D13-480GH Philips

**Semiconduttori impiegati:** compless. n. 55

**Dimensioni:** 19 x 28 x 39 cm

Visitateci alla Mostra Radio - TV di Milano salone Componenti Elettronici - stand 58



dott. ing. Antonio Nicolich

## Videocassette: minaccia o promessa per l'industria cinematografica?

*Nell'ambito del rinnovamento generale, anche le forme di spettacolo si evolvono. Quando spunta all'orizzonte un nuovo genere di « divertimento collettivo », i conservatori (senza il minimo accenno alle elezioni politiche inglesi) reagiscono negativamente, perché vi scorgono un concorrente temibile, tendente a farsi largo a calci e gomitate. Ogni nuova manifestazione spettacolare si avvale dell'esperienza acquisita dai predecessori: il cinema usufruì del teatro; la radio sfruttò il disco e, pur basandosi sui lavori teatrali, riuscì a porre nuove basi per nuovi programmi; la TV sfruttò e sfrutta il teatro, il cinema, la radio, il disco fonografico. Ciascun cambiamento comportò l'aggiunta di elementi prima inesistenti, pervenendo ad una forma di spettacolo varia, dinamica, evoluta, adatta all'immensa platea del mondo intero divenuto assai piccolo.*

*L'astro già altamente splendente più recente in questo campo è costituito dalle video cassette. Ed ecco pronta una nutrita schiera di antagonisti, che si affrettano ad elencarne le qualità negative, preoccupati come sono dalle qualità positive veramente affascinanti.*

*L'industria cinematografica si è finora comportata decisamente come avversaria dei video nastri. La preoccupazione dei cinematografari è però discutibile, anzi, l'avvento del nuovo mezzo di registrazione delle immagini può diventare una fonte di richiesta di registrazioni filmate, aprendo all'industria un mercato pari a quello dei dischi. Le video cassette possono dunque rappresentare un affare, una fonte di lavoro tecnico e commerciale, a tutto vantaggio delle classi lavoratrici. Rispetto al film proiettato sonoro, il nastro video in scatola permette la scelta del programma, analogamente a quanto avviene nel campo della musica riprodotta: udire (e vedere) quello che piace, dove e quando lo si desidera, eliminando ciò che non interessa o disturba (per es. la tortura degli applausi scroscianti in TV, che procurano a ritmo convulso clienti ai nosocomi). L'uso della cinepresa non ha recato alcun danno a nessuna categoria di cineasti, ha solo favorito un'enorme produzione di film per uso domestico, che non distoglie menomamente il pubblico dal recarsi al cinema.*

*Attualmente esistono oltre 15 ditte fabbricanti di cassette audiovisive, per uso domestico, ed è facile pronosticare che il fascino di questo prodotto sedurrà rapidamente le schiere giovanili dapprima, gli anziani e decrepiti, poi.*

*Per il successo della bella iniziativa, si richiede la cooperazione di uomini del commercio, della politica, delle autorità civili, della legge, che devono dare tutti il loro contributo. Il sistema di trattenimento audiovisivo ha bisogno di un mondo di collaboratori: artisti, scrittori, sceneggiatori, produttori di programmi per la creazione di nastri pre-registrati con soggetti di ogni sorta. I costi degli impianti, secondo le informazioni di un delegato americano, per la produzione di video na-*

(segue a pag. 267)

dott. ing. A. Romano - dott. ing. L. Venutti

# Le applicazioni del C.I. TAA 611 amplificatore di bassa frequenza\*

*Vengono presentate alcune applicazioni del circuito integrato TAA 611, amplificatore di bassa frequenza, dopo aver indicato come se ne stabilisce il guadagno, la banda e la regolazione di tono.*

## 1. - INTRODUZIONE

Il TAA 611 è un circuito integrato planare, realizzato su piastrina di silicio, capace di compiere, unito a pochi componenti esterni, tutte le funzioni di un amplificatore di bassa frequenza.

Televisori e radio, registratori e fonovalige, ed in genere tutte le apparecchiature audio, possono usare il TAA 611, ottenendo sul carico un paio di watt, con una corrente che arriva ai 2 A picco-picco.

La potenza utile fornita dal TAA 611 è limitata essenzialmente dalla massima potenza dissipabile dal dispositivo, che presenta ingombro, e quindi superficie, di dimensioni molto ridotte.

Quando sia richiesta sul carico una potenza maggiore di quella che il dispositivo può fornire direttamente, esso può essere usato come preamplificatore per pilotare uno stadio finale.

Il campo di funzionamento del TAA 611 è molto ampio. Le temperature ammesse per la piastrina di silicio vanno da 0 a 125°C, e la tensione utile di funzionamento da 4,5 a 15 V. In corrispondenza a tutti i valori ammessi per la tensione e la temperatura, il dispositivo si autopolarizza in modo da fornire sempre la massima potenza compatibile con la tensione d'alimentazione e l'impedenza di carico, e mantiene a valori

(\*) S.G.S. - Agrate - Milano

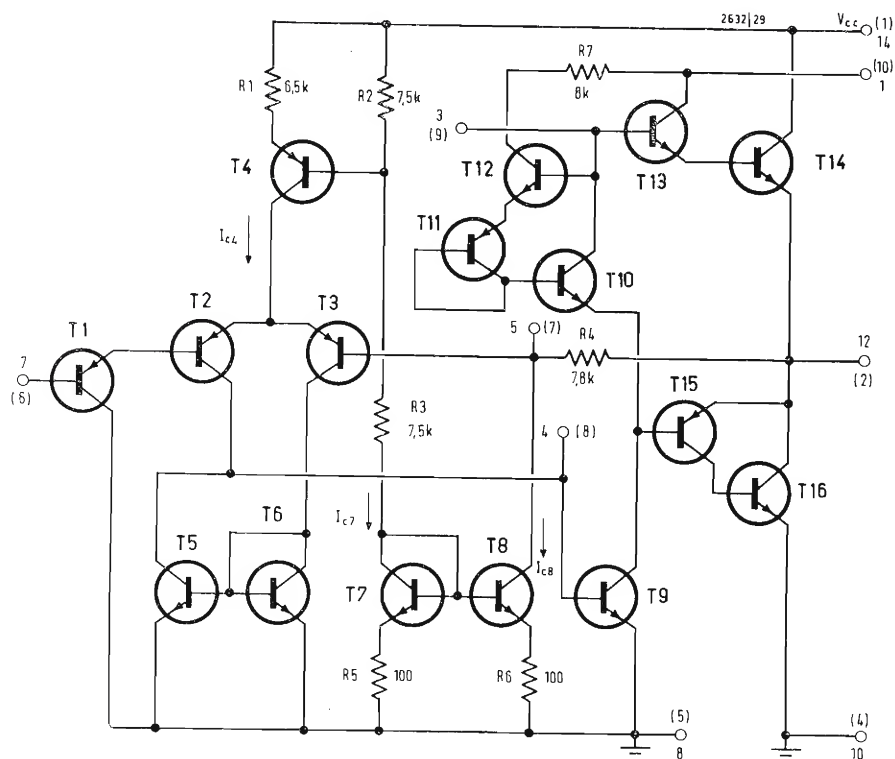


Fig. 1 - Schema interno del TAA 611.



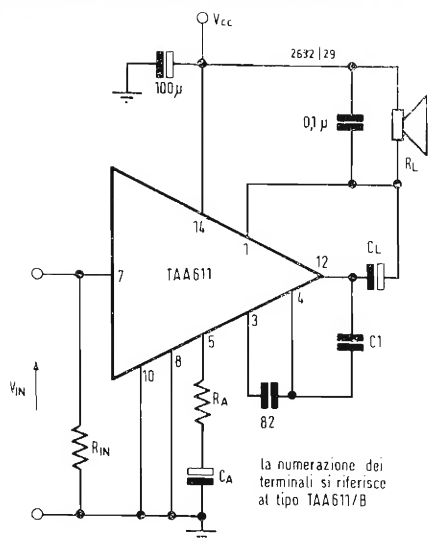


Fig. 2 - Schema generale d'impiego del TAA 611

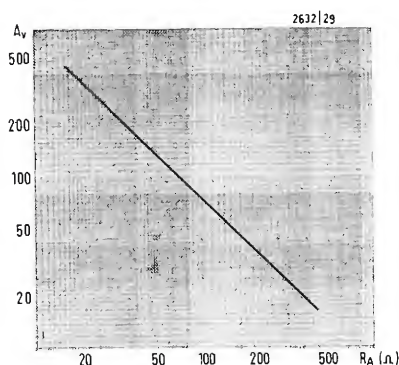


Fig. 3 - Relazione tra il guadagno di tensione  $A_v$  e la resistenza  $R_A$  per lo schema di fig. 2 ( $V_{cc} = 9$  V,  $R_L = 8$  Ω).

molto bassi la corrente assorbita in assenza di segnale.

Il guadagno in tensione tipico per l'amplificatore, in assenza di controreazione, è 2500.

Il guadagno risulta ridotto di 3 dB a circa 100 kHz ed arriva all'unità a 10 MHz.

Il guadagno di 2500 è esuberante nelle applicazioni comuni di bassa frequenza, e permette di prevedere una controreazione di 20 ÷ 30 dB. Grazie ad essa si ottengono valori di distorsione molto bassi e si migliorano le impedenze d'ingresso e d'uscita dell'amplificatore. Il guadagno richiesto si ottiene scegliendo opportunamente (fig. 3) il valore di una resistenza esterna ( $R_A$  di fig. 2) che fa parte del circuito di controreazione. Poiché già senza controreazione l'impedenza d'ingresso è tipicamente maggiore di 1 MΩ, con la controreazione si arriva a valori tali da permettere di usare il dispositivo con generatori di impedenza molto alta, come, per esempio, le testine fonografiche piezoelettriche. Un segnale riferito a massa può essere applicato direttamente all'ingresso del dispositivo, senza condensatore che blocchi la continua. Ciò permette di ridurre il rumore, e la durata dei transistori all'accensione. Deve essere previsto un percorso per la corrente ( $< 1$  μA) che dall'ingresso vada a massa.

La larghezza di banda dell'amplificatore si stabilisce fissando opportunamente (fig. 4) il valore di una capacità ( $C_1$  di fig. 2).

Il dispositivo risulta di uso molto semplice e, grazie alla sua versatilità, presenta possibilità di applicazione praticamente inesauribili, anche in apparecchiature di carattere non acustico.

In questo rapporto viene illustrato il modo di stabilire il guadagno, la banda passante, la regolazione di tono degli

amplificatori, che usano il TAA 611, e ne vengono presentate alcune applicazioni caratteristiche con i dati circuitali e le prestazioni.

## 2. - IL GUADAGNO E LA BANDA PASSANTE DEL TAA 611 CONTROREAZIONATO

La fig. 2 indica uno schema d'impiego generale del TAA 611. La resistenza all'ingresso  $R_{in}$  può assumere il valore richiesto dal generatore di segnale usato, da alcuni ohm fino alle centinaia di kohm. Per i valori più alti di questa resistenza si può avere un piccolo spostamento della tensione continua di uscita. Questo corrisponde alla caduta di tensione dovuta al passaggio in  $R_{in}$  della corrente continua ( $< 1$  μA) che dall'ingresso va a massa.

La resistenza  $R_A$  determina l'entità della controreazione alle frequenze centrali della banda passante. Quanto  $R_A$  è maggiore, tanto minore è il guadagno dell'amplificatore controreazionato. La retta di fig. 3 indica la relazione tipica tra il valore di  $R_A$  ed il guadagno di tensione dell'amplificatore.

Alle frequenze più basse ci sono due motivi per cui, a pari tensione d'ingresso, la potenza di uscita diminuisce. Uno è l'attenuazione dovuta alla capacità in serie ad  $R_A$ , quando la relativa impedenza diventa paragonabile ad  $R_A$ . Un altro motivo è la caduta di tensione sulla capacità  $C_L$  in serie all'uscita quando la sua impedenza assume valori paragonabili a quelli del carico utile. Occorre tener presente che l'attenuazione dovuta a  $C_A$  è di controreazione, mentre la caduta su  $C_L$ , a pari tensione all'uscita (piedino 12), si presenta, per differenza, sul carico utile.

La frequenza di taglio superiore  $f_2$  dipende dal valore della capacità  $C_1$  e dal guadagno dell'amplificatore controrea-

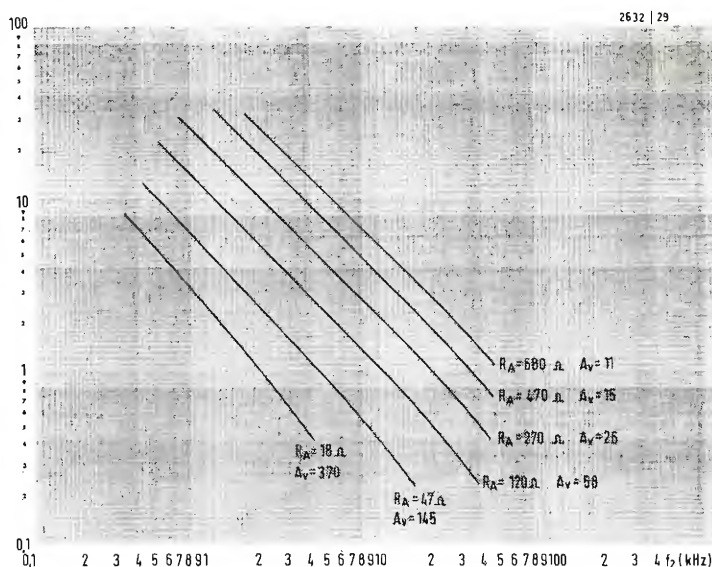


Fig. 4 - Valori di  $C_1$  (fig. 2) per cui la frequenza di taglio superiore assume i valori  $f_2$  ( $V_{cc} = 9$  V,  $R_L = 8$  ohm).

Fig. 5 - Circuito con regolazione di tono.

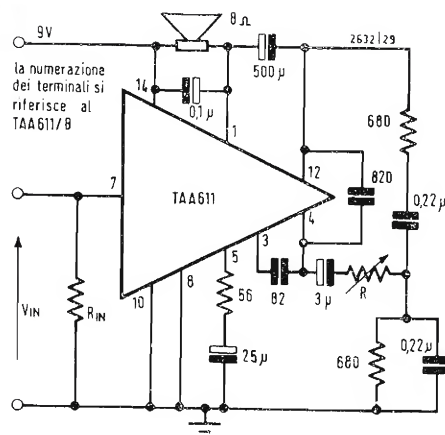
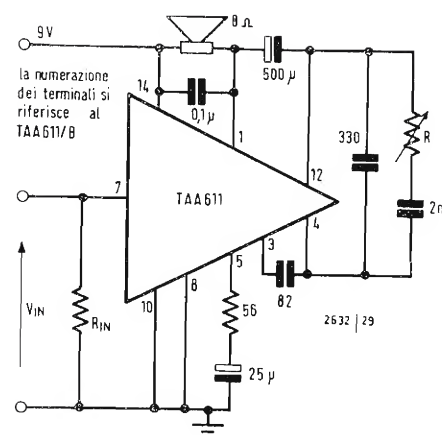


Fig. 6 - Circuito con regolazione di tono.



zionato. La fig. 4 fornisce il valore di  $C_1$ , in funzione della  $f_2$ , in corrispondenza a vari valori del guadagno (cioè di  $R_4$ ). In prima approssimazione si può pensare che il prodotto  $f_2 \times A_v$  sia inversamente proporzionale a  $C_1$ .

### 3. - LA REGOLAZIONE DI TONO NEGLI AMPLIFICATORI AUDIO IMPIEGANTI IL TAA 611

La risposta in funzione della frequenza dipende, nello schema di fig. 2, dalla capacità  $C_2$  posta tra l'uscita (terminale 12) e il terminale 4. Questa capacità fornisce una controreazione selettiva dall'uscita all'ingresso dello stadio pilota (fig. 1). Usando, al posto di  $C_2$ , reti più complesse, munite di potenziometro, si può ottenere una curva di risposta variabile, cioè una regolazione di tono. Lo schema di fig. 5 rappresenta un circuito la cui curva di risposta, nelle posizioni estreme del potenziometro, as-

sume l'aspetto riportato nella fig. 7, dove è indicata pure la distorsione che, alle varie frequenze, si ha con il segnale di ingresso che a 1 kHz fornisce 75 mW all'uscita.

Lo schema di fig. 6 determina invece, al variare di  $R$ , le risposte indicate in fig. 8, dove la curva della distorsione corrisponde al valore 5,6 kΩ per il potenziometro. Anche qui la tensione di ingresso è costante, ed ha il valore che a 1 kHz determina 75 mW di potenza d'uscita.

### 4. - AMPLIFICATORE AUDIO PER RADIORICEVITORE

La fig. 9 fornisce lo schema di un circuito, che presenta il guadagno richiesto normalmente agli amplificatori audio dei radiorecettori.

Con  $R_A = 27 \Omega$  si ottiene il guadagno di tensione di 250 mentre la larghezza di banda dipende dal valore stabilito per  $C_1$ . Volendo una banda più stretta,

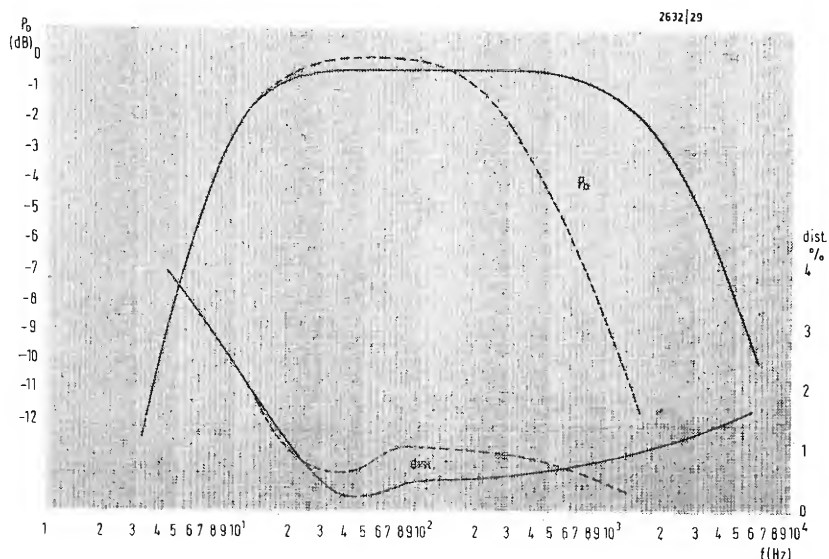


Fig. 7 - Curve di risposta e distorsione per il circuito di fig. 5 0dB = 75 mW.



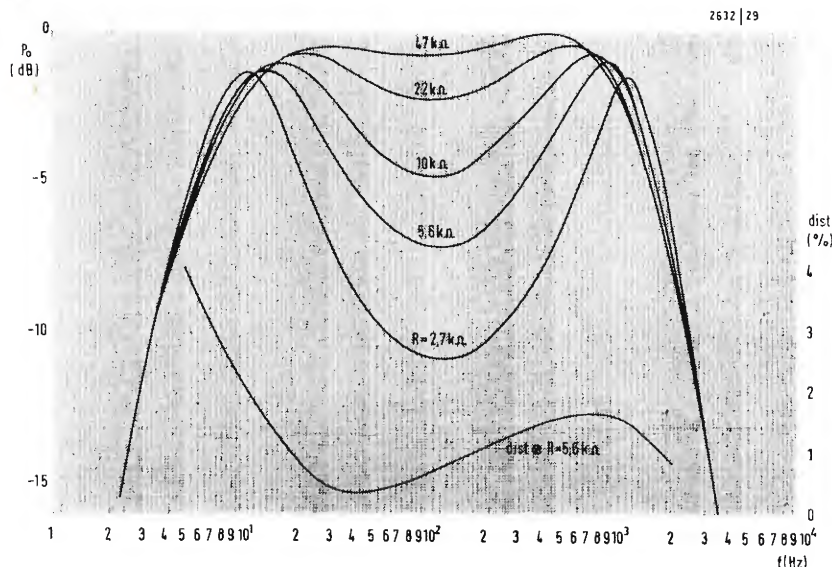


Fig. 8 - Curve di risposta e distorsione per il circuito di fig. 6 (0 dB = 75 mW).

basta aumentare opportunamente  $C_1$ . La tabella 1 fornisce le prestazioni dell'amplificatore, mentre le figg. 11, 12, 13 rappresentano in funzione delle frequenze, per tre valori della tensione di alimentazione, il livello all'uscita, e la distorsione, quando all'ingresso si abbia la tensione di segnale che a 1 kHz dà 50 mW o 500 mW.

Nelle figg. 14, 15, 16 le curve  $A_v = 250$  indicano la distorsione in funzione della potenza d'uscita per gli stessi valori della tensione di alimentazione.

La fig. 17 rappresenta il disegno del circuito stampato dell'amplificatore e la disposizione dei componenti sul circuito stesso.

## 5. - AMPLIFICATORE PER GIRADISCHI A TESTINA PIEZOELETTRICA

La fig. 10 riporta lo schema del circuito di un amplificatore adatto a giradischi con testina piezoelettrica.

Il guadagno richiesto non è molto alto, e si usa perciò una  $R_A = 150 \Omega$  per ottenere un guadagno di tensione 50. All'ingresso dell'amplificatore si usa un potenziometro di forte valore ohmico (220 kΩ) quale è richiesto dalla testina piezoelettrica.

La frequenza di taglio superiore dipende da  $C_1$ , che viene fissato in 1,2 nF, ottenendo le curve di risposta delle figg. 18, 19, 20. Queste figure riportano anche le corrispondenti distorsioni, e le curve sono tracciate con due valori della tensione d'ingresso:  $V_{in} = 12,6$  mV che a 1 kHz fornisce  $P_{out} = 50$  mW e  $V_{in} = 40$  mV per cui a 1 kHz  $P_{out} = 500$  mW. Quando si voglia ridurre la banda passante si può abbassare la frequenza di taglio superiore aumentando in proporzione il valore di  $C_1$ . La tabella 2 indica le principali prestazioni del circuito, e le curve  $A_v = 50$  delle figg. 14, 15, 16 forniscono la distorsione a 1 kHz, in funzione della potenza d'uscita. Il cir-

Fig. 9 - Amplificatore audio per radioricevitore.

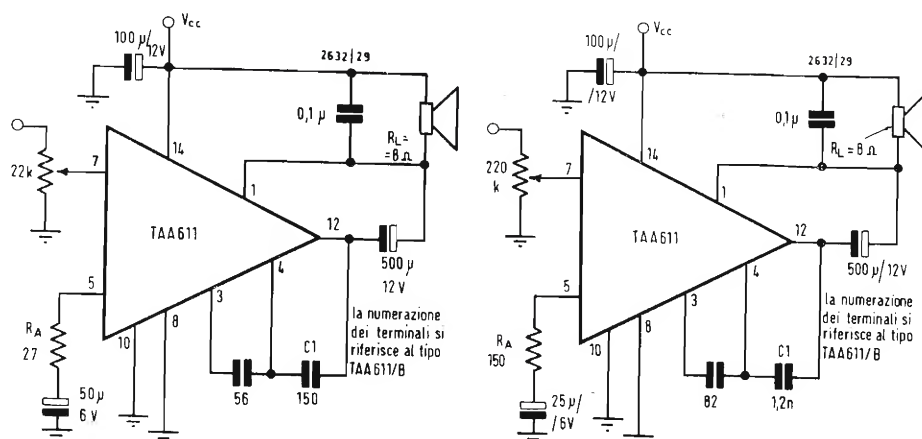


Fig. 10 - Amplificatore per giradischi a testina piezoelettrica.

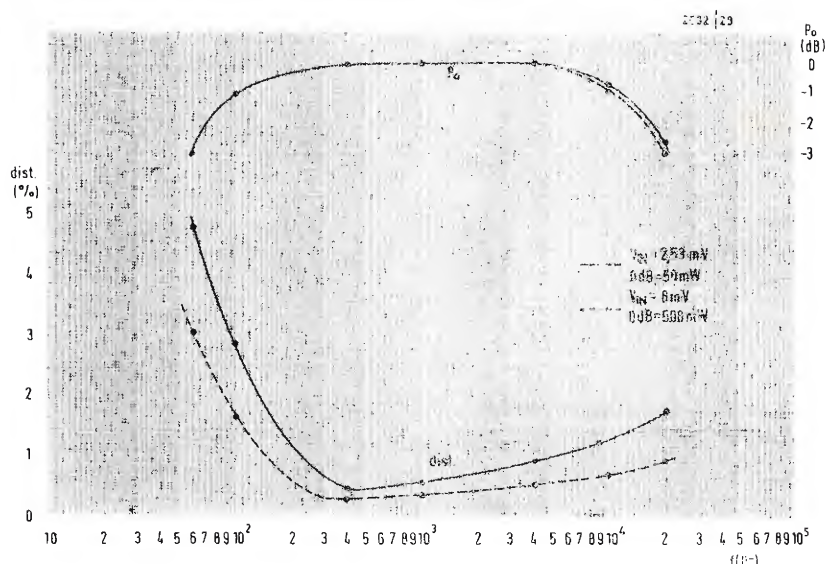


Fig. 11 - Curve di risposta e distorsione dell'amplificatore di fig. 9 ( $A_v = 250$ ) con  $V_{cc} = 9$  V.

TABELLA 1

Caratteristiche elettriche e prestazioni tipiche dell'amplificatore audio per radioricevitori di fig. 9 ( $A_v = 250$ )

— Tensione di alimentazione	9	11	15	V
— Guadagno di tensione ( $f = 1$ kHz)	250	250	250	
— Sensibilità ( $f = 1$ kHz)				
$P_o = 50$ mW $V_{in}$	2,5	2,5	2,5	mV
$P_o = 1$ W $V_{in}$	11,3	11,3	11,3	mV
$P_o = 2$ W $V_{in}$			16	mV
— Risposta di frequenza ( $-3$ dB)	60 ÷ 20 k	60 ÷ 25 k	50 ÷ 30 k	Hz
— Corrente assorbita ( $P_o = 0$ )	4	5,5	8	mA
— Massima potenza d'uscita ( $f = 1$ kHz)				
dist. = 10 %	1,15	1,8	3,3	W
— Distorsione ( $f = 1$ kHz)				
$P_o = 50$ mW ÷ 500 mW	< 0,6			%
$P_o = 50$ mW ÷ 1 W		< 0,6		%
$P_o = 50$ mW ÷ 2 W			< 0,6	%
— Corrente assorbita ( $f = 1$ kHz)				
$P_o = 1$ W	170			mA
$P_o = 1,5$ W		210		mA
$P_o = 3$ W			290	mA
— Rendimento ( $f = 1$ kHz)				
$P_o = 1$ W	65			%
$P_o = 1,5$ W		65		%
$P_o = 3$ W			70	%
— Tensione di rumore riferito all'ingresso				
( $R_s = 51 \Omega$ banda 15 kHz)	5	5	5	$\mu$ V
— Tensione continua all'uscita ( $R_s = 0 \div 220$ k $\Omega$ )	4,8	5,8	7,8	V
— Reiezione alla tensione di alimentazione (riferita all'ingresso)		54		dB

cuito stampato di fig. 17 e la relativa disposizione componenti, sono validi anche per questo amplificatore, quando si usino i valori indicati tra parentesi.

## 6. - AMPLIFICATORE DA 5 W PER AUTORADIO

Quando si voglia avere una potenza d'uscita maggiore di un paio di watt conviene usare il TAA 611 quale pre-amplificatore pilota di uno stadio finale a simmetria complementare. Il vantaggio di questa soluzione, nei confronti di quella convenzionale a

componenti discreti, supera di gran lunga quello della semplicità di realizzazione del circuito e della piccola dimensione, comune a tutte le applicazioni dei circuiti integrati. Si può infatti sfruttare l'elevato guadagno a spira aperta del TAA 611 per introdurre una forte controreazione, che comprenda anche lo stadio finale, rendendo così trascurabile la distorsione da questo introdotta. La particolare configurazione circuitale di cui è dato lo schema in fig. 21 (la numerazione dei terminali in fig. 21 è quella corrispondente al TAA 611/A, il cui contenitore è simile al TO 5) per-

mette di usare transistori finali senza particolare accoppiamento, e di eliminare la preregolazione della loro corrente di riposo, pur senza correre rischi di fuga termica anche a temperatura ambiente elevata. Infatti la corrente di riposo dello stadio finale è praticamente nulla, e la distorsione di crossover è resa trascurabile, oltre che dalla controreazione applicata per mezzo di  $R_1$ ,  $R_2$  e  $C_1$ , dalla presenza di  $R_4$ , che fornisce corrente al carico quando, essendo il segnale d'ingresso molto piccolo, i transistori finali sono entrambi interdetti. In questo circuito l'impiego del TAA



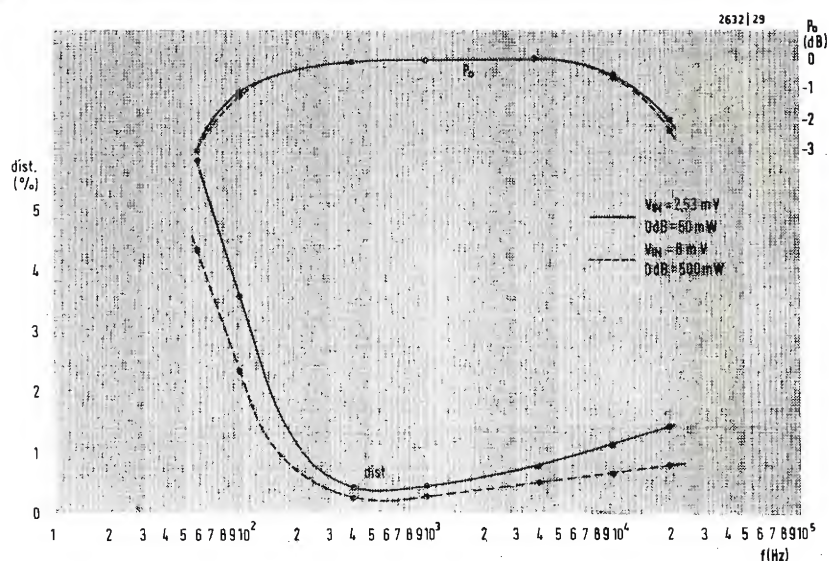


Fig. 12 - Curve di risposta e distorsione dell'amplificatore di fig. 9 ( $A_v = 250$ ) con  $V_{cc} = 11 \text{ V}$ .

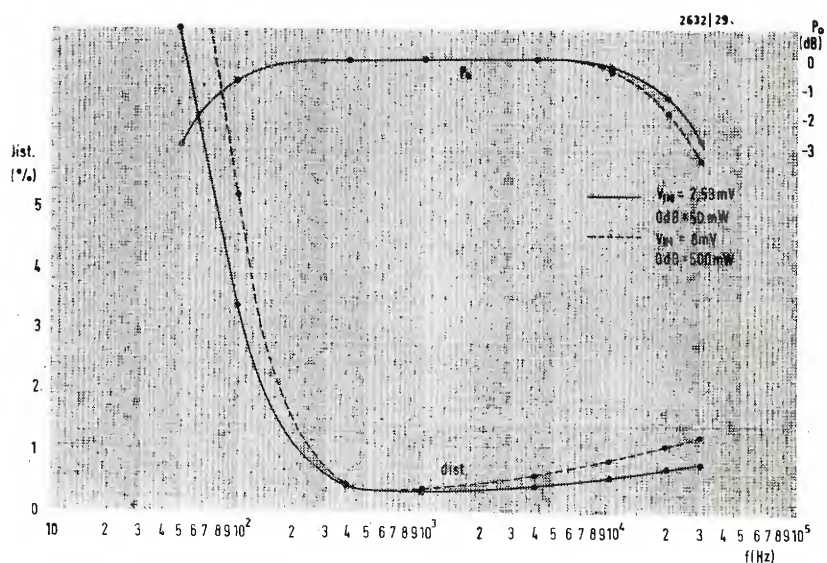


Fig. 13 - Curve di risposta e distorsione dell'amplificatore di fig. 9 ( $A_v = 250$ ) con  $V_{cc} = 15 \text{ V}$ .

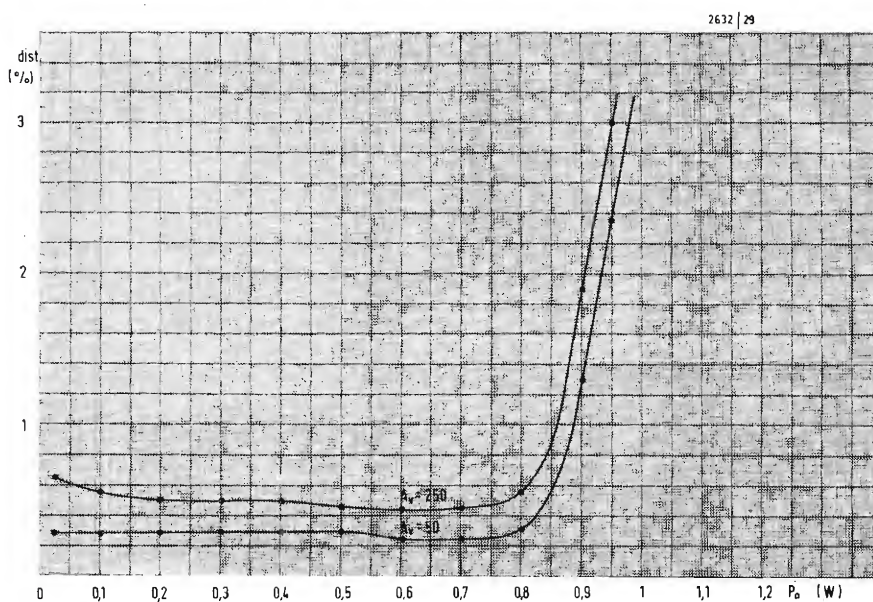


Fig. 14 - Distorsione in funzione della potenza di uscita per i circuiti di fig. 9 ( $A_v = 250$ ) e di fig. 10 ( $A_v = 50$ ) con  $V_{cc} = 9 \text{ V}$ .

Fig. 15 - Distorsione in funzione della potenza di uscita per i circuiti di fig. 9 ( $A_v = 250$ ) e di fig. 10 ( $A_v = 50$ ) con  $V_{cc} = 11$  V.

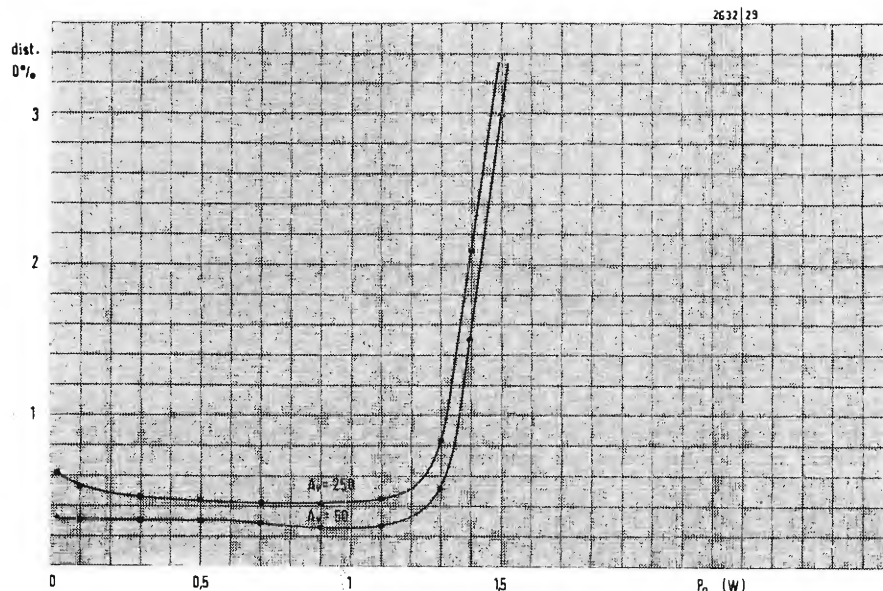


Fig. 16 - Distorsione in funzione della potenza di uscita per i circuiti di fig. 9 ( $A_v = 250$ ) e di fig. 10 ( $A_v = 50$ ) con  $V_{cc} = 15$  V.

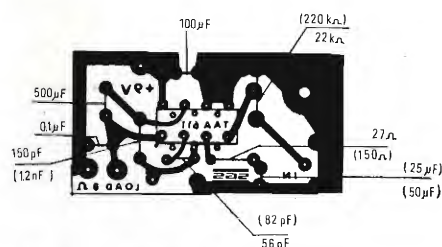
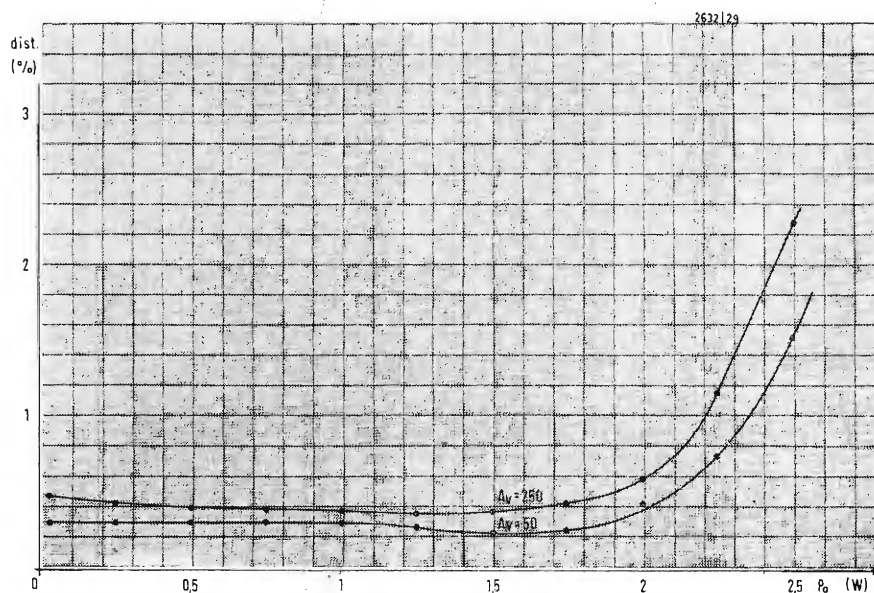


Fig. 17 - Circuito stampato e disposizione dei componenti per gli amplificatori di fig. 9 e fig. 10.

611 permette inoltre di mantenere entro limiti accettabili le variazioni della tensione continua all'uscita. Queste sono causate dalla dispersione che si può avere, in produzione, nelle caratteristiche dei transistori finali impiegati, e dalle variazioni della temperatura ambiente.

Ai pregi dell'estesa gamma di temperature di funzionamento, ed all'ingombro ridotto, dati particolarmente importanti nelle autoradio, si aggiunge l'alta impedenza d'ingresso caratteristica del TAA 611.

I diagrammi delle figg. 22 e 23 riportano le curve della distorsione in funzione della frequenza, a potenza d'uscita costante, ed in funzione della potenza d'uscita, alla frequenza di 1 kHz.

La fig. 24 indica la corrente assorbita a vuoto (a), ed al clipping (limite di to-

satura) (b), in funzione della tensione di alimentazione, mentre la fig. 25 fornisce la relazione tra la potenza d'uscita al clipping e la tensione d'alimentazione.

La fig. 26 riporta il disegno del circuito stampato e la disposizione dei componenti dell'amplificatore.

## 7. - AMPLIFICATORE A PONTE

Con un carico d'impedenza relativamente alto, e con tensione d'alimentazione relativamente bassa, è conveniente usare lo schema di fig. 27 per ottenere una potenza quadrupla di quella che si può avere con un solo TAA 611.

Dei due circuiti integrati, quello che riceve direttamente il segnale funziona come un amplificatore normale, che abbia il carico collegato a massa invece che all'alimentazione.

L'altro circuito integrato funziona invece come un amplificatore invertitore



TABELLA 2

Caratteristiche elettriche e prestazioni tipiche dell'amplificatore per giradischi a testina piezo-elettrica ( $A_v = 50$ )

— Tensione di alimentazione	9	11	15	V
— Guadagno di tensione ( $f = 1$ kHz)	50	50	50	
— Sensibilità $V_{in}$				
$P_o = 50$ mW $f = 1$ kHz	12,6	12,6	12,6	mV
$P_o = 1$ W $f = 1$ kHz	57	57	57	mV
$P_o = 2$ W $f = 1$ kHz			80	mV
— Risposta di frequenza ( $-3$ dB)	60 ÷ 17 k	60 ÷ 20 k	60 ÷ 25 k	Hz
— Corrente assorbita ( $P_o = 0$ )	4	5,5		8 mA
— Massima potenza d'uscita $f = 1$ kHz				
dist. = 10 %	1,15	1,8	3,3	W
— Distorsione ( $f = 1$ kHz)				
$P_o = 50$ mW ÷ 500 mW	< 0,5			%
$P_o = 50$ mW ÷ 1 W		< 0,5		%
$P_o = 50$ mW ÷ 2 W			< 0,5	%
— Corrente assorbita ( $f = 1$ kHz)				
$P_o = 1$ W	170			mA
$P_o = 1,5$ W		210		mA
$P_o = 3$ W			290	mA
— Rendimento ( $f = 1$ kHz)				
$P_o = 1$ W	65			%
$P_o = 1,5$ W		65		%
$P_o = 3$ W			70	%
— Tensione di rumore riferito all'ingresso				
( $R_s = 51 \Omega$ , banda 15 kHz)		5		$\mu$ V
— Tensione continua all'uscita ( $R_s = 0 \div 220$ k $\Omega$ )	4,8	5,8	7,8	V
— Reiezione della tensione di alimentazione				
(riferita all'ingresso)		40		dB

TABELLA 3

Caratteristiche tipiche del circuito a ponte di fig. 27

— Tensione di alimentazione	9	12	V
— Potenza di uscita al clipping ( $f = 1$ kHz)	1,7	2,7	W
— Distorsione al clipping ( $f = 1$ kHz)	0,8	1	%
— Rendimento al clipping	65	60	%
— Potenza d'uscita massima ( $f = 1$ kHz, dist. = 10 %)	2,1	3,2	W
— Rendimento alla massima potenza d'uscita			
( $f = 1$ kHz, dist. = 10 %)	62	75	%
— Guadagno di tensione		100	
— Banda ( $-3$ dB) al clipping		50 ÷ 20 k	Hz
— Tensione di rumore equivalente all'ingresso ( $R_s = 50$ k $\Omega$ )		14	$\mu$ V
— Impedenza d'ingresso		> 1	M $\Omega$
— Corrente assorbita a riposo	10	15	mA

a guadagno unitario. Il terminale 5, che è quello cui si collega normalmente la rete che stabilisce il guadagno, cioè la controeazione, è, per il TAA 611, l'ingresso invertitore.

Il segnale arriva al terminale 5 attraverso la resistenza da 820  $\Omega$ , di valore circa uguale a quello delle resistenze presenti tra il terminale 5 e l'uscita (terminale 12).

Tra il 5 ed il 12 vi è infatti, oltre alla resistenza esterna da 910  $\Omega$ , alla resistenza interna integrata, da 7,8 k $\Omega$  ( $R_4$  di fig. 1), che normalmente serve per la controeazione.

La capacità (470 pF) posta tra 4 e 12 dell'amplificatore a guadagno unitario è una compensazione, in quanto la banda passante è determinata dal primo TAA 611.

La tensione all'uscita del secondo TAA 611 è, in ogni istante, uguale e contraria a quella che si ha all'uscita del pri-

mo TAA 611. Tensione e corrente sul carico si raddoppiano, ed ognuno dei due circuiti integrati fornisce al carico metà della potenza utile.

Nel calcolare le massime potenze ammissibili in relazione alla dissipazione termica, e le massime correnti presenti all'uscita, si può osservare che ognuno dei due circuiti vede all'uscita un carico che ha l'impedenza metà di quella del carico reale.

Per non avere corrente continua nel carico, che è collegato direttamente alle uscite dei due integrati, occorre che le due tensioni continue di uscita siano uguali. Perciò ne è previsto l'aggiustamento, che si realizza per mezzo del potenziometro  $P$  da 50 k $\Omega$ . Ciò permette di eliminare dal circuito il grosso condensatore che, negli altri schemi, si trova in serie al carico, con beneficio per le dimensioni del circuito e per l'affidabilità.

La tabella n. 3 indica alcune prestazioni del circuito di fig. 27, con due valori per la tensione d'alimentazione.

## 8. - OSCILLATORE SINUSOIDALE DI POTENZA

La fig. 28 riporta lo schema di un oscillatore sinusoidale che, con 12 V d'alimentazione, fornisce, ad un carico di 8  $\Omega$ , più di 1,2 W a 400 Hz.

La frequenza d'oscillazione è determinata dalla rete  $R_1, C_1, R_2, C_2$ , ed è quella per cui la tensione  $V_1$  fornita all'ingresso del TAA 611 ha la fase opportuna. Per le frequenze alle quali il guadagno di tensione del dispositivo è reale, la differenza di fase tra la tensione all'uscita e quella riportata all'ingresso dev'essere nulla. Se questa condizione si realizza con valori dei componenti tali che sia:

$$f = \frac{1}{2\pi R_1 C_1} = \frac{1}{2\pi R_2 C_2}$$

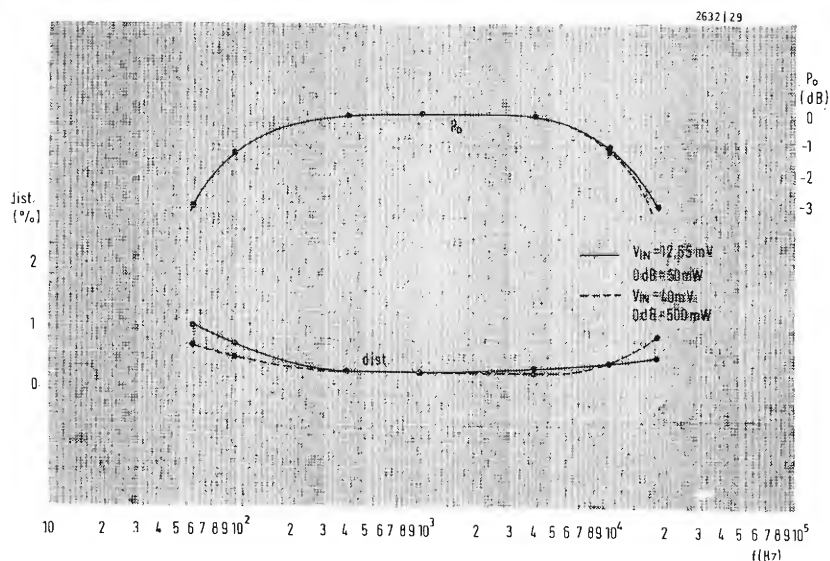


Fig. 18 Curve di risposta e distorsione dell'amplificatore di fig. 10 ( $A_v = 50$ ) con  $V_{cc} = 9$  V.

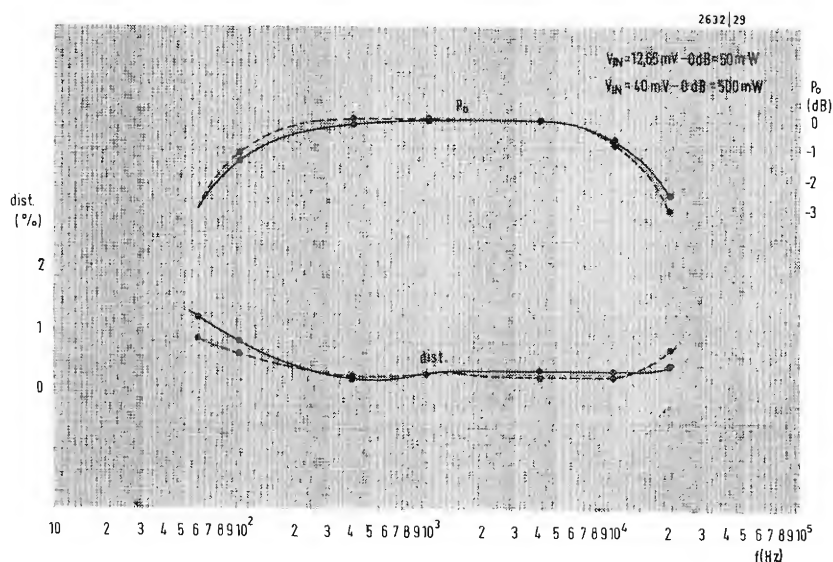


Fig. 19 - Curve di risposta e distorsione dell'amplificatore di fig. 10 ( $A_v = 50$ ) con  $V_{cc} = 11$  V.

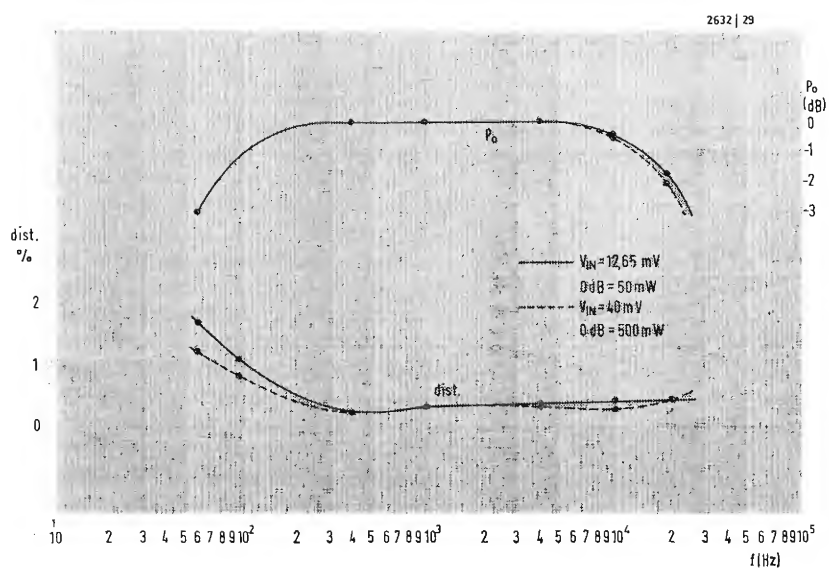


Fig. 20 - Curve di risposta e distorsione dell'amplificatore di fig. 10 ( $A_v = 50$ ) con  $V_{cc} = 15$  V.



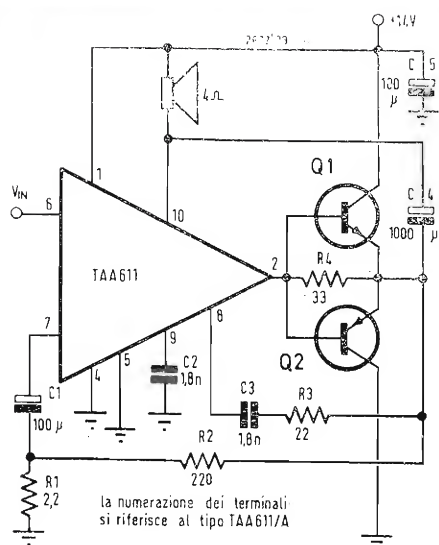


Fig. 21 - Amplificatore da 5 W per autoradio.

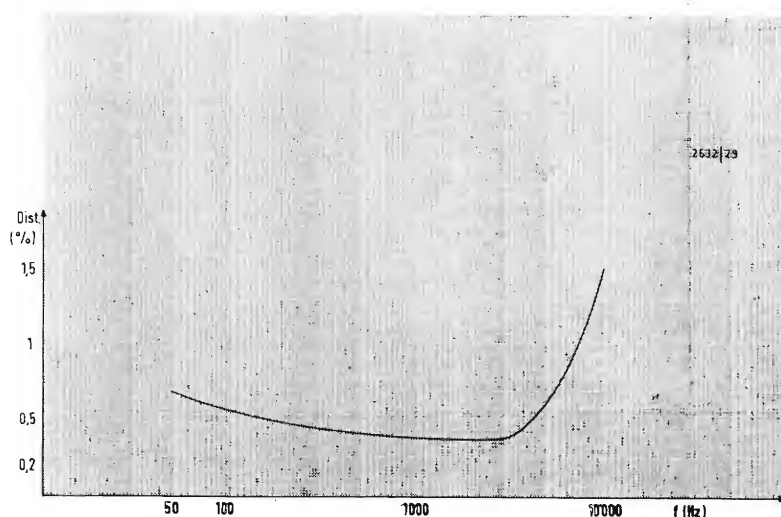


Fig. 22 - Distorsione in funzione della frequenza dell'amplificatore di fig. 21.

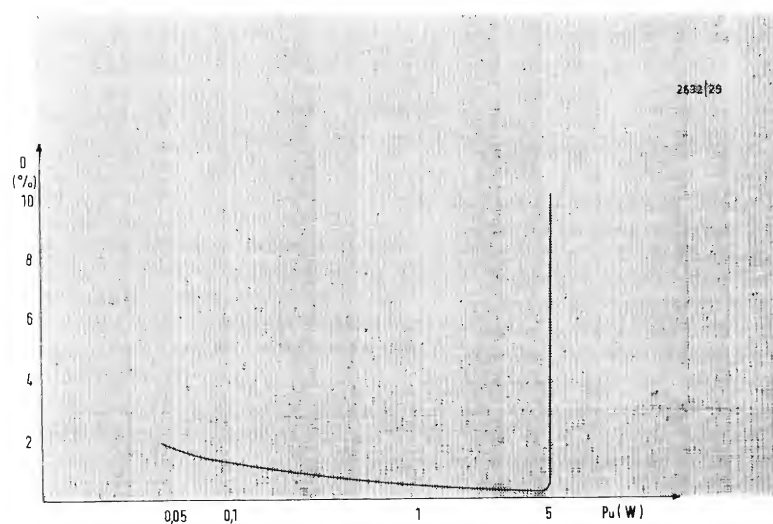


Fig. 23 - Distorsione in funzione della potenza di uscita dell'amplificatore di fig. 21.

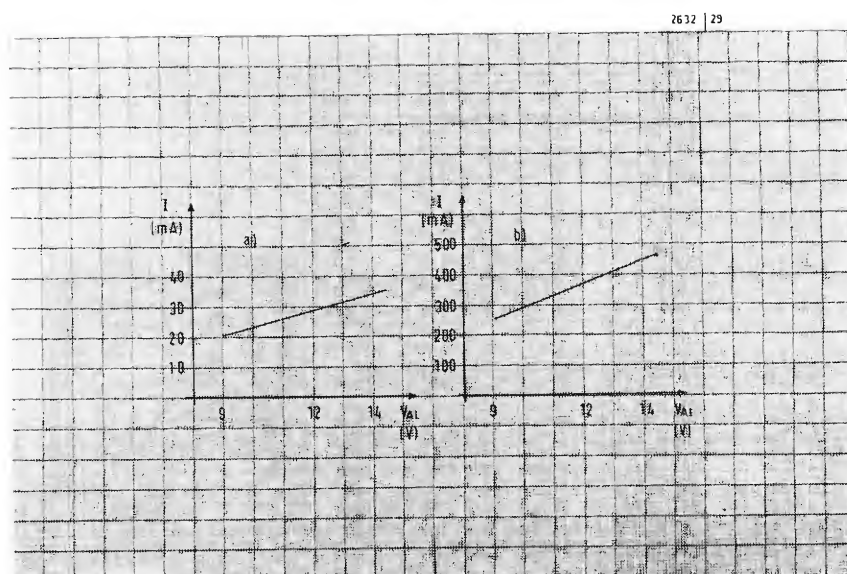


Fig. 24 - Assorbimento in funzione della tensione di alimentazione dell'amplificatore di fig. 21.

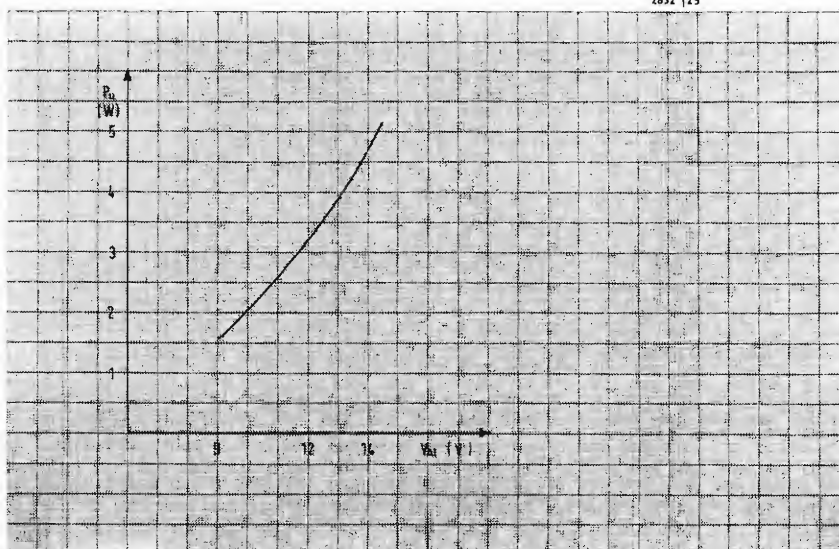


Fig. 25 - Potenza di uscita in funzione della tensione di alimentazione (al clipping) dell'amplificatore di fig. 21.

il rapporto tra la tensione all'uscita e quella riportata all'ingresso vale:

$$\frac{V_{12}}{V_7} = \frac{2 R_1}{R_2} + 1$$

perciò questo deve essere il guadagno dell'amplificatore.

La tensione d'uscita, per essere sinusoidale, non deve essere limitata dalla non linearità del dispositivo.

Perciò viene introdotta una regolazione automatica di guadagno, mediante il rivelatore  $D_1$ ,  $C$ ,  $P$  ed il transistor ad effetto di campo  $Q_1$ , che funziona come una resistenza, variabile con la tensione del gate. Al crescere di  $V_{out}$  aumenta la tensione applicata all'ingresso di  $Q_1$ , aumenta la sua resistenza dinamica, e quindi si riduce il guadagno dell'amplificatore. La tensione di uscita ( $V_{12}$ ) raggiunge il valore per cui il guadagno dell'amplificatore è uguale all'attenuazione del partitore  $R_1$ ,  $C_1$ ,  $R_2$ ,  $C_2$  e dipende dalla posizione del cursore sul potenziometro  $P$ .

Perciò la tensione d'uscita è regolabile

tra un minimo che dipende da  $Q_1$  ed un massimo, che va posto in relazione con la dinamica del circuito amplificatore.

Quando l'ingresso di  $Q_2$  è a massa ( $V_{GS} = 0$ ) deve essere

$$A_v > \frac{2 R_1}{R_2} + 1$$

mentre la tensione minima che si desidera poter avere sul carico ( $V_{out}$  minimo) deve essere in grado di portare la resistenza dinamica di  $Q_1$  ad un valore tanto grande da rendere

$$A_v < (2 R_1/R_2) + 1$$

Scegliendo per  $R_2$  ed  $R_1$  i valori indicati nella fig. 28 si ha  $R_1/R_2 \approx 27$ , per cui deve essere

$$A_v = 2 R_1/R_2 + 1 \approx 55$$

che corrisponde ad un valore di  $R_A$ , cioè della resistenza dinamica di  $Q_1$

$$R_A = r_d = 100 \div 150 \Omega.$$

Quindi dovrà essere

$$r_d < 100 \Omega \text{ per } V_{GS} = 0$$

$$r_d > 150 \Omega \text{ per } V_{GS} = V_{out \text{ picco}} - V_{d1}$$

Con il circuito di fig. 28 si ottiene la frequenza di oscillazione di 400 Hz, e la potenza di 1,2 W con lo 0,85 % di distorsione su un carico di 8  $\Omega$ .

Se la tensione di alimentazione varia entro il  $\pm 10\%$ , la frequenza rimane stabile entro 1 Hz, mentre non subisce variazioni  $> 2$  Hz al variare del carico tra 8  $\Omega$  e 100  $\Omega$ .

## 9. - CIRCUITO DI COMANDO DI UN MOTORE PASSO-PASSO

Lo schema di fig. 29 indica come si possa usare semplicemente un TAA 611 per pilotare un motore passo-passo.

Il motore, nell'esempio indicato, è un 9AB.2F2 SIGMA ( $R = 20 \Omega$ ) con inserzione parallelo, che funziona da 2 a 50 passi al secondo.

Con tensione d'alimentazione di 12 V si ha a disposizione una tensione di picco di 5 V all'uscita. Con la controreazione indicata il guadagno di tensione è di 250. Con un segnale d'ingresso ad onda quadra e 0,1 V picco-picco si ottiene

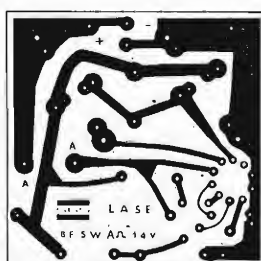
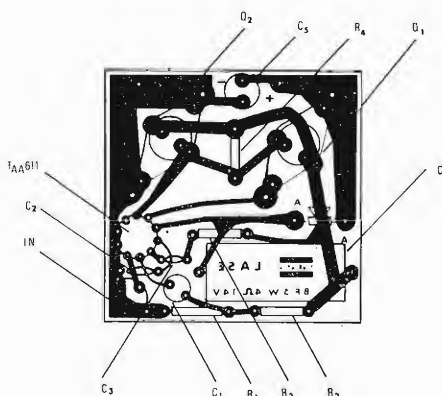


Fig. 26 - Circuito stampato e disposizione componenti per l'amplificatore di fig. 21.



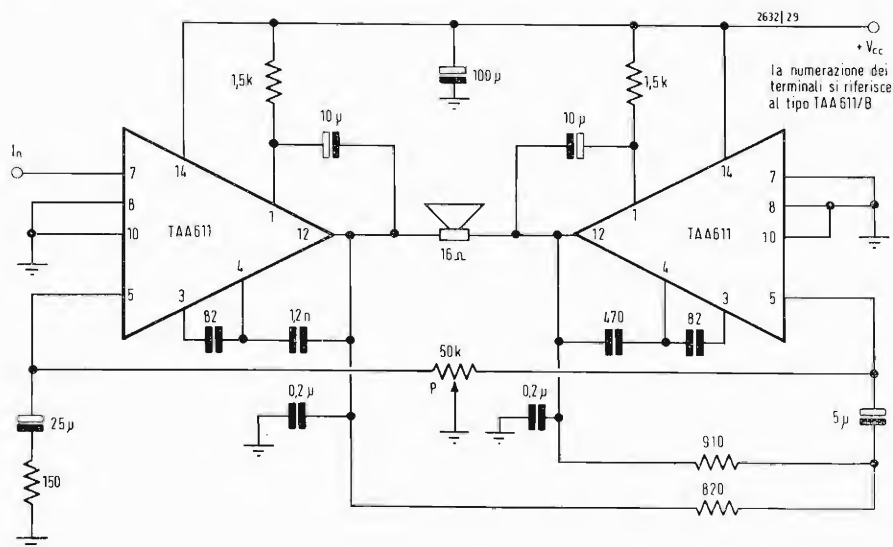


Fig. 27 - Amplificatore a ponte.

all'uscita la massima tensione compatibile con l'alimentazione.

I condensatori  $C_1$  e  $C_2$  da cui dipende la frequenza di taglio inferiore dell'amplificatore vanno dimensionati in modo che non riducano il guadagno alla frequenza di lavoro utilizzata.

Nel dimensionamento del circuito occorre tenere presente l'effetto delle sovratensioni e la massima corrente erogabile del TAA 611.

## 10. - CONCLUSIONI

Dalle applicazioni descritte risalta la grande versatilità del TAA 611, che permette di realizzare circuiti dalle pre-

stazioni notevoli con un numero di componenti molto inferiore ed una semplicità costruttiva più grande di quella dei circuiti convenzionali.

L'autopolarizzazione, che determina la centratura della tensione continua in uscita ed una grande stabilità nella corrente assorbita a riposo, rende il dispositivo particolarmente utile nelle apparecchiature montate su mezzi mobili, e ne consiglia l'uso in tutti i casi, che presentano notevoli variazioni nella tensione di alimentazione e nella temperatura ambiente.

Il guadagno molto alto permette di introdurre forti tassi di controreazione e

l'alta impedenza d'ingresso lascia ampia libertà per i valori dell'impedenza di generatore.

A questi pregi si aggiunge quello delle dimensioni molto ridotte dell'amplificatore, che soccorre nell'attuale tendenza verso apparecchiature sempre più compatte.

Tenendo presenti le principali caratteristiche del dispositivo se ne potrà considerare utilmente l'impiego in moltissime applicazioni già realizzate con componenti discreti, come in tutte le applicazioni di bassa frequenza, che il diffondersi dell'elettronica nell'uso civile ed industriale potranno consigliare. A

Fig. 28 - Oscillatore sinusoidale di potenza (400 Hz).

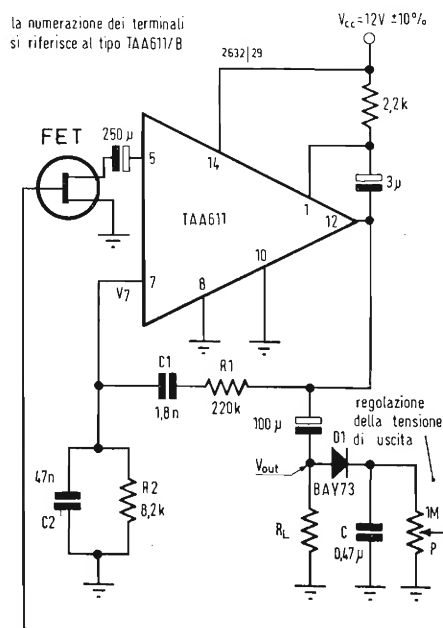
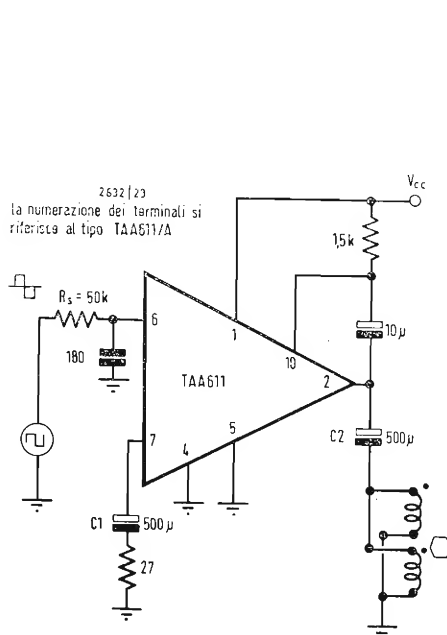


Fig. 29 - Circuito pilota per motore passo-passo.





### Terza generazione di calcolatori analizzatori d'immagini (LPS - Europe)

Una primaria fabbrica inglese ha presentato un calcolatore analizzatore d'immagini della 3ª generazione, con migliorata discriminazione di contrasto, maggior precisione, aumentata versatilità e con la possibilità di classificare caratteristiche con nuovi criteri.

Noto come « Quantimet 720 » il sistema, di costruzione modulare, misura il numero, l'area, la lunghezza e la forma delle caratteristiche rilevabili di qualsiasi geometria. Esso classifica le caratteristiche mediante misure e secondo i criteri più elaborati, ed entro 2 secondi, registra più di 16 diverse misure su un intero campo visivo.

Scostandosi radicalmente dai precedenti sistemi, le telecamere per i sistemi di analisi d'immagine sono stati sostituiti da analizzatori a vidicon e plumbicon a basso fruscio appositamente progettati, che forniscono un ottimo compromesso fra risoluzione, determinazione del livello del grigio e velocità. Uno speciale correttore delle ombre permette di rivelare molto più numerosi livelli dei grigi entro un intero campo di visione, di quanto fosse possibile per l'addietro.

Potenti nuovi circuiti logici assicurano una precisa valutazione e misure per tutte le caratteristiche geometriche, correggendo gli errori di conteggio e di misura commessi con i precedenti strumenti ed eliminando gli errori imputabili agli effetti, di campo ai bordi. Diversi possibili modi di conteggio permettono all'operatore di commutare sul modo più conveniente alle sue necessità.

#### *Facile impiego*

Ad onta della sua relativa complessità, il 720 è stato studiato per la massima semplicità di uso e per la più vasta possibile versatilità di funzioni. Accetta direttamente immagini prodotte da microscopi ottici ed elettronici, dispositivi autoanalizzatori e proiettori cinematografici e può essere programmato con operazioni manuali di commutazione o con semplice inserzione di basette predisposte per l'innesco di programmi.

I risultati possono essere stampati su una telescrivente o successivamente elaborati da un calcolatore a leggio superiore, direttamente connesso al mod. 720. Un'immagine è costituita da un quadro a 720 linee e contiene opportuni mezzi per mescolare segnali video per segnalare il funzionamento dell'apparato. Presenta le misure effettuate, numericamente, sopra l'immagine sullo schermo. Il Quantimet 720 è disponibile in tre versioni: manuale, semiautomatica e completamente automatica. La prima versione misura l'area e il numero delle intercette; la seconda può anche valutare ed eseguire distribuzioni dimensionali su tutti i quattro parametri; la versione completamente automatica è una combinazione delle caratteristiche delle prime due e lavora su micro e macro provini.

(Image Analysing Computers Ltd., Melbourn, Royston, Herts).

### Standard unico per le videocassette

AEG-TELEFUNKEN, Germania Occidentale, GRUNDIG WERKE GMBH, Germania Occidentale, INDUSTRIE ZANUSSI S.p.A., Italia, MATSUSHITA ELECTRIC CORPORATION, Giappone, NORTH AMERICAN PHILIPS CORPORATION, USA, N. V. PHILIPS' GLOEILAMPENFABRIEKEN, Olanda, SONY CORPORATION, Giappone, VICTOR COMPANY OF JAPAN LTD., Giappone hanno deciso di collaborare per definire uno standard comune per le videocassette.

Tutte queste società hanno sempre operato nel campo della videoregistrazione sia per la messa a punto sia per la fabbricazione degli apparati. Esse ritengono che la registrazione magnetica rappresenti il metodo più economico, pratico e realizzabile fra tutte le proposte dei cosiddetti sistemi di registrazione e riproduzione video. Esse inoltre ritengono che le videocassette avranno molte e variate applicazioni sia per lo spettacolo, sia per l'istruzione sia per l'addestramento.

La standardizzazione delle videocassette è stata lungamente attesa dal pubblico. L'accordo di collaborazione fra tutte queste società, stabilendo uno standard valido per tutto il mondo, svilupperà una nuova attività industriale.

A tempo debito le Società che hanno dato vita all'accordo, renderanno noto lo standard adottato. Esse si augurano inoltre che altri produttori adotteranno il medesimo standard.

### Inaugurato ponte radio Budapest - Vienna

Alla presenza del ministro ungherese del Traffico e delle Poste dr. Gyorgy Csanadi e di numerose personalità delle Poste ungheresi ed austriache, unitamente ai rappresentanti della ELEKTROIMPEX e della SOCIETÀ ITALIANA TELECOMUNICAZIONI SIEMENS, è stato oggi inaugurato il ponte radio Budapest-Vienna.

La fornitura del ponte radio a 1.800 canali telefonici, previsto anche per la distribuzione di programmi televisivi, è stata effettuata dalla ITALTEL consociata della SOCIETÀ ITALIANA TELECOMUNICAZIONI SIEMENS (Gruppo IRI-Stet).

## Trasformatori a colonna per la regolazione di elevate potenze

La « Ruhstrat » — rappresentata in Italia dalla « Barletta - Apparecchi Scientifici », di Milano — da oltre 40 anni ha in produzione trasformatori a colonna ad azionamento manuale o motorizzato. Durante la sua lunga esperienza, questa Casa ha affinato al massimo le tecniche costruttive, sfruttando ogni nuovo ritrovato per ottenere apparecchi sempre migliori. I trasformatori a colonna Ruhstrat sono ormai apprezzati ed utilizzati in ogni parte del mondo, nell'industria e nella ricerca per risolvere problemi di regolazione di ogni genere e potenza.

Applicazioni tipiche sono:

- Regolazione di azionamenti elettrici motorizzati.
  - Dosaggio dell'energia per il riscaldamento di forni, lo stampaggio di plastiche, le macchine ad iniezione per plastica, ecc.
  - Compensazione di variazioni di tensione della rete di alimentazione.
  - Regolazione, dal lato primario, di impianti ad alta tensione o ad alta corrente.
  - In collegamento con raddrizzatori: regolazione di impianti elettrolitici e galvanici, impianti elettrostatici per filtraggio aria, bagni di formatura, ecc.
  - Regolazione dell'illuminazione di scena in cinema, teatri ed altri centri culturali.
- Esistono numerosi modelli di serie, le cui prestazioni abbracciano i seguenti limiti:
- Alimentazione monofase o trifase (220, 380 oppure 500 V).
  - Campo di regolazione: 0... 100 % oppure 0...  $\pm 100$  %.

Modelli per potenze da 2,6 KVA max a 188 KVA max.

— Tipo d'avvolgimento: autotrasformatore a corrente costante o decrescente, oppure avvolgimenti separati a corrente costante.

— Azionamento manuale (a vite senza fine diretta o con riduttore conico) oppure motorizzato.

— Raffreddamento in aria o in bagno d'olio.

Per basse e medie potenze (a partire da 180 VA) la Ruhstrat costruisce inoltre trasformatori variabili toroidali.

## Sistemi per il lavaggio ultrasonico di oggetti di vari materiali

La WESTINGHOUSE ELECTRIC CORPORATION ha pubblicato un nuovo opuscolo di 4 pagine (DB 80-350), in cui vengono illustrati i sistemi per il lavaggio ultrasonico di oggetti vari di metallo, vetro, ceramica e plastica, realizzati dalla società con l'impiego dei suoi generatori a circuiti stampati Magnatrack con trasduttore Magnapack.

La guida elenca tutti i complessi di produzione standard, contraddistinti dalla capacità della vasca di lavaggio (da 14,76 a 588,46 litri), dalla potenza del generatore (200-6.000 W) e dalle loro dimensioni d'ingombro, e ne indica le possibili applicazioni in vari rami dell'industria manifatturiera, i dati caratteristici, gli apparecchi accessori disponibili e le modifiche che possono essere apportate ai vari sistemi su richiesta, dando inoltre le informazioni necessarie per poterli richiedere. Nell'opuscolo è illustrato anche un mini-Magnapack, con generatore da 200 W alimentato da corrente a 110 V, 60 Hz e ad una fase, dimensioni cm. 25,4  $\times$  22,86  $\times$  12,7 e con vasca della capacità di 5,68 litri.

Il generatore di energia elettrica ad alta frequenza Westinghouse è di concezione avanzatissima, con circuiti stampati Magnatrack che garantiscono la massima sicurezza di funzionamento, rettificatori a silicio (Thyristor), regolazione automatica, dimensioni e peso molto ridotti.

Il Magnapack è un trasformatore di energia di disegno esclusivo, che converte l'energia elettrica in onde sonore ad alta frequenza con un grado di rendimento superiore a quello di ogni altro apparecchio magnetostriativo esistente. È costituito da più pacchetti di lamelle distanziate fra di loro ed unite singolarmente al basamento, che funzionano all'unisono; esso non ha bisogno di speciale raffreddamento, è sintonizzato acusticamente con la vasca e ne copre l'intero fondo in modo che la potenza lavante risulta uguale in ogni punto della vasca.

Quale solvente può venire usato il Freon TF che ha un punto di ebollizione di soli 47,5°C in modo che non vengano danneggiate le parti non metalliche.

Questi sistemi di lavaggio risultano molto efficienti e fanno realizzare un notevole risparmio di tempo e di denaro, come è stato ormai dimostrato da varie applicazioni nei più svariati campi di produzione industriale, per esempio per la pulitura di parti meccaniche di precisione per aerei e di elementi di apparecchiature elettriche, elettroniche ed ottiche.

Un esempio è dato dal sistema di sgrassaggio ultrasonico con Freon (T-WD/TF), adottato da una società telefonica statunitense nel suo centro di riparazione e di revisione generale, per pulire ed asciugare in cinque minuti telefoni ed apparecchi di commutazione.

Il processo si svolge attraverso quattro stadi rappresentati da un prelavaggio ultrasonico con solvente Freon T-WD 602 della durata di 2 minuti, uno sgrassaggio di un minuto con solvente TF a temperatura di ebollizione ed azione ultrasonica, una pulitura di precisione con ultrasuoni per rimuovere le ultime tracce di emulsione e di sostanze contaminanti, ancora della durata di un minuto, ed infine da una ripulitura finale in atmosfera di vapori puri di Freon TF. I pezzi trattati si asciugano istantaneamente una volta tolti dal bagno di vapore. Il sistema comprende anche un distillatore per il recupero del solvente ed un refrigeratore per il rifornimento di acqua fredda.

a cura di A. Longhi

# Sistema attivo di convergenza per tubi tricromatici 110° a circuiti integrati\*

*Lo studio sottoriportato è dedicato ad un sistema attivo di convergenza per tubi tricromatici 110°, studio che permette di procedere ad una regolazione separata di ciascuna metà dello schermo, senza che la regolazione di una delle metà reagisca su quella dell'altra metà. Il sistema scelto permette di prevedere la costruzione secondo la tecnica «integrata» dei vari circuiti usati per la produzione delle correnti necessarie. Si può sfruttare una variante del sistema proposto per sostituire gli elementi passivi di convergenza orizzontale che si trovano nei televisori pluristandard.*

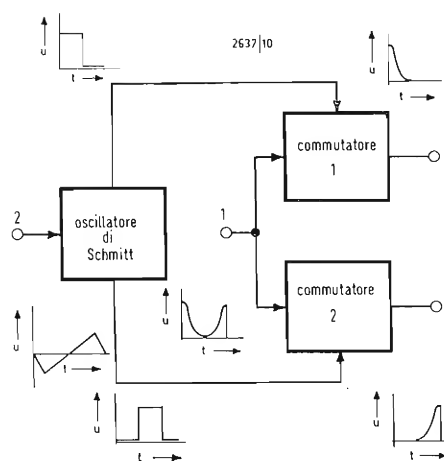


Fig. 1 - Principio della scomposizione della variazione parabolica della corrente per permettere la regolazione indipendente delle due metà dello schermo.

## 1. - INTRODUZIONE

Quando si tratta di un tubo di 110°, gli scarti di convergenza statica assumono tale entità da non poter essere più corretti con i sistemi passivi di convergenza usati per i tubi a 90°. Inoltre, le correnti di convergenza devono soddisfare condizioni di precisione nettamente più severe.

Per agevolare la regolazione della convergenza, si dovrebbe poter regolare separatamente, da una parte ciascuna delle due metà dello schermo in senso verticale e, dall'altra parte, ciascuna delle due metà nel senso orizzontale, posto, ben inteso, che tutte queste regolazioni siano indipendenti le une dalle altre.

Il sistema a circuiti attivi qui sotto proposto fornisce appunto correnti di regolazione separatamente per ciascuna delle due metà dello schermo, in uno o nell'altro senso. In altre parole, le correnti ad andamento parabolico necessarie per la convergenza agiscono separatamente, nel tempo, in ciascuno dei settori di correzione. Poiché il sistema in oggetto è completamente aperiodico, si adatta particolarmente bene ad una realizzazione eventuale con circuiti integrati. Inoltre, esso può sostituire, nei televisori multinorme, i circuiti passivi di convergenza orizzontale, nel qual caso vengono commutati solo i segnali applicati al sistema.

## 2. - PRINCIPIO DEL DISPOSITIVO

La possibilità di regolare separatamente le metà orizzontali e verticali dello schermo suppone che si disponga di segnali, che agiscono solo nei settori cor-

rispondenti. Diamo un rapido sguardo allo schema funzionale di fig. 1, valido per le convergenze orizzontale e verticale e vediamo come stanno le cose. Una tensione parabolica, prelevata dalla sezione deviatrice corrispondente, viene applicata al punto 1 dei commutatori elettronici 1 e 2. Se questi ultimi vengono comandati da segnali rettangolari a frequenza di riga o di trama, si ottengono alla loro uscita segnali opportunamente conformati e rappresentanti la metà sinistra o destra di una parabola. In questo modo, si raggiunge lo scopo prefisso, cioè l'esplorazione separata di ciascuna metà dello schermo. I segnali così ottenuti vengono sommati negli stadi di uscita, dopo la regolazione delle loro ampiezze, e applicati alle bobine di convergenza. I segnali rettangolari necessari per il comando dei due commutatori vengono ottenuti con un rilassatore di Schmitt, al quale si applica nel punto 2 una tensione a dente di sega alla frequenza di riga o di trama. Si potrebbe utilizzare per questa funzione anche un multivibratore monostabile comandato dagli impulsi di ritorno di riga o di trama. Il modo di funzionamento degli stadi di uscita è spiegato in fig. 2. Si vede qui, in a), uno schema di principio in cui due diodi permettono di applicare le metà destra e sinistra di una variazione parabolica alla base di un transistor che alimenta la bobina di convergenza. In b), due transistori collegati in parallelo e posti in serie con la bobina di convergenza ricevono ciascuno la metà sinistra o destra di un segnale parabolico.

Nelle due varianti, le bobine di convergenza vengono attraversate da una corrente, la cui variazione rappresenta una parabola intera, come si può vedere dai diagrammi riportati in fig. 2.

(\*) da: Television n. 201 pag. 54 ÷ 59, di G. Bertsch.



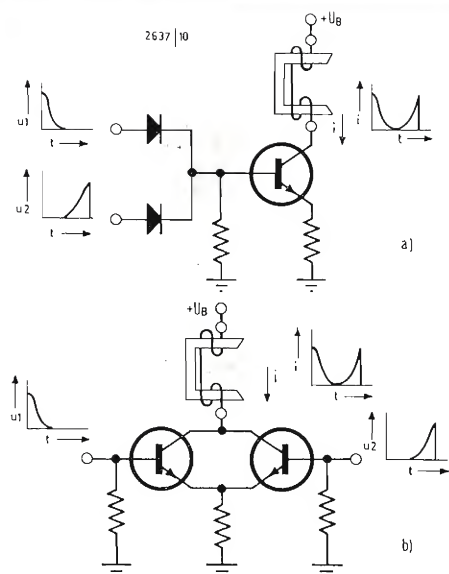


Fig. 2 - Schema di principio di uno stadio di uscita: a) con un solo transistor; b) con due transistori.

### 3. - COSTRUZIONE PRATICA

#### 3.1. - Sistema di convergenza verticale

L'entrata di questa sezione (fig. 3) riceve un segnale a dente di sega, prelevato dallo stadio di deviazione verticale. La cellula  $R_1, C_1$  elimina il guizzo negativo dell'impulso di ritorno e si ottiene, in tal modo, un segnale a dente di sega, che raggiunge l'oscillatore di Schmitt attraverso  $R_3$ .

Dopo l'integrazione di questo segnale ad opera della cellula  $R_2, C_2$ , si ricava una tensione ad andamento parabolico, alla frequenza di trama. Il diodo  $D_1$  fissa il vertice di questa tensione parabolica a un certo valore determinato dal divisore di tensione  $R_{12}, R_{13}$  e tale che all'istante corrispondente al centro dell'immagine, non circola alcuna corrente attraverso le bobine di convergenza. Il segnale, il cui livello di riferimento risulta così fissato, viene applicato ai commutatori  $T_4$  e  $T_5$  attraverso uno stadio trasformatore di emittore  $T_3$ . Ciascuno dei due transistori commutatori riceve sulla base un segnale rettangolare proveniente dai transistori  $T_1$  e  $T_2$ .

Poiché il transistor  $T_4$  cortocircuita il segnale, applicato alla base di  $T_6$  attraverso le resistenze  $R_{15}$  e  $R_{16}$ , solamente durante la metà destra della sua variazione parabolica, si ottiene all'uscita di  $T_6$  la metà sinistra di questa parabola. Analogamente, il transistor  $T_5$  è con-

duttivo durante la metà sinistra della parabola, in modo che all'uscita del trasformatore di emittore  $T_7$ , si trova un segnale corrispondente alla metà destra di questa variazione.

Per compensare la tensione base-emettitore dei transistori di uscita, le loro resistenze di emettitori, come pure gli emettitori dei transistori commutatori, non sono ritornati a massa, ma ad un certo potenziale positivo ottenuto per mezzo del diodo al silicio  $D_2$  connesso nel senso della conduzione. Con questo mezzo, si assicura al complesso un'eccellente stabilità termica.

I segnali così ottenuti vengono applicati a ciascuno dei transistori  $T_8$  e  $T_9$  degli stadi di uscita mediante i potenziometri  $R_{23}, R_{25}, R_{32}$  e  $R_{33}$  e i diodi  $D_3$  e  $D_4$ . Le bobine di convergenza verticale per il rosso e il verde sono poste in serie con ciascuno di questi transistori rispettivamente. Queste due bobine di convergenza fanno parte di un circuito a ponte, il che permette di procedere alla regolazione della convergenza statica delle linee rosse e verdi senza alcun magnete permanente, ma unicamente per l'azione dei potenziometri  $R_{28}$  e  $R_{38}$ . Più precisamente, si ottiene la sovrapposizione statica delle linee verticali con  $R_{38}$  e quella delle linee orizzontali con  $R_{28}$ .

I potenziometri  $R_{23}$  e  $R_{25}$  permettono di agire sull'ampiezza del segnale applicato agli stadi di uscita e, di là, sulla convergenza delle linee verticali rosse e

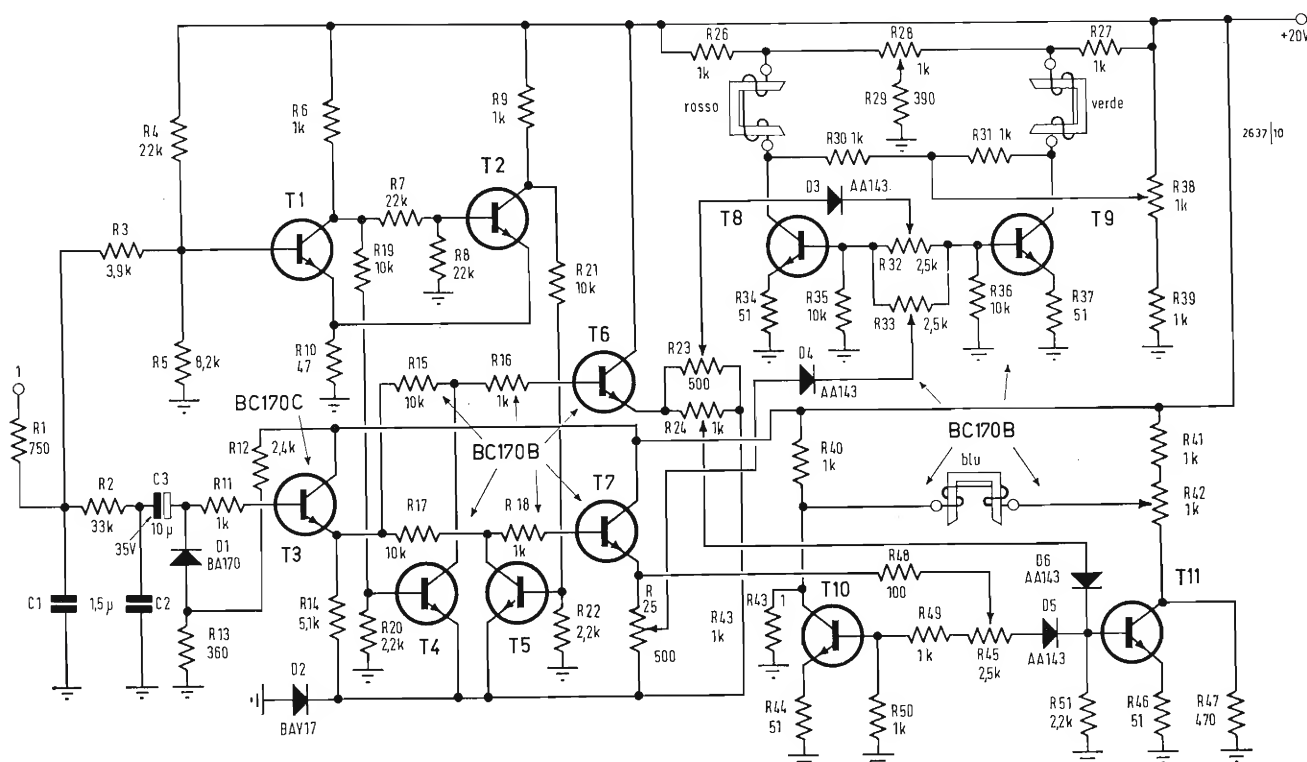


Fig. 3 - Assieme dei circuiti attivi per la convergenza verticale.

verdi nelle metà superiore e inferiore dello schermo. La coincidenza delle linee orizzontali corrispondenti in queste due metà dello schermo si ottiene variando il rapporto delle ampiezze per mezzo dei potenziometri  $R_{32}$  e  $R_{33}$ .

Lo stadio di uscita verticale per il blu, equipaggiato con i transistori  $T_{10}$  e  $T_{11}$ , presenta pure una struttura a ponte, al fine di poter effettuare la regolazione della convergenza statica mediante il potenziometro  $R_{42}$ . I segnali forniti dagli stadi trasferitori di emettitore  $T_6$  e  $T_7$ , vengono applicati allo stadio di uscita "blu" mediante i potenziometri  $R_{24}$  e  $R_{45}$ . Il primo permette la regolazione delle linee orizzontali blu nella metà inferiore dello schermo, mentre il secondo serve per la stessa operazione nella metà superiore.

I transistori sotto mantello di plastica sono perfettamente confacenti agli stadi di uscita di convergenza.

### 3.2. - Sistema di convergenza orizzontale

In questa sezione, il cui schema è rappresentato in fig. 4, si ricorre allo stesso principio: un rilassatore di Schmitt che, comandando due commutatori, permette di scomporre un segnale a frequenza di riga e di forma parabolica in due metà rappresentanti ciascuna il ramo sinistro o destro di questa parabola.

Il segnale applicato all'entrata (punto

1 dello schema) viene ricavato dal condensatore di correzione di S del circuito di deviazione orizzontale; si tratta di una tensione ad andamento parabolico decrescente. Questo segnale viene integrato dalla cellula  $R_{42}$ ,  $C_5$ ; si ottiene così una tensione a forma di S utilizzata per comandare l'oscillatore di Schmitt  $T_{12}$ - $T_{13}$ , che invia due segnali rettangolari e di fase opposta ai commutatori  $T_{15}$  e  $T_{16}$ . La tensione corrispondente al vertice del segnale parabolico viene determinata per mezzo del diodo  $D_7$  e del divisore di tensione  $R_{53}$  e  $R_{57}$ , ad un valore tale che al momento corrispondente al passaggio di questo vertice, non passa alcuna corrente attraverso le bobine di convergenza.

Però, appare uno sfasamento tra la corrente delle bobine di convergenza e il campo di convergenza risultante, per cui è necessario correggere la fase della corrente di convergenza. Questa correzione può essere effettuata sia con l'aggiunta di un condensatore come  $C_7$  in parallelo alla resistenza  $R_{55}$  del divisore (indicato con linea tratteggiata), sia con la sovrapposizione della tensione parabolica ad una tensione a dente di sega. Se si adotta la seconda soluzione è necessario applicare una tensione a dente di sega a frequenza di riga al punto 2 dello schema di fig. 4.

Il telaio stampato per il gruppo dei circuiti di convergenza (fig. 5 e 6) prevede le due varianti di correzione. Con-

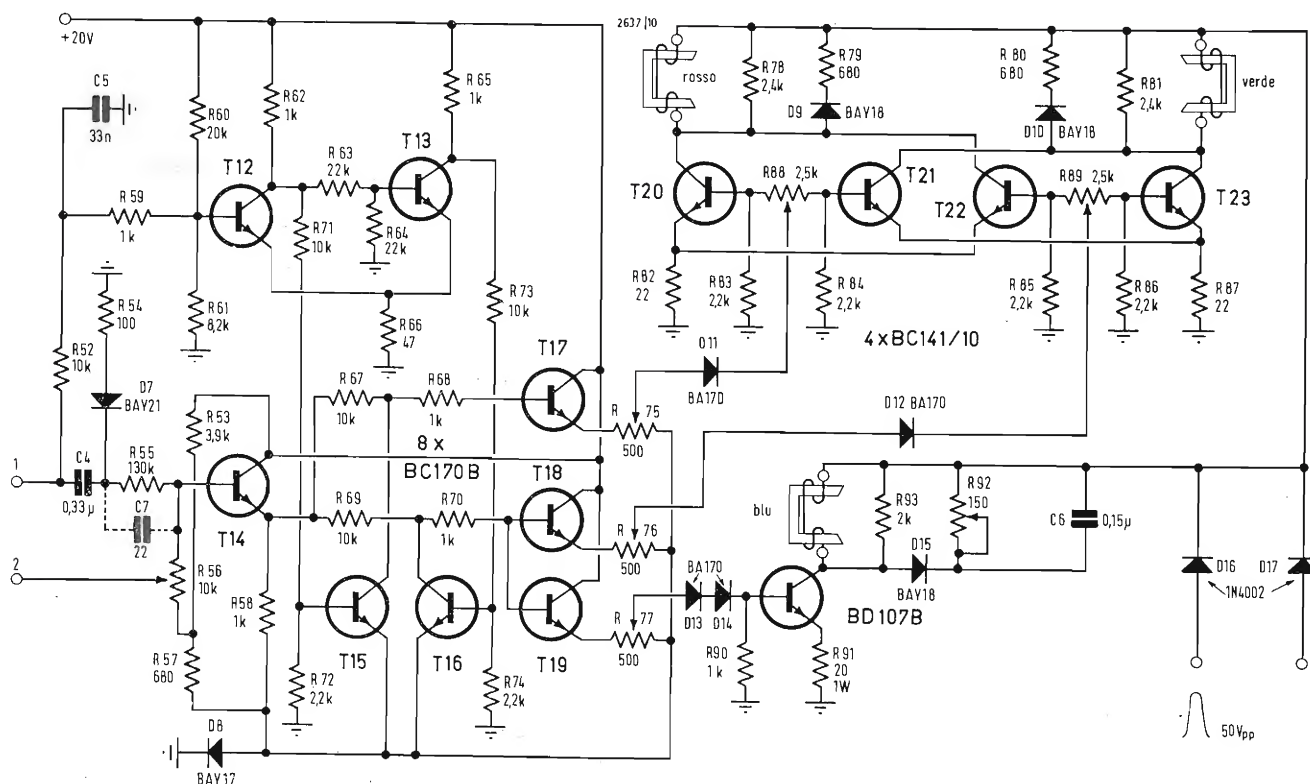


Fig. 4 - Assieme dei circuiti attivi per la convergenza orizzontale.

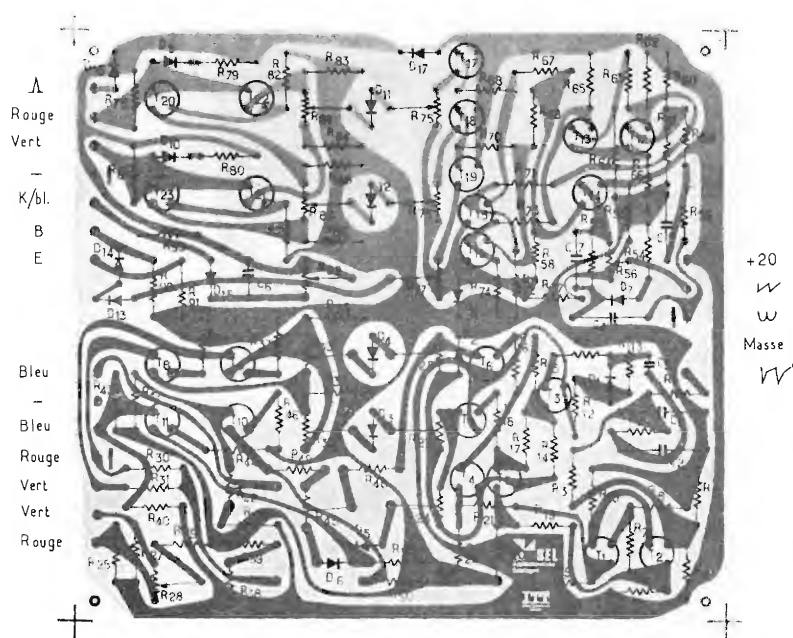


Fig. 5 - Aspecto della piastra dei circuiti attivi per la regolazione della convergenza.

siderazioni di costo hanno fatto adottare negli stadi di uscita di convergenza orizzontale per il rosso e il verde, transistori di serie detti "economici" collegati in parallelo. È inutile dire che ciascuna coppia può essere qui sostituita da un unico transistor più potente, di conveniente dissipazione.

I segnali presenti all'uscita degli stadi trasferitori di emettitori  $T_{17}$  e  $T_{18}$  vengono prelevati dai cursori dei potenziometri  $R_{75}$  e  $R_{76}$  e applicati, attraverso i diodi  $D_{11}$  e  $D_{12}$ , ai potenziometri  $R_{88}$  e  $R_{89}$ . Agendo sull'ampiezza dei segnali mediante i potenziometri  $R_{75}$  e  $R_{76}$ , si possono spostare le linee verticali rosse e

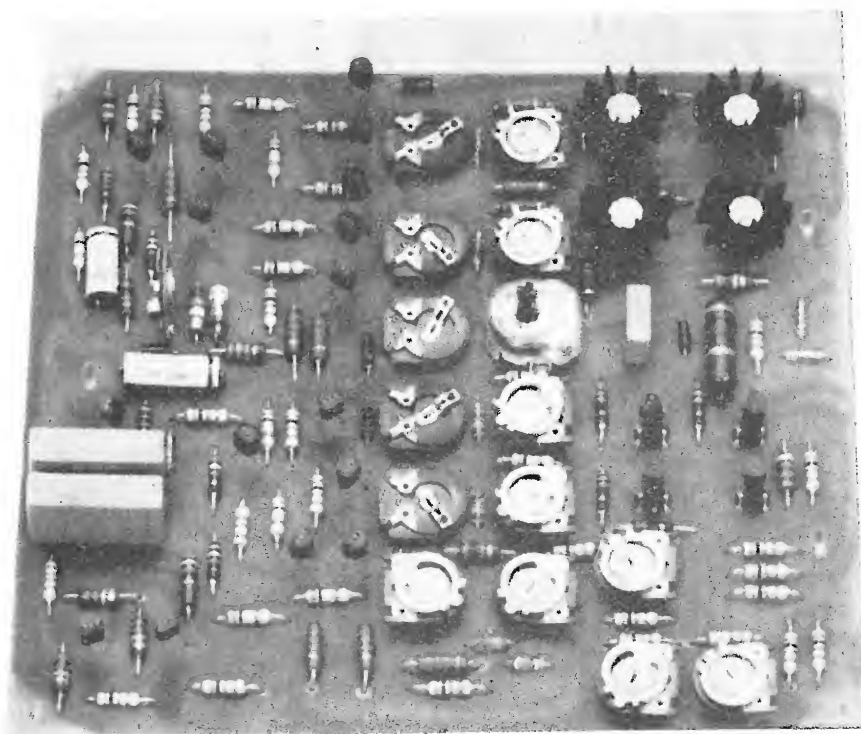


Fig. 6 - Particolare della piastra a circuiti stampati di fig. 5.



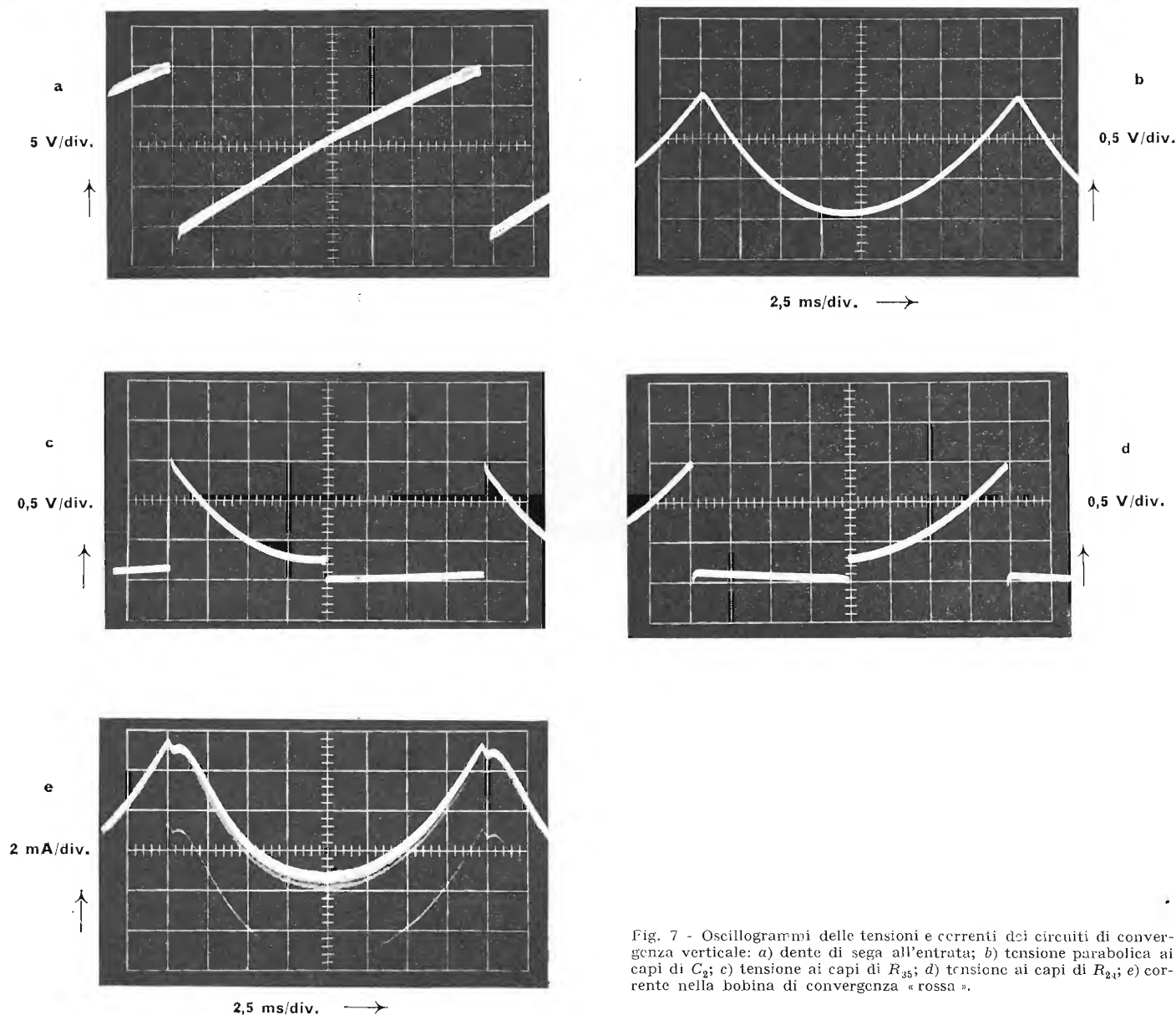


Fig. 7 - Oscillogrammi delle tensioni e correnti dei circuiti di convergenza verticale: a) dente di sega all'entrata; b) tensione parabolica ai capi di  $C_2$ ; c) tensione ai capi di  $R_{35}$ ; d) tensione ai capi di  $R_{24}$ ; e) corrente nella bobina di convergenza « rossa ».

verdi nelle metà destra e sinistra dello schermo. Agendo sul rapporto delle ampiezze mediante  $R_{88}$  e  $R_{89}$ , si regola la convergenza delle linee orizzontali rosse e verdi in queste due metà.

La presenza di un'induttanza nei circuiti di collettore degli stadi di uscita  $T_{20}$ ,  $T_{21}$ ,  $T_{22}$  e  $T_{23}$ , provoca, all'inizio di ogni linea, una sovratensione che può raggiungere il doppio della tensione di alimentazione e che comporta, per questi transistori, una forte corrente ed una grave sovratensione. Per limitare quest'ultima, è previsto un diodo in serie con una resistenza in parallelo a ciascuna bobina di convergenza. L'energia accumulata in queste bobine durante la metà destra di una riga, si dissipa in parte nella resistenza e si ottiene una corrente di forma parabolica durante la metà sinistra di questa riga. A que-

sto modo, la corrente in  $T_{20}$  e  $T_{21}$  diviene più piccola e la dissipazione di questi transistori diminuisce in conseguenza. Poiché la corrente, che attraversa la resistenza  $R_{79}$  (o  $R_{80}$ ) dipende dalle regolazioni, che agiscono nella metà destra dello schermo, non si può eliminare totalmente l'influenza della metà destra. Si raccomanda perciò di regolare prima la coincidenza delle linee della metà di destra dell'immagine e di correggere poi la parte sinistra.

Si noti anche che le bobine di convergenza sono smorzate dalle resistenze  $R_{78}$  e  $R_{81}$  per eliminare qualsiasi tendenza all'oscillazione.

A causa della simmetria dello scarto di convergenza del blu e di una corrente di convergenza relativamente forte, è preferibile costituire lo stadio di uscita del blu con un solo transistor, che

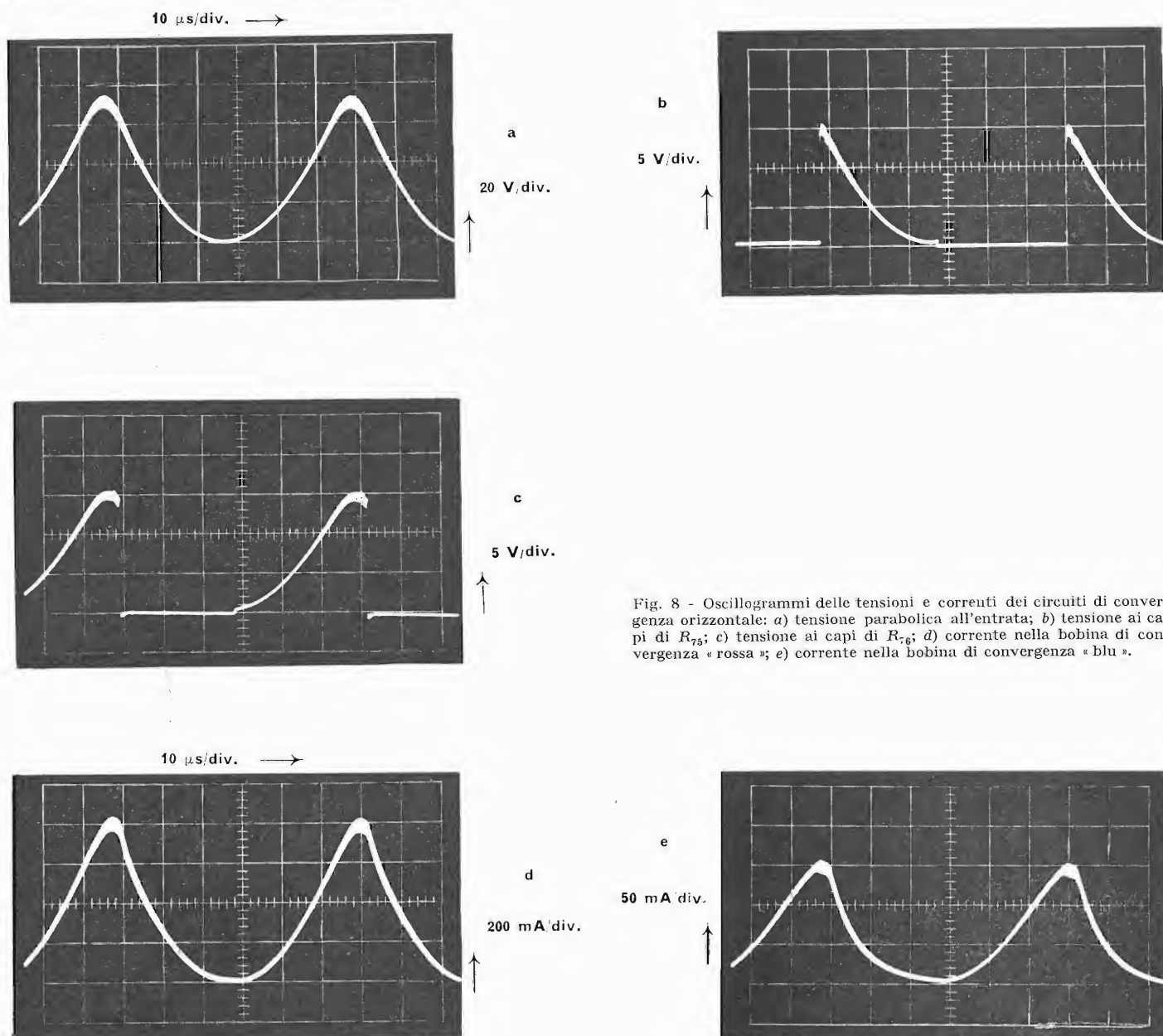


Fig. 8 - Oscillogrammi delle tensioni e correnti dei circuiti di convergenza orizzontale: a) tensione parabolica all'entrata; b) tensione ai capi di  $R_{75}$ ; c) tensione ai capi di  $R_{76}$ ; d) corrente nella bobina di convergenza « rossa »; e) corrente nella bobina di convergenza « blu ».

si trova in serie con la bobina di convergenza e che è comandato solo durante la metà destra di una riga. La resistenza  $R_{92}$  con il condensatore  $C_6$  in parallelo è collegata in derivazione alla bobina di convergenza attraverso il diodo  $D_{15}$ . L'energia accumulata nella bobina durante la metà destra di una riga si traduce in una corrente di forma parabolica attraverso questa bobina durante la metà sinistra della stessa riga. È perciò necessario ottenere dapprima la coincidenza delle linee blu orizzontali della metà destra dello schermo e correggere poi la metà sinistra per mezzo del potenziometro  $R_{92}$ .

Per ottenere un aumento più rapido delle correnti paraboliche, si sovrappongono alla tensione di alimentazio-

ne, attraverso il diodo  $D_{16}$ , gli impulsi di ritorno orizzontali dell'ordine 50 V punta-punta.

Data la dissipazione degli stadi di uscita 4 (circa 1,5 W per ogni transistor dello stadio rosso-verde e dell'ordine di 4 W per lo stadio blu), conviene prevedere mezzi adeguati per una migliore dissipazione del calore: piccoli radiatori ad alette per i primi e una piastra di 80 cmq circa per  $T_{24}$ .

### 3.3. - Risultati

L'insieme dei circuiti attivi di convergenza è montato su una piastrina a circuiti stampati rappresentata dalla foto di fig. 5, di cui i particolari sono dati nel disegno di fig. 6.

La forma dei segnali in vari punti di questa basetta, per ciò che riguarda i circuiti di convergenza verticale, è rappresentata dagli oscillogrammi di fig. 7. L'oscillogramma 7a mostra la tensione a dente di sega prelevata sulla bobina di deviazione verticale, dalla quale si ricava, per integrazione, la tensione parabolica della fig. 7b. Sugli oscillogrammi 7c e 7d si vede la forma dei segnali prelevati all'uscita degli stadi trasferitori di emettitore e applicati agli stadi di uscita. Infine, la fig. 7e indica la forma della corrente attraverso la bobina di convergenza rosso-verde.

Gli oscillogrammi relativi ai circuiti di convergenza orizzontale sono rappresentati in fig. 8: a) tensione parabolica prelevata dal circuito di deviazione; b)

e c) segnali prelevati all'uscita degli stadi trasferitori di emettitore e applicati agli stadi di uscita; d) forma della corrente attraverso la bobina di convergenza del rosso; e) come in d) per la bobina del blu.

L'assieme di convergenza impiegato con il sistema descritto presenta le seguenti caratteristiche:

bobine per il rosso e il verde, orizzontale 1,5 mH; verticale 1,15 H

bobine per il blu, orizzontale 0,36 mH; verticale 1,15 H.

La velocità di incremento delle correnti paraboliche orizzontali, che è possibile raggiungere dipende dall'induttanza delle bobine corrispondenti e dalla tensione di alimentazione, da cui dipende, a sua volta, la dissipazione dei transistori di uscita. Per tutte queste ragioni, la tensione di alimentazione 20 V rappresenta un compromesso accettabile per l'assieme. Considerazioni di costo hanno condotto all'abbandono del sistema "attivo" per la cosiddetta convergenza del blu laterale, che può essere ottenuta senza alcuna difficoltà con la tecnica dei tubi a 90°.

mo, senza che tali regolazioni si influenzino a vicenda. Tuttavia l'influenza della regolazione dinamica orizzontale sulla regolazione statica non può essere totalmente eliminata. Perciò è necessario procedere inizialmente ad una regolazione approssimativa della metà destra dello schermo, regolare poi la convergenza statica e intraprendere solamente dopo le regolazioni definitive.

Poiché tutto l'assieme è composto essenzialmente da diodi, di resistenze e di transistori di piccola potenza, esso può essere costruito molto facilmente con circuiti integrati. Solo i condensatori di accoppiamento o che intervengono nella formazione d'impulsi, nonché gli stadi di uscita a dissipazione relativamente forte, sono da prevedere come elementi separati. Un vantaggio notevole risiede ancora nel fatto che gli stadi di entrata dei sistemi di convergenza orizzontale e verticale presentano una struttura praticamente identica e possono essere riuniti all'interno di uno stesso contenitore, poiché comportano solo 14 uscite in totale.

### 3.4. - Regolazione della convergenza

Dopo quanto si è detto nel paragrafo 3.1, si possono regolare separatamente le metà superiore e inferiore dello schermo.

### 4. - CONVERGENZA ORIZZONTALE PER TELEVISORI PLURISTANDARD CON TUBO A 90°

Quando si tratta di televisori previsti per funzionare con due frequenze di de-

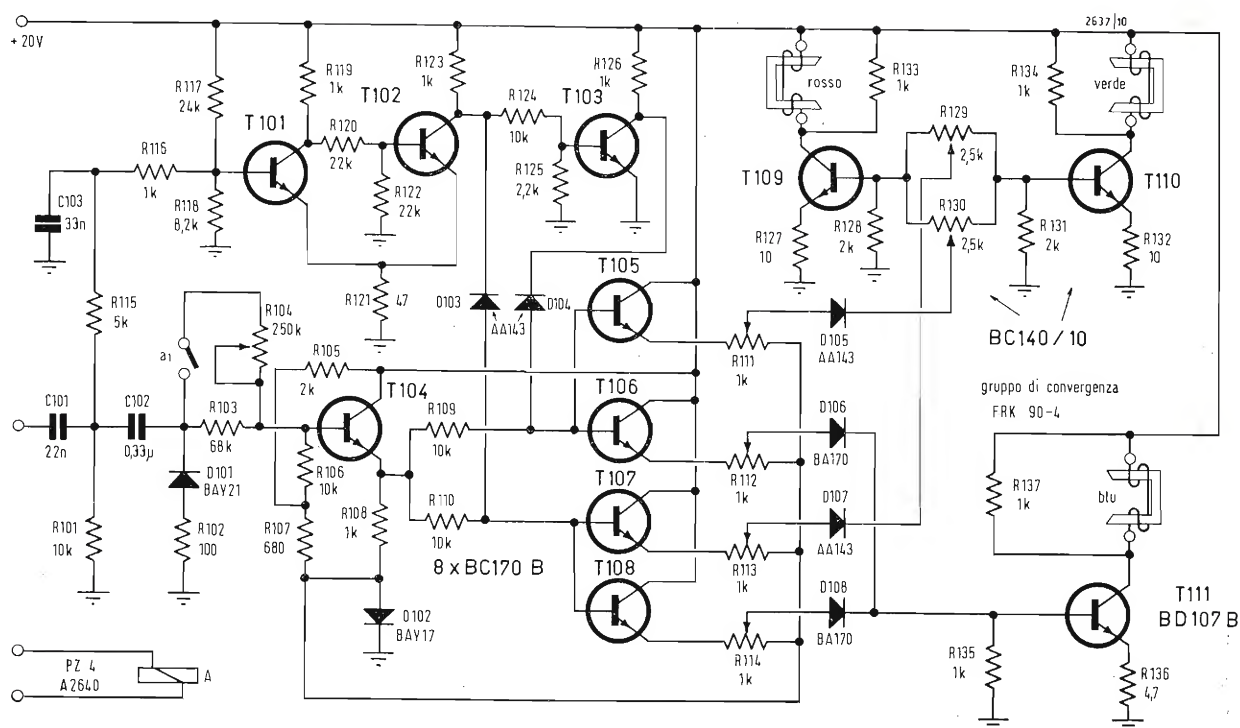


Fig. 9 - Assieme dei circuiti la per regolazione di convergenza di un televisore multistandard con cinescopio a 90°.



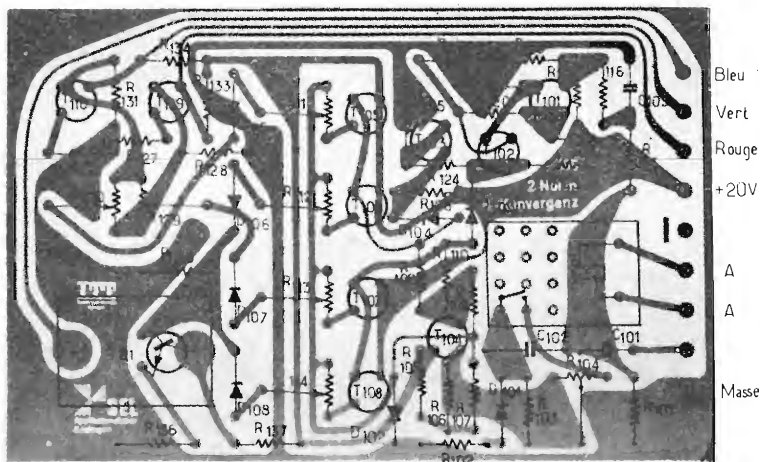


Fig. 10 - Basetta a circuiti stampati per l'assieme di fig. 9.

viazione orizzontale (per es. 625 e 819 righe), conviene la versione presentata in fig. 9 per i circuiti di convergenza orizzontale. Poiché questo schema è chiamato a sostituire un doppio sistema generalmente usato in apparecchi di questo genere, tale soluzione rappresenta un'indubbia economia. Il disegno di fig. 10 dà tutte le indicazioni circa la disposizione dei circuiti di convergenza orizzontale su basetta a circuiti stampati per televisori con tubo a 90°. In questa versione, la struttura dei commutatori impiegati per il taglio della parabola è stato di poco variata e il loro modo di funzionare resta lo stesso, per cui è inutile ritornare sul loro principio.

Come segnale di entrata di questo assieme, si sfrutta la tensione parabolica prelevata dal condensatore di correzione di S del circuito di deviazione orizzontale. Nel passaggio da una definizione all'altra, varia solo l'ampiezza di questa tensione, ma non la sua forma. Ne risulta il vantaggio di poter regolare la convergenza mediante i procedimenti descritti sopra, su una o l'altra frequenza di deviazione orizzontale e di non dover ritoccare, al passaggio sull'altra definizione, che il potenziometro  $R_{104}$ , per regolare l'ampiezza del segnale d'entrata. Si elimina così la necessità di una doppia regolazione della convergenza. A

### Videocassette: minaccia o promessa per l'industria cinematografica? (segue da pag. 245)

*stri negli U.S.A. si aggirano sui seguenti valori: apparato EVR industriale-didattico L. 795 (sterline), con nastri bianco-nero di durata mezz'ora di L. 5 e rendita per un film generico di L. 2; apparato Selectionvision RCA circa L. 170, con nastro a colori di durata mezz'ora da L. 4, da vendersi al minuto come gli attuali dischi fonografici; riproduttore video Sony circa L. 145, video cassetta L. 8; apparato VCR Philips circa L. 250, video cassetta per mezz'ora di riproduzione L. 7. La Philips si ripromette di vendere un mezzo milione dei suoi apparati entro i prossimi cinque anni; tali apparecchi registrano e riproducono in bianco-nero o a colori in unione con un televisore; impiegano nastro magnetico di larghezza 12,7 mm contenuto in una cassetta tascabile; il registratore ha un sintonizzatore incorporato, che permette all'utente di osservare un programma mentre sta registrandone un altro; due piste sonore servono per la registrazione stereo o per un commentario bilingue. Lavoro per tutti dunque con le video cassette, che lungi dal recare danno, risulteranno benefiche specialmente all'industria cinematografica, alla quale consigliamo di deporre il fiero cipiglio e di cessare dal fare gli occhiacchi all'ultimo nato nella famiglia del pubblico divertimento.* A

# La ITT Standard e la industrializzazione del mezzogiorno

Quando due organismi della forza della ITT Components Group Europe (International Telephone and Telegraph Corporation) e della Face Standard collaborano in comunità di spiriti alla concezione di un progetto industriale, è certo che qualcosa di grandioso sta per nascere. Questi due colossi della produzione elettronica europea si sono accordati per un fattivo rilancio del sud d'Italia, per la sua valorizzazione e per tradurre in atto l'energia potenziale della regione e dei suoi abitanti troppo spesso deprezzati senza aver nulla fatto per sperimentarne le capacità e la laboriosità. Certamente i singoli individui nulla possono se restano isolati; hanno bisogno di un «Deus ex machina», che predisponga le cose per l'ottenimento dei risultati presumibili e contenuti allo stato latente nelle loro facoltà operative. Si parla, per il meridione della nostra penisola, di «Nuova California», località avente affinità orografiche e climatiche con essa.

Se tante fiorenti industrie elettroniche esistono a «Palo Alto», perché non potrebbero essere imitate a Maddaloni o a Battipaglia? E perché non chiamare addirittura «Palo Alto italiano» questa regione? Anche in ciò non ci sarebbe nulla di originale, pensando che le due Americhe fanno largo uso di nomi geografici europei e in particolare italiani; basti un esempio: New York = Napoli (Neapolis = città nuova). La scelta del sud Italia non è stata dettata solo da considerazioni sentimentali e di beneficenza per il popolo, ma anche squisitamente economiche e dall'ambizione di

iscrivere i nomi ITT e FACE STANDARD nell'elenco dei pionieri colonizzatori, in modo da acquisire priorità e titoli di benemerita.

Il raddoppiamento entro quest'anno dello Stabilimento FACE Standard di Maddaloni e l'imminente apertura di una nuova fabbrica di apparecchiature per telecomunicazioni a Battipaglia, sono stati illustrati nel corso di una conferenza stampa che l'ITT Components Group Europe ha tenuto presso la Camera di Commercio di Caserta (maggio 1970).

L'incontro ha avuto luogo a seguito del recente avviamento presso lo stabilimento di Maddaloni della produzione di condensatori al tantalio, primi del genere che, pur presentando le caratteristiche richieste per l'impiego in apparecchiature elettroniche «professionali», vengono realizzati in Italia per l'applicazione in apparecchiature destinate al pubblico dei consumatori: apparecchi radio e TV, giradischi, registratori, dispositivi elettromedicali, ecc.

Il Presidente della Camera di Commercio di Caserta avv. A. Vitale ha aperto la conferenza stampa tenuta dall'Ing. M. Borrello, Direttore della sede romana della FACE Standard, dall'Ing. S. Voltini, Direttore della ITT Standard e dall'Ing. V. Ranieri, Direttore della Divisione componenti della FACE Standard.

Nella breve cronistoria della fabbrica di Maddaloni, l'Ing. Borrello ha ricordato che dai 150 dipendenti nel 1961, data dell'apertura, si è giunti alle 800 unità attuali per lo sviluppo della produzione di apparecchi telefonici

adottati in tutto il mondo. Altre attività si sono andate via via aggiungendo: centrali telefoniche, telex, apparecchiature di meccanizzazione postale, componenti elettronici per dette. E' doveroso ricordare qualche cifra informatrice della potenza economica della fabbrica di Maddaloni: il capitale investito è di 5 GLit (=  $5 \cdot 10^9$  Lire = 5 miliardi) e 240 MLit (240  $\cdot 10^6$  Lire = 240 milioni) con partecipazione dell'Isveimer per la competenza di 3,634 GLit.

Il personale scelto in loco segue un corso retribuito di specializzazione svolto dalla FACE Standard, quindi, se l'esito è positivo (ma ormai in Italia, sono tutti promossi!), viene assunto definitivamente.

Come si è accennato, sarà prossimamente aperto un nuovo stabilimento a Battipaglia con attività in telecomunicazioni informata sugli stessi concetti organizzativi.

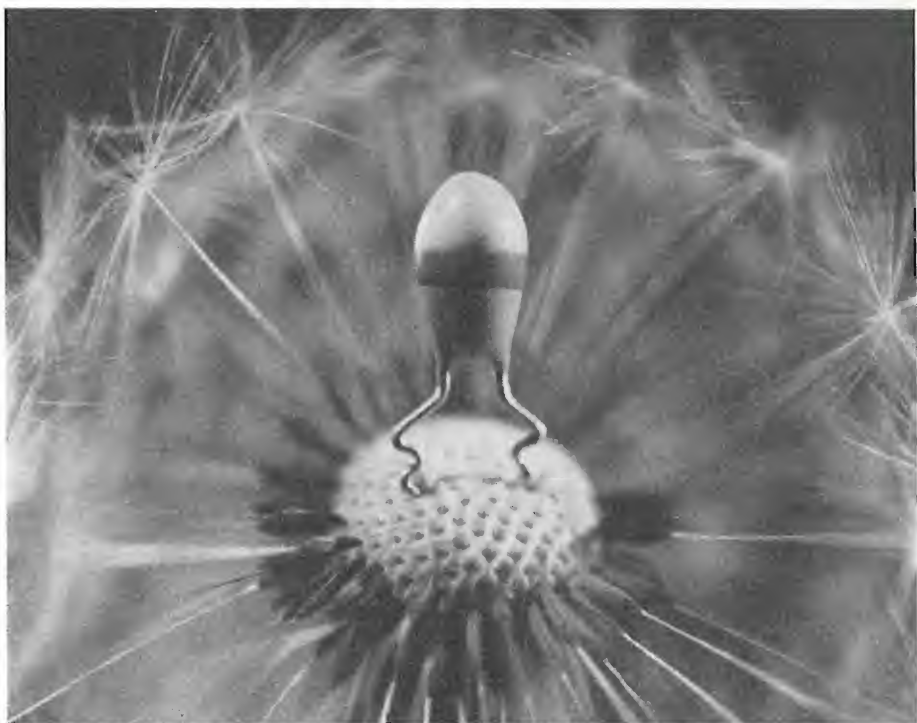
Trattando le *prospettive economiche*, l'Ing. Voltini ha spiegato i motivi che hanno condotto la ITT alla moltiplicazione dei centri per la produzione dei componenti elettronici (56 stabilimenti e 38 uffici commerciali) in Europa (Germania, Inghilterra, Francia, Italia), motivi che vanno ricercati nelle caratteristiche di espansione e di strutture organizzative agili e autonome. Fu così che si decise la fabbricazione in Italia dei condensatori al tantalio, ai quali è dedicata la breve monografia elaborata dal Dr. G. Gangale e dall'Ing. V. Ranieri e che riportiamo come appendice tecnica alla presente nota (vedi pag. 270).

## IL CONDENSATORE AL TANTALIO

La produzione di condensatori al tantalio, che prevede progressivi sviluppi sia negli impianti, sia nel personale, è stata resa possibile a Maddaloni dall'esperienza accumulata in passato con la produzione di diversi componenti elettronici — fra i quali in particolar modo i condensatori in poliestere metallizzato — e dall'adozione di nuovissime tecnologie elaborate

presso la Standard Elektrik Lorenz, consociata tedesca dell'ITT.

Caratteristica fondamentale dei condensatori al tantalio è l'alto grado di miniaturizzazione che, si prevede, potrà influenzare sensibilmente il mercato delle apparecchiature elettroniche nelle quali, come è noto, si tende ad una costante riduzione delle dimensioni di ingombro.



Le apparecchiature elettromedicali costituiscono uno dei più promettenti campi di applicazione dei condensatori al tantalio ITT. In particolare un sempre maggior impiego viene fatto nella realizzazione dei regolatori elettronici del battito cardiaco per i quali è richiesto un altissimo grado di affidabilità e miniaturizzazione.

La produzione dei condensatori al tantalio T.A.G. è iniziata nel gennaio 1970 dopo un anno di preparativi e di addestramento delle maestranze e di specializzazione dei tecnici presso la fabbrica tedesca.

Il personale tutto ha risposto in modo più che soddisfacente eliminando ogni dubbio residuo sulle possibilità lavorative delle forze locali. L'esito positivo della nuova fabbricazione è anche dovuto all'esperienza biennale accu-

mulata nel campo dei condensatori in poliestere metallizzato fabbricati a Milano.

Il criterio informativo della scelta del sud italiano, e che concilia l'interesse sociale e pubblico con la convenienza aziendale, sta nella creazione di un centro « California d'Italia » unità necessaria all'evoluzione che la realtà del Mezzogiorno è destinata a registrare (sono parole dell'Ing. Ranieri).



Nelle fotografie sotto e sopra, condensatori al tantalio ITT prodotti dalla Face Standard.



dott. G. Gangale - ing. V. Ranieri

# Il condensatore al tantalio

## GENERALITA'

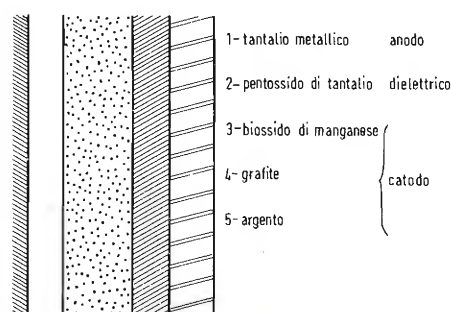
Il condensatore al tantalio è un condensatore elettronico in cui l'elettrolita ( $\text{MnO}_2$ ) è solido e semiconduttore di tipo « n ».

Questo condensatore utilizza l'alta capacità di un sottile film di pentossido di tantalio ( $\text{Ta}_2\text{O}_5$ ) amorfo ad altissima resistività in contatto con un supporto poroso di tantalio metallico da una parte e con biossido di manganese dall'altra.

La resistività del film di  $\text{Ta}_2\text{O}_5$  è estremamente alta (circa  $10^{14}$  ohm/cm) mentre quella del biossido di manganese è estremamente bassa ( $10 \div 100$  ohm/cm) e dipende essenzialmente dalla sua porosità.

Il pentossido di tantalio è inoltre un ottimo dielettrico per condensatori con una costante dielettrica di 27,3 ed ha anche ottima stabilità chimico-fisica nel tempo.

Le parti costituenti un condensatore al tantalio sono schematizzate qui sotto:



Si ha dunque un anodo di polvere di tantalio pressata e poi sinterizzata che funge da supporto poroso e perciò capace di sviluppare una grande superficie in un piccolo volume. Questa spugna metallica viene ricoperta elettroliticamente con un film isolante di  $\text{Ta}_2\text{O}_5$ . Sul film di ossido si deposita in intimo contatto uno strato di  $\text{MnO}_2$ .

Un migliore contatto elettrico con il semiconduttore viene successivamente assicurato ricoprendolo con un sottile strato di grafite seguito da uno di argento, che funge anche da supporto

stagnabile per un terminale di nichel che porta all'esterno l'armatura catodica.

Un condensatore così fatto presenta una capacità  $C$  che è direttamente proporzionale alla superficie di un'armatura  $S$ , alla costante dielettrica  $\epsilon$  del film di ossido ed inversamente proporzionale al suo spessore  $d$  come mostra la seguente relazione:

$$C = \epsilon_0 \epsilon \frac{S}{d} \quad \text{dove}$$

$$C = \text{Farad}$$

$$\epsilon_0 = 8,854 \cdot 10^{-12} \text{ Farad/m}$$

$$\epsilon = 27,3$$

$$S = \text{m}^2$$

$$d = \text{m}$$

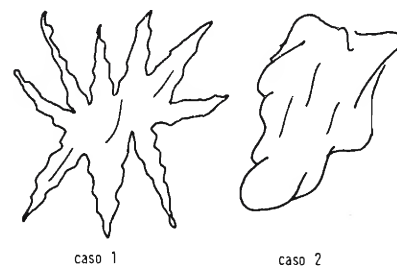
Lo spessore dell'ossido di tantalio è di  $16 \text{ \AA}$  per volt di anodizzazione ( $1 \text{ \AA} = 10^{-8} \text{ cm}$ ) ed il supporto poroso sviluppa generalmente una superficie di circa  $1500 \text{ cm}^2$  per  $\text{cm}^3$ .

Diamo ora qui di seguito un breve cenno sul processo costruttivo dei condensatori al tantalio.

**1. Tipi di polvere** - La polvere di tantalio è oggi disponibile con grado di purezza elevatissimo e con proprietà diverse e ben definite in funzione del tipo di condensatore a cui la si vuol destinare.

La prima fondamentale proprietà di una polvere dipende dalla forma dei granelli, che stabilisce la possibilità di sviluppare la superficie e quindi una capacità più o meno grande per unità di volume.

Qui sotto sono schematizzati due diversi tipi di granelli di polvere con proprietà opposte.



questi condensatori che è pentossido di tantalio ( $Ta_2O_5$ ).

Il processo si esplica attraverso l'elettrolisi di una soluzione acida per acido fosforico ( $H_3PO_4$ ) e generalmente regolata su una concentrazione di 0,1% in peso di acido.

Durante il processo si ottiene elettroliticamente l'ossidazione della superficie sviluppata dall'anodo poroso. E' in questa fase che si controlla la capacità che si vuole ottenere, perché si può intervenire sullo spessore dell'ossido programmando la tensione di anodizzazione a cui il processo avviene.

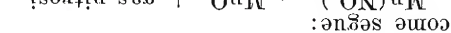
Come già accennato precedentemente, esiste una equazione ben definita che pone in relazione la capacità « C » con lo spessore « d » del dielettrico; il processo elettrolitico garantisce l'uniformità dello spessore dell'ossido in tutti i punti con la legge di  $16 \text{ Å}$  per volt di anodizzazione. In figura 4 è schematizzato un anodo anodizzato in cui non si vede il fenomeno nell'interno, ma la formazione di ossido va ovviamente intensa lungo tutta la superficie interna ed esterna del corpo poroso.

4. *Catodo* - La formazione del catodo a base di biossido di manganese e la- (MnO<sub>2</sub>) è l'operazione più lunga e laboriosa di tutto il processo. Il primo stadio dell'operazione consiste nella immersione degli anodi porosi in una soluzione di nitrato di manganese Mn(NO<sub>3</sub>)<sub>2</sub> in condizioni fisiche di concentrazione e temperatura ben definite.

te e controllate, fig. 5.

Per capillarità gli anodi si imbevono di soluzione e, così impregnati di nitrato di manganese, vengono inviati ad un forno in cui si è già stabilizzata una certa temperatura superiore ai 200 °C.

Per effetto delle temperature si ottiene una reazione di pirolisi del nitrato di manganese che si « converte » in biossido di manganese, la reazione nel suo stadio finale può schematizzarsi come segue:



Il processo consecutivo di « impregnazione » e « conversione » prosegue fino al riempimento completo di tutte le cavità interne con biossido di manganese fig. 6, e fino, inoltre, ad ottenere un rivestimento esterno di tutta la superficie con uno strato ben compatto di biossido, fig. 7.

Il processo completo richiede diverse impregnazioni e conversioni. Dopo il completamento dell'operazione di manganzizzazione, gli anodi, rivestiti ora di MnO<sub>2</sub>, vengono parzialmente immersi in una sospensione di argente colloidale (C), fig. 8, con lo scopo di ottenere solo esternamente, una sottile pellicola di carbone che serve a realizzare un buon contatto elettrico tra lo strato di biossido di manganese e quello successivo di argento, che funzionerà, come vedremo più avanti, da supporto stagnabile, immersione degli anodi porosi in una soluzione di nitrato di manganese Mn(NO<sub>3</sub>)<sub>2</sub> in condizioni fisiche di concentrazione e temperatura ben definite.

5. *Finitura* - A questo punto il condensatore è fisicamente finito in quanto possiede le due armature ed il die-

6. *Applicazioni* - Questi condensatori al tantalio si presentano a forma di goccia con i terminali che fuoriescono

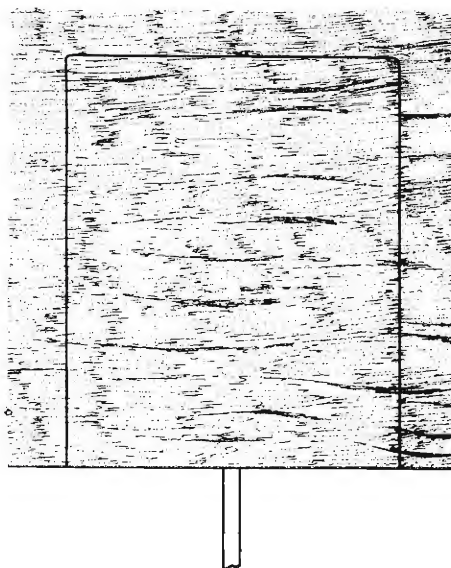


Fig. 5 - Immersione in Mn(NO<sub>3</sub>)<sub>2</sub>

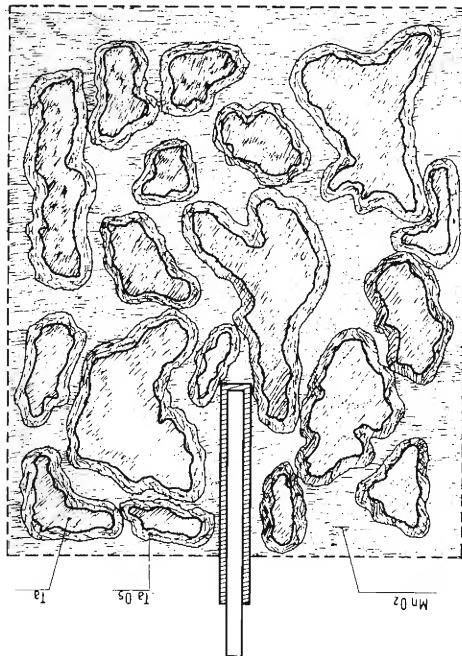


Fig. 6 - Manganzizzazione vista dall'interno

6. *Applicazioni* - Questi condensatori al tantalio si presentano a forma di goccia con i terminali che fuoriescono

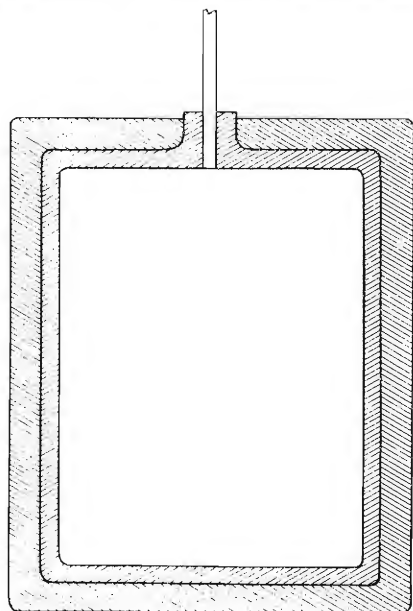


Fig. 7 - Manganizzazione schematica dall'esterno

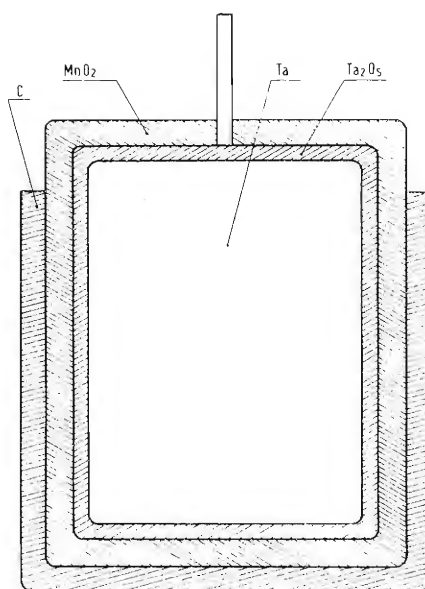


Fig. 8 - Grafitizzazione

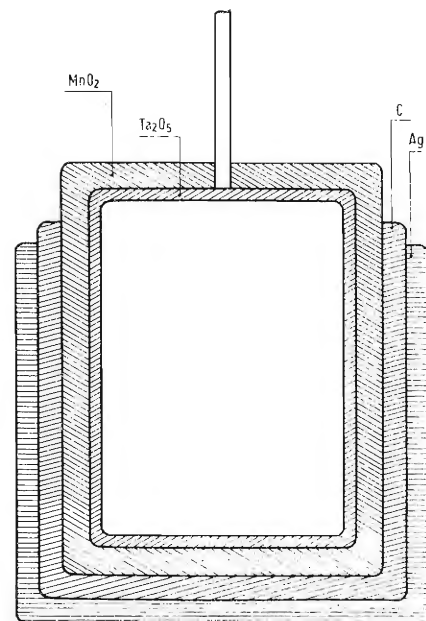


Fig. 9 - Argentatura

da una sola parte. Essi trovano molte applicazioni nel campo delle telecomunicazioni, registratori a nastro, apparecchi di protesi acustiche, ricevitori radio, ecc., della TV e della bassa frequenza. La loro gamma di capacità è compre-

sa tra 0,1 a 100  $\mu$ F con tensioni di lavoro fino a 35 V. C'è comunque una limitazione al prodotto capacità x tensione di lavoro e ciò è in funzione delle dimensioni dell'anodo che, per problemi strettamente tecnici, non possono superare

certi limiti.

La caratteristica fondamentale che distingue questi condensatori è costituita dalle loro dimensioni fortemente ridotte rispetto agli elettrolitici convenzionali e dall'avere il catodo solido.

A

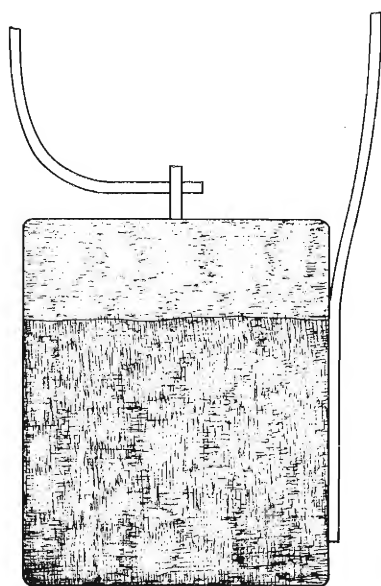


Fig. 10 - Saldatura terminale ad « U »

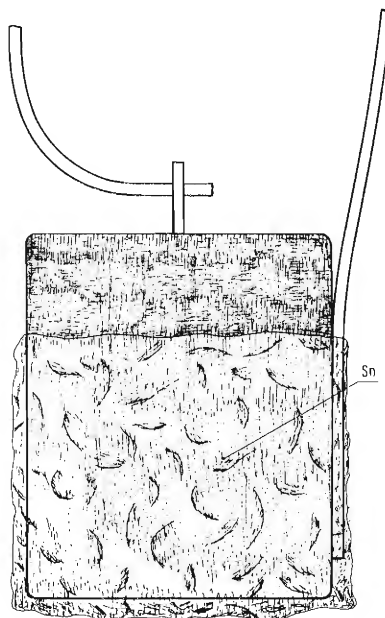


Fig. 11 - Stagnatura

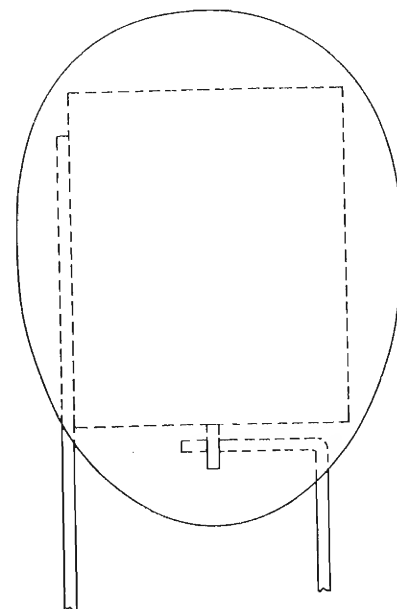


Fig. 12 - Resinatura



### Videocitofono

Nel n. 1/1970 de *l'antenna* è stato pubblicato un articolo dal titolo « Impianto d'videocitofono per condominio » a firma del dott. ing. O. Barbuti. L'articolo reclama un « videocitofono » della ditta Elettronica Industriale di Lissone, descrivendone anche le caratteristiche tecniche ed i vantaggi funzionali.

Inoltre, in più punti del testo, viene denunciata l'esistenza di brevetti, che, pur non essendolo esplicitamente scritto, si devono ritenere di proprietà della ditta citata.

Appunto alla questione brevettuale desidera indirizzarsi questa nota.

Le Industrie A. Zanussi S.p.A. di Pordenone, sono, infatti, le titolari del brevetto per invenzione industriale n. 850.829 (depositato il 7 Marzo 1969 e rilasciato il 15 ottobre 1969) dal titolo: « Apparecchiatura per la trasmissione a distanza di suoni e di immagini, particolarmente impiegabile in edifici adibiti ad abitazione privata ».

Questo brevetto descrive e rivendica un impianto videocitofonico (di progettazione e realizzazione originale della sezione elettronica della Zanussi), la cui postazione esterna comprende un'unità citofonica ed un'unità di ripresa televisiva racchiuse in un unico contenitore atto ad essere incassato nello spessore di un muro. La telecamera viene disposta entro il contenitore in modo che il fascio di ripresa si trasmetta parallelo alla parete del muro e venga deviato da opportuni mezzi ottici per poter riprendere l'immagine esterna in condizioni ottimali di messa a fuoco e di ampiezza di campo.

Il brevetto Zanussi è già stato esteso all'estero e nel primo Paese in cui è stato sottoposto ad esame di merito, l'Austria, non ha ricevuto alcuna opposizione da parte dell'Esaminatore, il quale — appunto in totale assenza di anteriorità — ha già comunicato il suo consenso al rilascio del brevetto in Austria. Questo fatto, a chi è esperto in materia brevettuale, dimostra senza equivoci i diritti di esclusiva di cui la Zanussi è proprietaria nei confronti del « videocitofono ».

L'articolo citato apparso su *l'antenna* costituisce, quindi, un atto di concorrenza sleale da parte dell'Elettronica Industriale nei confronti della Zanussi.

Si deve far presente, infatti, che la stessa Elettronica Industriale, nella persona del suo titolare ing. Barbuti, è già stata citata dalla Zanussi dinanzi al Tribunale di Milano con atto del 4 Ottobre 1969 per violazione di diritti di proprietà industriale.

Il « videocitofono » Zanussi — lo si riporta soltanto a titolo di informazione — è stato presentato da tempo sul mercato ed ha riscosso vivo successo, ad esempio, alla recente mostra « FinEdil » ed alla Fiera di Milano, ottenendo lusinghiere segnalazioni sulla stampa specializzata e non specializzata.

Ing. Valter Giugni  
Ufficio Brevetti - Industrie A. Zanussi Spa

### Un nuovo periodico di elettronica

La GRUNDIG ITALIANA S.p.A. ha edito il N° 1 - 1970, Anno XVI, di un suo nuovo periodico « INFORMAZIONI TECNICHE » di tecnica elettronica, Radio, TV, registratori.

La rivista ha naturalmente come obiettivo di illustrare tecnicamente la produzione Grundig, ma non intende farne della pubblicità. Gli argomenti, che massimamente interessano chi si occupa di elettronica, sono trattati in modo semplice ma rigorosamente tecnico e vengono spiegati nel modo migliore cioè con l'ausilio di esempi di apparecchi « vivi » del commercio (e perché no? Grundig).

Nel N° 1 sono pubblicati i seguenti articoli:

*Tecnica TV* - Televisore a colori Grundig della seconda generazione con i moderni transistori e con i nuovi circuiti integrati

*Portatili* - Grundig Ocean Boy 209

*Strumenti* - Amplificatore differenziale intercambiabile tipo DEO3

*Service TVC* - Impiego dell'oscillografo Grundig MO 10/13 per rappresentazioni vettoriali sugli assi X e Y

*Servizio sull'SV140* - Amplificatore stereo SV140.

Il nuovo periodico GRUNDIG non ha una cadenza fissa di pubblicazione; viene inviato in omaggio, a richiesta, a laboratori specializzati, a negozi con addetti all'assistenza tecnica.

L'abbonamento annuo costa solo L. 2000 e può essere sottoscritto da chiunque con diritto a ricevere i numeri normali previsti. « Numeri speciali » eventuali non saranno compresi nell'abbonamento.

Don Davis

# Sonorizzazione Altec Acousta Voicing\*

(parte prima)

*Come le caratteristiche acustiche di una camera possono essere compensate con un metodo di applicazione di filtri opportunamente progettati all'impianto sonoro.*

L'equalizzazione degli impianti sonori per compensare la dannosa interazione, che può verificarsi fra l'impianto sonoro e l'ambiente acustico (auditorio, arena ecc.) dove è installato, è stata studiata seriamente da eminenti fisici, ingegneri o sperimentatori da lungo tempo. Questi studi hanno stabilito che l'ambiente acustico influisce sulla risposta ampiezza-frequenza degli altoparlanti, come indica la fig. 1.

William B. Snow, un'autorità in fatto di acustica, ha dimostrato che un sistema di rinforzo del suono prossimo al suo stato rigenerativo (appena al di sotto della reazione acustica) può aumentare, ed aumentare effettivamente, il tempo di discesa di certi segnali altamente riverberanti. Da ultimo, Richard V. Waterhouse dell'Università Americana di Washington, D. C., ha applicato i classici criteri di Nyquist per determinare le condizioni necessarie per ottenere la rigenerazione in un impianto di rinforzo del suono. Sulla base di questi massimi lavori e dell'esperienza acquisita di centinaia di esperti ed intraprendenti sperimentatori nel campo del suono professionale, si sono posti i fondamenti per la realizzazione dell'equalizzazione più adatta ad un impianto sonoro.

## 1. - ALTEC ACOUSTA-VOICING

Acousta-Voicing è un metodo completamente programmato di applicazione di queste scoperte per progettare, installare, provare e regolare la risposta ampiezza-frequenza di un impianto sonoro, nell'ambiente acustico dove esso è montato e usato. Mentre le parole « Acousta-Voicing » e le loro derivate sono più che verosimilmente dovute allo stesso eventuale oscurantismo che ha finito per gonfiare le parole « alta fedeltà » e « stereofonia », si cercherà nel seguito di spiegare che cosa esse significano attualmente, mentre appaiono come pure pioniere.

Il termine descrittivo Acousta-Voice viene dalla pratica, suffragata dal tem-

po, di mettere in voce (voicing) o di regolare un organo a canne per sonorizzare l'ambiente acustico in cui è installato. In pratica, Acousta-Voicing vede il progetto dell'impianto in termini dei massimi risultati che la teoria può prevedere, arrivando fino a, ma non oltre, quel punto. Poi essa regola la risposta ampiezza-frequenza del sistema totale elettroacustico, ivi compresi i componenti elettronici, i trasduttori e la sala stessa, come fattori della risposta generale, che permette di ottenere la più alta qualità di tonalità e il massimo guadagno acustico. Essa infine fissa i procedimenti di prova per assicurarsi della capacità della sezione elettronica a fornire i requisiti acustici. Acousta-Voicing non esclude il normale materiale sonoro contenuto nel programma, ma piuttosto porta all'eguaglianza con la maggioranza delle frequenze, quelle frequenze speciali che la sala e il sistema sonoro insieme sopraelevano occasionalmente (v. fig. 2a e 2b).

Sfruttando una particolare tecnica ed un'apparecchiatura di prova di precisione, queste regolazioni possono essere fatte velocemente (circa 2 ore) e con precisione. I risultati tangibili sono un alto guadagno acustico, una vasta ed uniforme risposta acustica in frequenza ed una notevole immunità dalla colorazione riverberante.

Come ci si può immaginare, l'Acousta-Voicing non è per principianti. Il regolatore Acousta deve capire i problemi fondamentali di progetto degli impianti di rinforzo del suono e deve sapere come risolverli.

Qui si discutono i requisiti per un buon ascolto nello spazio, il compito del sistema di rinforzo del suono, la natura della reazione acustica, la colorazione riverberante e i criteri fondamentali dell'Acousta-Voicing.

## 2. - REQUISITI PER UN BUON ASCOLTO NEGLI AUDITORI

Si considerano tradizionalmente quat-

(\*) da: Audio n. 11, novembre 1968 pag. 21—25.

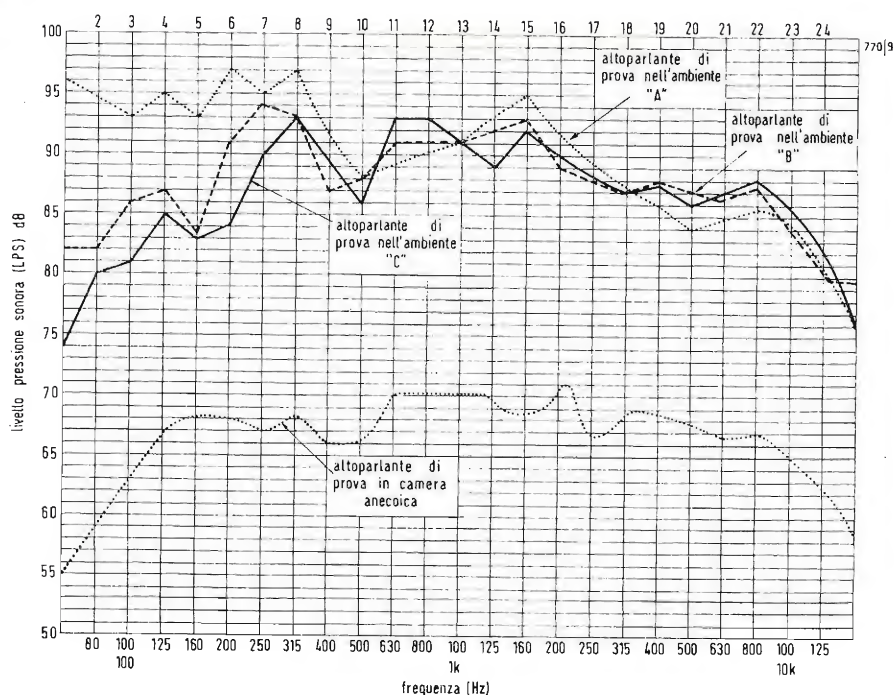


Fig. 1 - Confronto dello stesso altoparlante in quattro diversi ambienti, indicante l'effetto delle dimensioni, della forma e dell'assorbimento dell'ambiente, nonché della disposizione dell'altoparlante, sulla curva di risposta finale.

tro fattori fondamentali per considerare soddisfacenti le condizioni di ascolto in un auditorio:

- 1) silenziosità dell'auditorio;
- 2) sufficiente sonorità del programma sonoro;
- 3) uniformità di distribuzione del materiale del programma in tutte le zone dell'auditorio dove ci sono gli ascoltatori;
- 4) assenza di tempi di estinzione eccessivi o di tempi di ritardo nella ricezione del suono riflesso rispetto al suono diretto combinati negli orecchi dell'ascoltatore. (È stato detto che occorre che i suoni successivi in articolazione rapidamente variabile, sia di parole, sia di musica, siano chiari e distinti, esenti fra loro da interazioni e da disturbi estranei).

### 3. - NATURA DELLA REAZIONE ACUSTICA

La teoria fondamentale dell'amplificazione ci condurrebbe a supporre che il massimo guadagno acustico (percezione auditiva = loudness) che possiamo raggiungere con un sistema di rinforzo del suono sarebbe come segue: supponiamo che una persona che stia parlando a 60 cm da un microfono, generi al diaframma del microfono un livello di pressione acustica di 70 dB e che ci sia un altoparlante montato a 9 m dal diaframma del microfono. Si supponga inoltre che esistano le condizioni di campo libero. Cerchiamo quale sia il massimo livello di pressione sonora che si può verificare a 1,2 m dall'altoparlante (distanza alla

quale sono dati per il massimo rendimento gli altoparlanti professionali) prima che possa verificarsi la reazione acustica.

Naturalmente ci aspetteremmo che la reazione avvenga ovunque il suono proveniente dall'altoparlante abbia raggiunto lo stesso livello di pressione sonora al diaframma del microfono dato dalla voce del dicatore, il che rappresenta il guadagno unitario.

Nelle condizioni accennate, il livello di pressione sonora dovuto all'altoparlante potrebbe essere portato all'altezza del livello di pressione sonora al diaframma del microfono, dovuto alla voce del dicatore (70 dB di LPS). Aggiungiamo a ciò la perdita secondo la legge quadratica inversa dell'LPS a 1,2 m dall'altoparlante (il livello di pressione sonora diminuisce di 6 dB ogni volta che la distanza raddoppia), confrontata all'LPS a 9 m dall'altoparlante:

$$\frac{9}{1,2} = 7,5. \text{ Allora, } 20 \log_{10} 7,5 = 17,5 \text{ dB}$$

dB. Allora ci aspetteremmo di poter usufruire di  $70 + 17,5 = 87,5$  dB di LPS a 1,2 m dall'altoparlante, equivalenti a 87,5 dB. Per una persona seduta a 24 m sia dal parlatore, sia dall'altoparlante, ci si attenderebbe che la voce del dicatore non amplificata arrivasse alle sue orecchie con un LPS

$$\frac{24}{0,6} = 40; 20 \log_{10} 40 = 32 \text{ dB; } 70 - 32 = 38 \text{ dB}.$$

Il suono prodotto dall'altoparlante arri-



verrebbe alle orecchie dell'ascoltatore

con un LPS di 61,5 dB ( $\frac{24}{1,2} = 20$ ;

$20 \log_{10} 20 = 26$  dB;  $87,5 - 26 = 61,5$  dB).

Ciò significa che il guadagno acustico sarebbe  $61,5 - 38 = 23,5$  dB di LPS a 24 m.

È stata proposta una formula per calcolare il guadagno acustico potenziale. Questa formula è:

$$\text{guadagno acustico} = 20 \log_{10} \left( \frac{D_1}{D_s} \cdot \frac{D_o}{D_2} \right)$$

Applicando questa formula al nostro esempio, si trova:

$D_1 = 9$  m, distanza tra il microfono e l'altoparlante;

$D_s = 60$  cm, distanza tra il dicitore e il microfono;

$D_o = 24$  m, distanza tra il dicitore e l'ascoltatore;

$D_2 = 24$  m, distanza tra l'altoparlante e l'ascoltatore;

$$\text{guadagno acustico} = 20 \log_{10} \left( \frac{9}{0,6} \cdot \frac{24}{24} \right) =$$

23,5 dB di LPS.

È teoricamente possibile superare leggermente il guadagno unitario se si regola l'angolo di fase in modo che l'ampiezza che supera il guadagno unitario e passante attraverso l'intero sistema, compreso l'ambiente, non abbia un angolo di fase uguale a  $2N$  radianti ( $N = 0, 1, 2, \dots$ ). Allora, la reazione che si verifica prima di raggiungere questo limite pratico-teorico è dovuta o ad un picco nella risposta in ampiezza della combinazione fra i circuiti elettronici, i trasduttori elettroacustici e l'ambiente acustico, o ad una sfavorevole relazione di fase fra tutti questi componenti alla frequenza di reazione.

A complicare maggiormente la natura

fondamentale del problema, i trasduttori elettroacustici hanno punti di risonanza, e l'ambiente acustico in un vasto locale ha migliaia di modi normali nello spettro audio utile.

La reazione acustica, che è il prodotto dei modi ad alto  $Q$  dell'auditorium in combinazione, più la risposta dei trasduttori elettroacustici, più l'accoppiamento reciproco dei due complessi, può eventualmente ridurre il guadagno acustico attuale ottenuto da  $+23,5$  dB a  $-2$  dB o meno. Quando ciò avviene, l'auditorio in parola comincia rapidamente ad acquistarsi la nomea di « aver difetti con il suono ».

È dimostrabile che l'impianto sonoro in un simile ambiente reagisce sempre ad una frequenza alla volta.

Ma ciò non prova che vi sia un solo modo di ambiente. Anzi, è vero il contrario. In un grande auditorio, i modi normali si sovrappongono abbondantemente e la risposta ad una qualsiasi frequenza dipende da più di un modo.

Ancora, mentre si può dimostrare sperimentalmente che esistono diversi zeri fra i modi, la loro piccola spaziatura e la grande similitudine suggeriscono che essi devono essere considerati come gruppi. In senso molto pratico, ogni tentativo di trattare un modo di ambiente singolo ad alto  $Q$  richiede un filtro a  $Q$  molto alto, che (per il suo alto  $Q$ ) introduce una difficoltà di transistori nella risposta dell'impianto sonoro, talvolta eguale o maggiore delle difficoltà ambientali, che esso tenta di risolvere (v. fig. 3). In casi estremi, si possono trovare impianti sonori, che impiegano tali filtri, che presentano tale reazione senza che venga impiegato nessun microfono. Girando in avanti i regolatori di guadagno, il sistema sonoro va in reazione come se fosse presente un microfono. Eliminando i filtri a  $K$  non costante ad alto  $Q$ , si rimedia

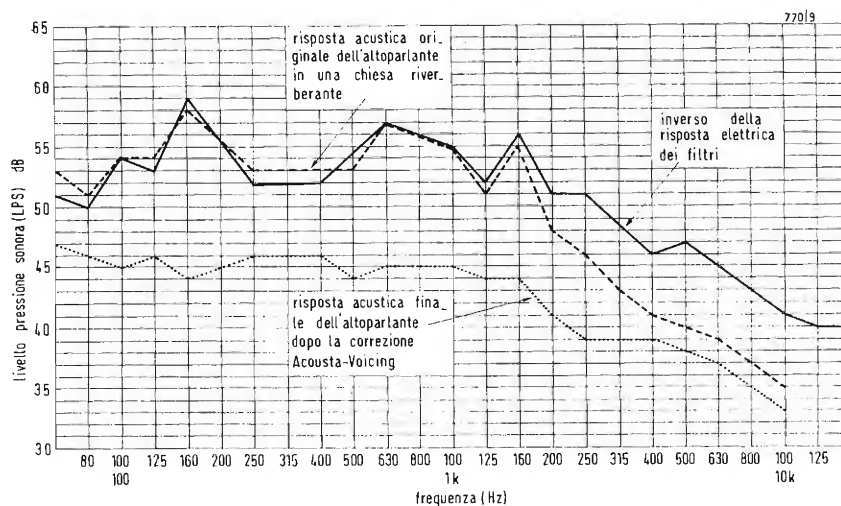
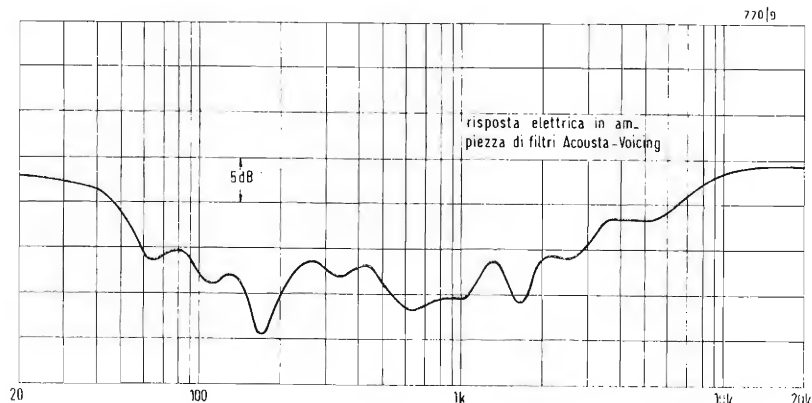


Fig. 2A - Correzione della risposta in campo riverberante, avendo ammesso il normale assorbimento dell'aria, mediante filtri Acousta-Voicing. È pure fatto un confronto della risposta elettrica inversa dei filtri con la risposta acustica originale non corretta.

Fig. 2B - Qui si vede la risposta elettrica dei filtri Acousta-Voicing nel caso della chiesa riverberante indicata in fig. 2A.



immediatamente a questo fenomeno. Il problema viene complicato dall'impedenza del ponte di trasmissione, che varia bruscamente a tutte le frequenze di risonanza dei filtri.

Fortunatamente, si può anche dimostrare sperimentalmente che il controllo dell'ampiezza globale e delle combinazioni di fase dei circuiti elettronici, dei trasduttori elettroacustici e dell'ambiente acustico, con filtri a reiezione di banda, di larghezze di banda all'incirca critiche, si ottiene un maggior guadagno e una curva di risposta del complesso più piatta di quella ottenibile con filtri a reiezione di banda con caratteristiche di larghezza di banda più stretta. Il nostro orecchio rivela le variazioni soggettive di sensazione auditiva in composizioni programmatiche tipiche (musica e parola) entro le larghezze di banda critiche. Facendo filtri più stretti di queste larghezze di banda critiche ad una data frequenza, non si ottiene un miglioramento avvertibile rispetto al filtro a larghezza di banda critica. Poiché si può misurare il  $Q$  di un filtro passivo per mezzo del suo «ringing» (distorsione di caduta del transitorio), è di notevole importanza determinare come si possa fare stretto in larghezza di banda un filtro a reiezione di banda che però trasmetta transitori indistorti. Per fortuna, la distorsione «ringing» non diventa preoccupante finché i filtri sono più stretti delle larghezze di banda critiche desiderate. Inoltre, i filtri a reiezione di banda aventi larghezza di banda approssimativamente critica possono essere costruiti come a  $K$  costante in configurazione circuitale, evitando così la sopra menzionata distorsione dei transitori, quando vengono inseriti nella parte elettronica di un complesso. (Un tempo, gli sperimentatori non conoscevano il problema del «ringing», ma i fornitori di materiali per impianti sonori professionali, i produttori di film, di dischi e gli ingegneri della radiodiffusione non possono ignorarlo.

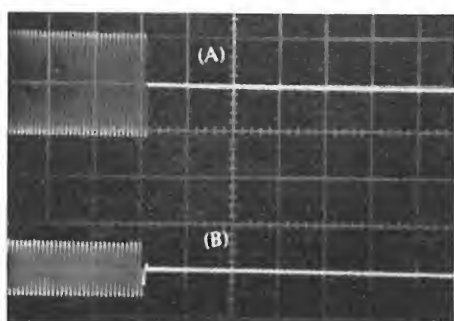
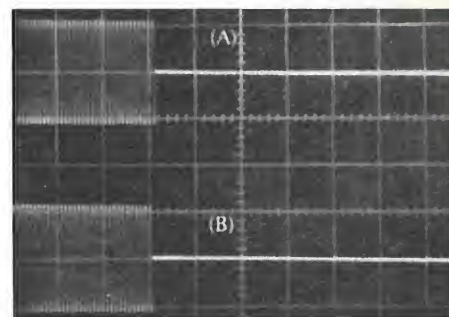
#### 4. - COLORAZIONE DI RIVERBERAZIONE

La seconda importante limitazione incontrata nei grandi auditori con impianti sonori ben progettati e correttamente installati è il tempo di attenuazione della riverberazione, che confonde e maschera la parola amplificata. Mediante prove soggettive sull'intelligibilità del parlato, seguite da misure obiettive della durata del tempo richiesto da date note per spegnersi in vari auditori, è stato determinato, in lunghi anni, da quali parametri di tempi di attenuazione la parola risulta influenzata. In un lavoro definitivo presentato all'audio Engineering Society nel 1955, William B. Snow ha descritto e dimostrato il maggior tempo di estinzione che nasce quando l'impianto sonoro funzionante in condizioni prossime alla reazione, rispetto al tempo naturale dell'ambiente. Dai dati portati dal signor Snow è risultato che, nel tentativo di aumentare il rapporto segnale/rumore mediante un impianto sonoro di amplificazione, c'è il caso che aumenti anche il tempo di estinzione, alle frequenze scelte per la prova, di una quantità da 6 a 7 volte il loro tempo originale di caduta (v. fig. 4). Allora, nel tentativo di rendere il suono diretto più intenso, l'impianto sonoro, lavorando in vicinanza della reazione acustica, rende anche più lungo il tempo di estinzione riamplicato.

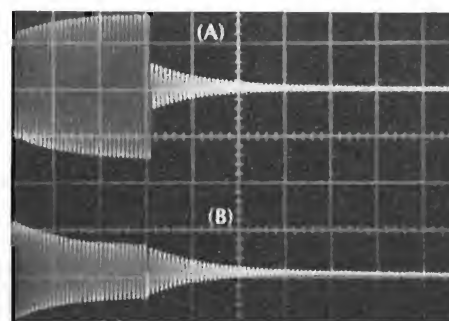
L'articolo del signor Snow ha anche dimostrato che quando l'impianto sonoro è regolato ben lontano dalla rigenerazione acustica (da  $-10$  a  $-12$  dB), non aumenta più il tempo di attenuazione naturale dell'ambiente. Come si è detto, se si rende più uniforme la risposta acustica di un impianto sonoro, il guadagno acustico aumenta tendendo al suo valore limite teorico. Così facendo, l'impianto sonoro ha dato luogo a sufficiente guadagno acustico per far sì che esso stesso possa essere regolato ben al disotto del punto di reazione, eliminando così l'ingrandimento

Fig. 3 - Fotografie dell'impulso audio della risposta ai transistori dei filtri reiettori di banda a larghezza di banda critica rispetto ai filtri a larghezza di banda più stretta.

(A) segnale origine — 32 cicli di segnale a 1 kHz. (B) segnale all'uscita del circuito ponte.



(A) Origine — 32 cicli di segnale a 1 kHz. (B) circuito ponte con filtro a  $k$  costante inserito e predisposto per — 6dB.



(A) segnale origine — 32 cicli di segnale a 1 kHz segnale origine spinto in «ringing» mediante filtro. (B) Circuito ponte con filtro a induttanza accordata in serie inserito e predisposto per — 6dB.

dei tempi di estinzione riverberanti naturali nell'ambiente. Quando un impianto sonoro è stato compensato per presentare la risposta in ampiezza più uniforme possibile, secondo le misure in campo riverberante, si riscontra un considerevole miglioramento della qualità e del guadagno acustici.

I risultati pratici per l'utente si concretizzano come esclusione completa della reazione (si può ora lavorare ben sotto la reazione, avendo a disposizione un guadagno sovrabbondante) e come minima eccitazione della riverberazione naturale dell'ambiente.

Alcuni impianti sonori sono stati elaborati con il sistema Acousta-Voicing in spazi con tempi di riverberazione di durata 10 secondi a 512 Hz. I risultati ottenuti nel campo spesso sembrano miracolosi all'osservatore di primo acchito, ma possono essere dimostrati completamente.

## 5. - FASI FONDAMENTALI DEL PROCEDIMENTO ACOUSTA-VOICING

A motivo della complessa dipendenza dell'equalizzazione di impianti sonori ben riusciti dalla qualità dell'impianto sonoro stesso, bisogna tener presente che l'Acousta-Voicing, per avere suc-

cesso, deve comportare molto di più della semplice applicazione di circuiti di filtro ad un preesistente impianto sonoro. Gli esecutori dell'Altec Acousta-Voicing, per esempio, seguono un metodo punto per punto, che assicura che nessun particolare importante nella catena completa dei componenti interagenti venga trascurato.

Queste fasi sono:

1) progetto di un nuovo impianto, o riprogettazione di un vecchio impianto o di tipo centrale ad alto livello, o di tipo distribuito in alto (o una conveniente combinazione dei due tipi, la quale assicura sufficiente potenza elettrica per generare la richiesta potenza acustica agli orecchi dell'uditore e che garantisce una equa distribuzione senza punti « caldi » o « morti »).

Ciò esclude automaticamente l'impiego di trombe rientranti, colonne sonore, altoparlanti disposti sui due lati di uno stadio, altoparlanti montati in fila in basso nelle pareti laterali ed altre pratiche autocriticabili, ma tenute in onore da gran tempo;

2) eseguire prove complete degli impianti installati usando apparecchiature di prova accuratamente tarate. Le prove devono comprendere i seguenti punti, ma non essere ristrette ad essi:

a) corretta messa terra di tutti i componenti circuitati alla reale massa della terra,

b) disporre le impedenze dei circuiti di collegamento e degli altoparlanti e la loro regolazione al valore ottimo,

c) eliminazione di ronzii, disturbi, diafonie e oscillazioni spurie, se presenti,

d) distribuzione acustica dell'uscita degli altoparlanti nell'area di ascolto,

e) regolare le relazioni del tempo di ritardo per assicurare che il tempo fra il suono vivo del dicatore e il suono amplificato sia sufficientemente breve,

f) regolare i livelli elettrici per evitare che uno stadio sia sovrappilotato, o che sovrappiloti uno stadio susseguente;

3) dopo aver progettato, installato e provato l'impianto sonoro, e solo dopo aver riscontrato che ognuno dei punti sopraelencati sia stato soddisfatto completamente, si può cominciare a fare la regolazione della risposta acustica dell'impianto sonoro nel locale ambiente. È questo terzo stadio che popolarmente si chiama Acousta-Voicing. Poiché l'osservatore interessato, quale il proprietario di un fabbricato, che ha una lunga storia acustica dolorosa, osserva che il suo fabbricato cessa di dargli grattacapi, egli ritiene, il che è comprensibile, che il miracolo stia solo nei filtri dell'Acousta-Voice. La fama di



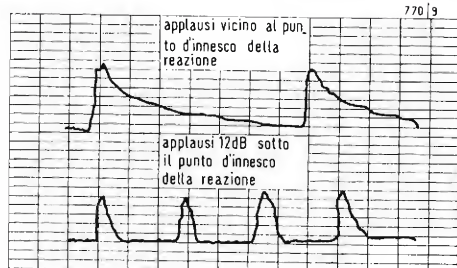


Fig. 4 - Effetto di un impianto di amplificazione, vicino alla reazione, sul tempo di estinzione di un applauso in uno spazio riverberante, rispetto allo stesso impianto ben sotto il livello della reazione.

tale successo corre rapidamente. Sfortunatamente però, vari sperimentatori di equalizzatori non sono d'accordo con i loro risultati. Si noti che quando tutte e tre le fasi precedenti sono state soddisfacentemente compiute, è nostra esperienza che l'Acousta-Voicing funziona sempre, ma non può essere eseguito da progettisti impreparati di impianti sonori, da tecnici senza adatte apparecchiature di prova di precisione, o da installatori di impianti audio privi di conoscenze dei componenti di qualità e degli equalizzatori. Questo terzo punto si suddivide in tre parti:

- a) equalizzazione della banda larga della risposta acustica globale dell'impianto nel locale;
- b) elaborazione della banda stretta delle frequenze di reazione più adatta alla combinazione ambiente-impianto

sonoro,

c) controllo di reazione generata dagli effetti di prossimità presentati dai microfoni;

4) la fase finale è generalmente effettuata dall'utente secondo il suo gusto personale. Ciò consiste nel variare la risposta acustica globale a larga banda dell'impianto sonoro per meglio piacere alle proprie orecchie o a quelle dei suoi clienti. In altri casi, egli può preferire sacrificare il guadagno acustico per un benefico effetto acustico del genere di programma. Egli deve essere provvisto in ogni caso dei necessari equalizzatori di programma per effettuare una ragionevole indagine, ma sempre di tipo che permetta il ritorno istantaneo alla condizione di calibrazione fondamentale, eseguita da Acousta-Voice.

## Un circuito stampato fatto in casa

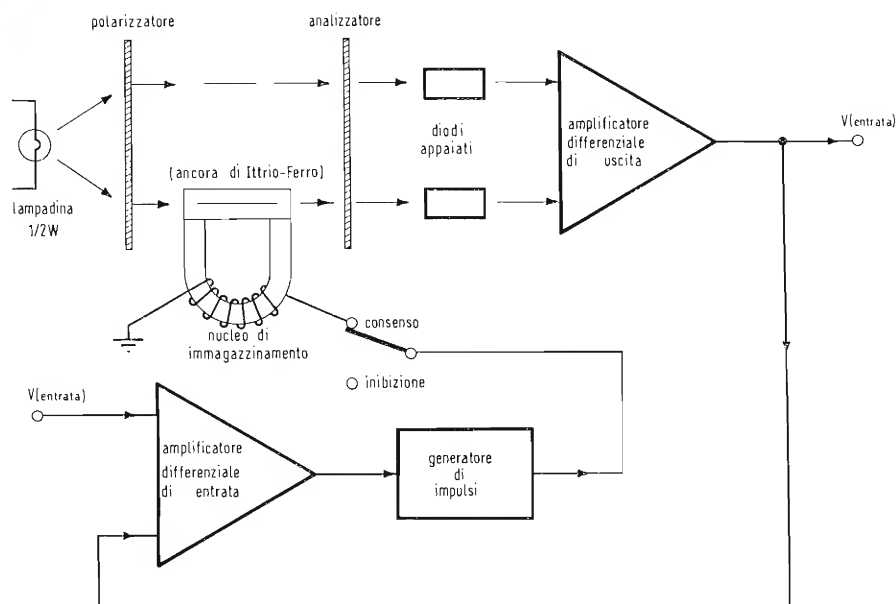
Quando un'azienda ha a che fare con l'elettricità, con macchine o strumenti con circuiti elettrici, ha necessariamente bisogno di avere dei circuiti stampati. Le aziende elettrotecniche, elettromeccaniche ed elettroniche — e in questo caso il nostro discorso è particolarmente indirizzato alle aziende costruttrici di televisori, apparecchi radio, elettrodomestici, calcolatori, telefonia, relais, quadri di controllo, apparecchi elettromedicali, alle università di elettronica e elettrotecnica, alle costruzioni aeronautiche, ecc. — hanno la necessità di approvvigionarsi dei circuiti stampati presso ditte specializzate all'esterno, oppure hanno in sede attrezzature proprie, che permettono la realizzazione di circuiti stampati. A tutte queste aziende la 3M MINNESOTA ITALIA apre ora nuove frontiere: grazie al *Color Key Orange*, un foglio di poliestere dallo spessore di 0,05 mm sul quale è stata stesa un'emulsione sensibile ai raggi ultravioletti, è possibile fare ora i prototipi in scala 1 : 1 dei circuiti stampati senza dover ricorrere all'esterno. Oltre al risparmio di tempo, i vantaggi derivanti da questo nuovo prodotto 3M sono molteplici. Innanzitutto la celerità: per la fabbricazione dei circuiti stampati molte aziende sono costrette a ricorrere a ditte specializzate, che non si trovano nelle immediate vicinanze o addirittura sono in altre città, per cui fra l'ordinazione e il ricevimento del prodotto intercorrono periodi di tempo che « frenano » la messa in atto del progetto. In secondo luogo la estrema duttilità e maneggevolezza del prodotto: Il *Color Key Orange*, oltre a offrire garanzie assolute di stabilità dimensionale, può essere trattato, a luce ambiente, da qualsiasi persona (anche da tecnici non specializzati) che disponga di un normale bromografo o comunque di una sorgente luminosa a raggi ultravioletti, come quella per indurire il « fotorezist ». Va da sé, quindi, che questo preparato posto al servizio di avanzate tecnologie diventa comodamente un prodotto, che può essere trattato con apparecchiature estremamente semplici se non proprio casalinghe.

Il *Color Key Orange*, inoltre, offre la possibilità di apportare tutte le correzioni e modifiche volute e si dimostra molto pratico nello sviluppo, che avviene mediante un batuffolo di cotone imbevuto di *Color Key Developer* della 3M.

Ultima, ma importantissima caratteristica: il costo. Il *Color Key* riduce notevolmente i prezzi per i prototipi e offre la possibilità, a tutte le persone che hanno bisogno di fare circuiti stampati, di una pronta esecuzione, di risparmio di costi per il personale specializzato, in questo contesto non indispensabile, e di una attrezzatura alla portata di tutti.

## Catalogo Prestel

Segnalazione — È uscito il catalogo 1970 della « PRESTEL » (Apparecchiature Elettroniche Milano) che riporta le caratteristiche tecniche degli amplificatori RF (singoli e misti, a modulo, miscelatori tripli), alimentatori, miscelatori per amplificatori, miscelatori d'antenna per le bande TV (VHF, UHF), demiscelatori, filtri di canale, trasformatori d'impedenza, misuratori di campo, tabelle relative alle onde-bande e ai canali dai programmi radio-TV italiani. Per ricevere il nuovo catalogo gratuitamente basta farne richiesta a: PRESTEL s.r.l. - 20154 Milano, Corso Sempione 48.



### Memorie analogiche rapide con estrazione non distruttiva

Una memoria analogica con brevi tempi di estrazione abilita un calcolatore numerico a controllare molti processi analogici di ripartizione di tempo, oppure a controllare un processo più frequentemente. Molte memorie attualmente disponibili hanno l'inconveniente che i segnali si perdono quando manca l'alimentazione, e che i segnali cambiano con il tempo. La memoria qui presentata non soffre di questi inconvenienti.

Si sfrutta il magnetismo residuo nei nuclei magnetici a configurazione quadratica per immagazzinare i segnali, evitando così la dipendenza dall'interruzione di alimentazione. Il nucleo di accumulo è a forma di U ed ha un'ancora di ferro-ittrio (YIG) tagliato da un unico cristallo, per completare il circuito magnetico. Poiché lo YIG è trasparente alle radiazioni infrarosse e presenta un forte effetto Faraday, si può controllare magneto-otticamente lo stato magnetico del nucleo. Perciò il magazzino può essere usato con un nuovo sistema di estrazione, rapido, continuo e non distruttivo.

Il funzionamento della memoria è indicato in figura.

La direzione del piano di polarizzazione della radiazione infrarossa polarizzata nel piano trasmessa dallo YIG, viene ruotata di una quantità dipendente dalla magnetizzazione del nucleo; siccome questa rotazione può essere anche di  $90^\circ$ , la radiazione ricevuta dai rivelatori può assumere valori compresi fra zero e un massimo.

Si usano diodi accoppiati per minimizzare l'effetto delle correnti di fuga nei diodi. La linearità fra l'entrata e i segnali immagazzinati è assicurata con la reazione negativa, che è ottenuta alimentando il segnale analogico ad un'entrata di un amplificatore differenziale e il segnale immagazzinato all'altra entrata. Ogni differenza fa sì che una tensione venga applicata al generatore d'impulsi, che invia impulsi nell'avvolgimento intorno al nucleo; gli impulsi sono di polarità adatta a variare la magnetizzazione finché il segnale accumulato eguaglia il segnale di entrata.

La memoria illustrata è di tipo track-and-hold; essa immagazzinerà un segnale in un millisecondo con la risoluzione dello 0,5%.

### Ricordo dell'Ing. Geloso

La John Geloso S. A. ha curato l'edizione di un elegante opuscolo riccamente illustrato con fotografie, in onore dell'Ing. Giovanni Geloso fondatore della Ditta e scomparso nel 1969. La nota riassume con riverente ed accorato accento la vita e le attività del Grande i cui meriti tecnici industriali, amministrativi e umani sono noti in tutto il mondo da un quarantennio.

Parallelamente alla biografia del Fondatore sono ricordati gli sviluppi, i successi e l'estensione nel mondo intero della Società John Geloso (fondata nel 1931 a Milano, via Sebenico 7), che riuscì ad emergere sempre vittoriosamente anche nei duri tempi della 2ª guerra mondiale.

«L'Antenna» sorta tre anni prima della Società Geloso e quindi sua coetanea si associa all'universale compianto per la morte di G. Geloso, all'ascesa del quale assistè da testimo-

nio oculare esaltando la qualità e la vastità sempre crescente dei prodotti frutto della sua genialità. La popolarità ed il prestigio del nome «Geloso» non hanno bisogno di essere ricordate, perché ben pochi sono coloro che non abbiano in casa una radio, o un magnetofono o un giradischi, o un microfono, o un altoparlante (per non parlare di elettrolitici, resistenze e minuterie), recante il marchio distinto dal mondo attraversato dalla firma «Geloso».

D. Siamo un gruppo di studenti interessati alla TVC. Abbiamo una discreta conoscenza della lingua tedesca, ma incontriamo difficoltà a interpretare le astruse parole composte tecniche, che compaiono nella letteratura delle riviste germaniche trattanti il sistema PAL. Chiediamo se potete agevolarci la loro comprensione con un limitato lessico dei termini usati in TVC.

R. Aderiamo volentieri alla richiesta formulataci dagli studenti di TVC. Iniziamo da questo numero della nostra rivista la pubblicazione di un vocabolario che parte dalla parola tedesca e fornisce, ove possibile, il corrispondente termine italiano con la spiegazione più succinta possibile (definizione) del termine stesso.

Il lessico non è dunque riservato ai lettori che conoscono la lingua tedesca, ma rappresenta per tutti una guida per tutti coloro che esercitano un'attività nel campo della TVC.

Vi sono varie versioni dei cinescopi tricromatici; si è dato particolare riguardo al cinescopio a maschera forata, che continua ad imperare indisturbato nella fabbricazione di televisori a colori, e alla inerente tecnica costruttiva.

Inoltre, si sono considerati termini speciali, che non riguardano direttamente la TVC, ma che si riferiscono ai suoi fondamenti fisici e fisiologici.

Per l'elencazione dei termini tedeschi ci siamo valse del Vol. I «Tecnica della TVC» della serie TELEFUNKEN FACHBUCH.

## DEFINIZIONI DEI TERMINI DI TVC USATI NELLA LETTERATURA TECNICA TEDESCA

### A

*Abhebung* (= Dislivello di elevazione). Differenza di livello fra il livello di cancellazione (0,75 delle creste del sincro) e il livello del nero (0,7 delle creste del sincro).

*Ablenkeinheit der Lochmasken-Fernseh-Bildröhre* (= Gioco di deviazione del cinescopio a colori a maschera forata). Aggregato da spingere sul collo del cinescopio a colori e che comprende le bobine di deviazione con i loro accessori, il magnete di purità dei colori, il magnete di spostamento del blu e l'unità di convergenza radiale.

*Abschirmkappe* (= Copertura schermante). Involucro di lamiera di acciaio dell'ampolla imbutiforme del cinescopio a colori.

*Abschirmung, magnetische* (= Schermatura magnetica).

a) Protezione del cinescopio a colori a maschera forata mediante un involucro schermante contro i disturbi provocati da campi magnetici esterni, che provocano soprattutto errori di convergenza. Alla schermatura magnetica contribuisce anche l'armatura metallica.

b) Eliminazione dell'opposta influenza

dei tre magneti di convergenza radiale mediante tre lamierini schermanti disposti a 120° tra loro, che si trovano entro il collo del cinescopio a colori a maschera forata.

*Abstand Lochmaske-Bildschirm* (= Distanza fra la maschera forata e lo schermo d'immagine). Questa distanza è mediamente di 13,5 mm.

*Achromatisch* (= Acromatico). a) Senza colore; b) Non affetto da errori di cromaticità.

*Achromatischer Bereich* (= Campo acromatico). Zona non colorata nella tavola di cromaticità o in un triangolo dei colori.

*Achterspule* (= Bobina di smagnetizzazione). Bobina con un avvolgimento a incrocio per la smagnetizzazione della maschera forata, dell'armatura e dell'involucro schermante del cinescopio a colori a maschera forata.

*Additive Farbmischung* (= Sintesi additiva dei colori). Mescolazione dei colori additiva.

*Additive Primärfarben* (= Colori primari additivi). Colori fondamentali per la formazione dell'immagine con tre raggi luminosi colorati.

*Äquiband Betrieb* (= Sistema equibanda). Funzionamento con uguali larghezze di banda di trasmissione per le componenti del segnale primario di colore e del segnale di cromaticità.

*Alternierender Burst* (= Burst alternante). Impulso di sincronismo del colore nel sistema PAL. Questo impulso viene trasmesso con fase alternata di riga in riga. Lo si scompone in due componenti sfasate di 90° tra loro e si inverte una delle componenti ad ogni cambiamento di riga, mentre l'altra componente viene trasmessa con fase costante.

*Ångström* (= Ångström). Unità di misura adottata nell'ambito dello spettro luminoso per le lunghezze d'onda. Questa unità non appartiene al sistema metrico. Essa vale:  $1 \text{ Å} = 0,998... \cdot 10^{-10} \text{ m} \approx 10^{-10} \text{ m} = 0,1 \text{ nm}$ , ossia  $1 \text{ nm} = 10 \text{ Å}$ .

*Anticlocke Schaltung* (= Circuito anticlock). Schema con cui nel codificatore del sistema Sécam si ottiene l'attenuazione della portante di colore e delle frequenze laterali vicine ad essa. La curva di risposta in frequenza di tale circuito assomiglia al profilo di una campana rovesciata.

*Apostilb* (= Apostilb). Unità di luminanza (simbolo *asb*) derivata dall'unità di luminanza Stilb (*sb*) ( $1 \text{ sb} = 31400 \text{ asb}$ ).

*Apple tube* (= Tubo apple). Cinescopio per televisione con strisce luminescenti verticali e con «strisce indice» pure verticali. Queste sono disposte sullo strato di alluminio, che ricopre le strisce dei fosfori. Le strisce indice vengono esplorate da un pennello elettronico, il pennello di conduzione. Questo viene guidato parallelamente al pennello elettronico di sintesi e deviato unitamente ad



esso. È modulato costantemente con un'alta frequenza e porta solo una piccola corrente. Le strisce indice sono di un materiale, che all'incidenza di elettroni emette molti elettroni secondari. Questi vengono captati dallo strato conduttore della superficie interna dell'ampolla. Con ciò si ottiene che il pennello elettronico di sintesi risulti modulato, nel passaggio di una striscia di fosforo, dalla tensione di segnale corrispondente al colore della luce.

*Aquadagbelag* (= Rivestimento Aquadag). Strato di grafite colloidale depositato sulle pareti dei cinescopi. Il cono-ampolla dei cinescopi è provvisto di un rivestimento esterno ed interno aquadag. Con lo strato aquadag interno collegato all'E.A.T. si ottiene all'interno dell'ampolla conica un determinato campo elettrico. Con i due rivestimenti aquadag e con la parete isolante fraposta dell'ampolla si forma un condensatore per alta tensione, con il quale l'influenza delle brusche variazioni della corrente del fascio sull'E.A.T. dei cinescopi risulta diminuita.

*Aquadierung* (= Operazione di aquadag). a) Deposizione degli strati di aquadag sulle pareti interne ed esterne dell'ampolla di un cinescopio. b) Rivestimento aquadag.

*Armierung* (= Armatura). Involucro metallico intorno all'ampolla dei cinescopi nel transito fra la parete frontale e il cono dell'ampolla.

*ART* (= ART). Abbreviazione di Additional Reference Transmission (aggiunta di un segnale pilota).

*ART-Verfahren* (= Sistema ART). Variante al sistema NTSC, avente la particolarità che al segnale completo viene sovrapposto un segnale pilota di piccolo valore.

*AS-Signal* [= Segnale A (*Austast* = Cancellazione) + S (= Sincro)]. Somma del segnale di soppressione e del segnale di sincronizzazione.

*Auftast-Signal* (= Segnale di ammissione). Segnale con cui viene brevemente abilitato il percorso di un segnale in un blocco di uno schema. Per esempio, per l'amplificatore del burst, l'impulso orizzontale serve come segnale di ammissione.

*Augenempfindlichkeitskurve* (= Curva di sensibilità dell'occhio). Altra definizione della curva del grado relativo di sensibilità spettrale all'illuminazione, cioè della caratteristica, che indica come varia la sensibilità relativa alla luce dell'occhio adattato all'illuminazione in funzione della lunghezza d'onda del fascio luminoso.

*Ausfrausen der Farben* (= Sfrangiamento dei colori). Errore di ricoprimento dei colori, causato da movimenti bruschi nella scena da riprodurre. *Aussen-Aquadagbelag* (= Rivestimento aquadag esterno). Rivestimento conduttivo esterno dell'ampolla imbutiforme dei cinescopi.

*Austastpegel* (= Livello di soppressione). Livello dei segnali di cancellazione (0,75 livello delle creste di sincronismo). *Austastwert* (= Valore di soppressione). Livello di soppressione.

*Austastschulter* (= Banco di soppressione). Altra (più precisa) definizione del banco (pedestallo) del nero.

*Autostast-Signal* (= Segnale di cancellazione). Segnale con cui si annulla la luminosità durante i ritorni di riga e di trama.

## B

*Ballaströhre* (= Tubo regolatore). Tubo per la stabilizzazione dell'alta tensione per un cinescopio a colori contro le conseguenze delle variazioni della corrente del pennello catodico. Il tubo ballast viene pilotato in modo che, nel caso ideale, le variazioni della corrente del fascetto catodico vengano compensate mediante le variazioni della sua corrente anodica.

*Banana tube* (= Cinescopio banana). Cinescopio a colori con un solo proiettore elettronico e con solo la deviazione di riga. Lo schermo di visione ha solo quattro strisce di fosfori colorati parallelamente disposte alla direzione di scansione (rosso, verde, blu e bianco). Il pennello elettronico viene deviato trasversalmente e periodicamente su queste strisce, di modo che esso tocca ad una ad una tutte le quattro strisce (vibrazione del pennello elettronico). La corrente del pennello catodico, durante il passaggio su ciascuna striscia, viene comandata dal segnale del colore corrispondente alla striscia. Per mezzo di lenti cilindriche, che ruotano intorno al tubo secondo la deviazione verticale, l'immagine viene riprodotta in uno specchio iperbolico.

*Bandbreite des Leuchtdichte-Signal* (= Larghezza di banda del segnale di luminanza). Vedi: *Leuchtdichte-Signal* (= Segnale di luminanza).

*Bandbreiten der Farbart-Signale* (= Larghezza di banda dei segnali di cromaticità). Vedi: *Farbart-Signale* (= Segnali di cromaticità).

*Bandverschachtelung* (= Ripartizione di banda). Altra espressione della suddivisione di frequenza.

*BAS-Signal* [= Segnale immagine (*Bild* = Immagine) + Segnale di cancellazione (*Austast* = Soppressione) + Sincro (*Synchronisier Signal* = Segnale di sincronizzazione)]. Segnale video completo di televisione in bianco-nero.

*Bezugsphase* (= Fase di riferimento). a) Generalmente: relazione di fase (posizione angolare), è data dalla fase rispetto all'angolo di fase zero di una grandezza alternativa. b) Nei sistemi NTSC e PAL, la relazione di fase è data rispetto all'angolo di fase zero del segnale di cromaticità, che è la fase spostata di 180° rispetto al burst.

*Bildschirmleuchten, weisses* (= Bianco della luminosità dello schermo). La lu-

ce bianca dello schermo di visione dei cinescopi bianco-nero nasce dalla somma dei fasci luminosi di colore giallo e blu.

*Blankingsignal* (= Segnale di cancellazione). Segnale di soppressione.

*Blasse Farbe* (= Colori pallidi). Colori di grande luminanza e con una grande parte di bianco, cioè aventi un grado di saturazione essenzialmente minore di 1. *Blau-Durchhang* (= Pendenza del blu). Deviazione di una linea blu al centro dello schermo d'immagine dall'orizzontale.

*Blauquer-Einstellung* (= Regolazione laterale del blu). Breve definizione per la regolazione del magnete di spostamento laterale del blu.

*Blau-Schiebemagnet* (= Magnete di spostamento del blu). Magnete, per mezzo del quale il pennello elettronico predisposto per i punti di fosforo blu da illuminare, viene curvato in modo che il punto luminoso azionato dal pennello elettronico si sposta tangenzialmente sulla maschera forata del cinescopio tricromatico a maschera forata, in seguito alla variata curvatura. Altra denominazione: magnete laterale.

*Blausignal* (= Segnale blu). Segnale di colore primario, che comprende tanto il colore blu, quanto la luminanza.

*Blaustatik* (= Convergenza statica del blu). Correzione della convergenza statica del pennello elettronico predisposto per i punti di fosforo da illuminare blu, con regolazione dei magneti dell'unità di convergenza a ciò predisposti.

*Blaustrahl* (= Pennello elettronico blu). Pennello elettronico, che deve eccitare all'illuminazione il fosforo da illuminare in blu nei cinescopi a colori.

*Blausystem* (= Proiettore elettronico blu). Cannone elettronico per il pennello elettronico, che è predisposto per i punti da illuminare in blu dello schermo d'immagine dei cinescopi a colori a maschera forata.

*Breitband-Farbart-Achse* (= Asse di cromaticanza a larga banda). Altra designazione dell'asse I di colore.

*B-Signal* (= Segnale B video). Segnale del contenuto d'immagine (video), cioè segnale di luminanza (chiamato generalmente segnale Y in TVC).

*Burst* (= Burst = treno d'impulsi di sincronizzazione del colore). Segnale di sincronizzazione del colore, cioè impulso a frequenza portante del colore disposto sul banco posteriore di cancellazione dell'impulso di riga. Nel sistema NTSC, la fase del burst è opposta alla direzione positiva del segnale  $F$  ( $B - Y$ ). Nel sistema PAL, la fase del burst varia ad ogni cambiamento di riga rispetto alla fase del burst del sistema NTSC fra  $+45^\circ$  e  $-45^\circ$ . Ciò si designa come burst alternante.

*Burst alternierender* (= Burst alternante). Burst alternante.

*Burst-komponenten* (= Componenti del burst). Le due parti del burst, che nel sistema PAL forniscono insieme il burst alternante. Le due componenti hanno uguale ampiezza. La fase di una delle componenti del burst [la componente ( $B - Y$ )] concorda con la fase del burst del sistema NTSC. La fase dell'altra componente del burst [la componente ( $R - Y$ )] si differenzia da essa, alternativamente di riga in riga, di  $+90^\circ$  e  $-90^\circ$ .

(continua)

## Misuratore di intensità di campo - PRESTEL

### CARATTERISTICHE GENERALI

Interamente a transistori (6 transistori + 4 diodi)

Alimentazione incorporata con pila 4,5 Volt

Autonomia 100 ore circa

Controllo efficienza pila

1 Gamma UHF (470-860 MHz)

3 Gamme VHF (40-230 MHz)

Ingresso 300  $\Omega$

2 Sensibilità (1000  $\mu V$  f.s. e 50.000  $\mu V$  f.s.)

Massima sensibilità 20  $\mu V$

Precisione di misura:  $\pm 3$  dB in VHF;

$\pm 6$  dB in UHF

Sintonia rapida e fine indipendenti

Auricolare controllo auditivo

Adattatore di impedenza

Attenuatore 10 dB

Cofanetto interamente metallico

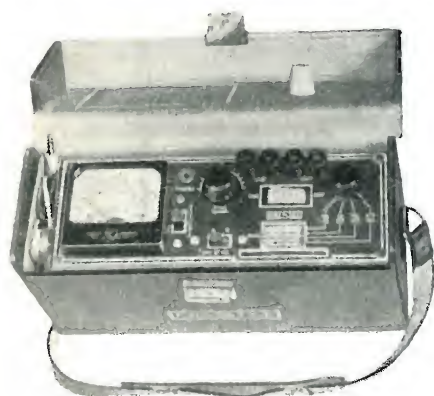
Dimensioni mm. 205 x 75 x 120

Peso kg. 1,100

Contenuto in elegante e robusta custodia in cuoio

Usi specifici:

Installazioni di antenne - Impianti collettivi centralizzati - Ricerca del segnale utile in zone critiche - Controllo resa materiali e antenne.



Modello 6T44



# PER APPARECCHI - STRUMENTI - COMPONENTI RADIO E TELEVISIONE VI INDICHIAMO I SEGUENTI INDIRIZZI

## ACCESSORI E PARTI STACCATE PER RADIO E TV TRANSISTORI

### ATES COMPONENTI ELETTRONICI

S.p.A. - Milano

Via Tempesta, 2

Telefono 46.95.651 (4 linee)

Semicondutt. per tutte le applicazioni

*Electronica Industriale*

ING. O. BARBUTI

LISSONE (Milano) Via Pergolesi 30

Tel. 039-417.83

Telecamere - Monitori - TV circuito chiuso - VIDEOCITOFONO.

*emne esse*

Antenne TV - Accessori vari

25025 MANERBIO (Brescia)

Telefono 93.83.19

Richiedere catalogo

F.A.C.E. STANDARD - Milano

Viale Bodio, 33

Componenti elettronici ITT STANDARD

FANELLI - FILI - Milano

Via Aldini, 16

Telefono 35.54.484

Fili, cordine per ogni applicazione

ISOLA - Milano

Via Palestro, 4

Telefoni 795.551/4

Lastre isolanti per circuiti stampati

LIAR - Milano

Via Marco Agrate, 43

Tel. 530.273 - 530.873 - 530.924

Prese, spine speciali, zoccoli per tubi.

**MALLORY**

Pile al mercurio, alcaline manganese e speciali

Mallory Batteries s.r.l. - Milano

Via Catone, 3 - Telef. 3761888/890

Telex 32562

MISTRAL - Milano

Via Melchiorre Gioia, 72

Tel. 688.4103 - 688.4123

RADIO ARGENTINA - Roma

V. Torre Argentina, 47 - Tel. 565.989

Valvole, cinescopi, semicond., parti stacc. radio-TV, mater. elettronico e profess. Rich. listino.

**seleco**

INDUSTRIE A. ZANUSSI S.p.A. - 33170 PORDENONE  
radiotelevisione - elettronica civile  
alta fedeltà e complementari

S G S - Agrate Milano

Diodi Transistori

SPRING ELETTRONICA

COMPONENTI

Di A. Banfi & C. - s.a.s.

BARANZATE (Milano)

Via Monte Spluga, 16

Tel. 990.1881 (4 linee)

THOMSON ITALIANA

Paderno Dugnano (Milano)

Via Erba, 1 - Tel. 92.36.91/2/3/4

Semiconduttori - Diodi - Transistori

VORAX - Milano

Via G. Broggi, 13

Telefono 222.451

(entrata negozio da via G. Jan)

**ANTENNE**

AUTOVOX - Roma

Via Salaria, 981

Telefono 837.091

**BOSCH** Impianti

centralizzati d'antenna Radio TV

**EL. FAU**

S.r.l. 20125 MILANO

VIA PERRONE DI S. MARTINO, 14 - TELEF. 60.02.97

**FRINI ANTENNE**

Cosruzioni antenne per: Radio - Autoradio - Transistor - Televisione e Componenti

FRINI ANTENNE

Cesate (Milano)

Via G. Leopardi - Tel. 99.55.271

*Electronica Industriale*

Ing. O. BARBUTI

LISSONE (MI) - Va Pergolesi 30

Tel. 039-41783

Centralini a transistori e accessori per impianti di antenne collettive.

IARE - IMPIANTI APPARECCHIATURE

RADIO ELETTRONICHE

Nichelino (Torino)

Via Calatafimi, 56 - Tel. 62.08.02



NUOVA TELECOLOR

S.r.l. - Milano

Via C Poerio 13

Tel. 706235 - 780101

ANTENNE KATHREIN

**APPARECCHIATURE  
AD ALTA FEDELTA'  
REGISTRATORI**

COSTRUZIONI

RADIOELETTTRICHE



Rovereto (Trento)

Via del Brennero - Tel. 25.474/5



**LARIR INTERNATIONAL - Milano**  
Viale Premuda, 38/A  
Tel. 780.730 - 795.762/3



**magnetofoni  
castelli**  
S.p.A.  
VIA SERBELLONI, 1-20122 MILANO  
TEL. 799.951 - 799.952 - 799.953

**Octaphonic**  
di SASSONE

Via B. Marcello, 10 - Tel. 202.250  
**MILANO**

**Ampl. Preampl. Alta fedeltà esecuz.  
Implanti.**

**R. B. ELETTRONICA di R. Barbaglia**

Via Carnevali, 107  
**20158 Milano - Tel. 370.811**  
Radio e fonografia elettrocoba  
Apparecchiature HiFi  
elettroniche a transistori



**COSTRUZIONI  
ELETTROACUSTICHE  
DI PRECISIONE**

**Direzione Commerciale: MILANO**  
Via Giotto n. 15 - Telefono n. 468.909  
Stabil. e Amm.ne: REGGIO EMILIA  
V. G. Notari - S. Maurizio - Tel. 40.141

**RIEM - MILANO**

Via dei Malatesta, 8  
Telefono, 40.72.147



**SOCIETA' ITALIANA  
TELECOMUNICAZIONI  
SIEMENS S.p.A.**

Sede, direz. gen. e uffici:  
20149 MILANO  
P.le Zavattari, 12 - Tel. 4388

**AUTORADIO  
TELEVISORI  
RADIOGRAMMOFONI  
RADIO A TRANSISTOR**

**AUTOVOX - Roma**

Via Salaria, 981  
Telefono 837.091  
**Televisori, Radio, Autoradio**

**C.G.E. - Milano**

**Radio Televisione**

Via Bergognone, 34  
Telefono 42.42

**CONDOR - Milano**

Via Ugo Bassi, 23-A  
Tel. 600.628 - 694.267



**TRANSISTORS  
STABILIZZATORI TV**

Soc. in nome coll.  
di Gino da Ros & C.  
Via L. Cadorna

**VIMODRONE (Milano)**  
Tel. 25.00.263 - 25.00.086 - 25.01.209

**DU MONT**

**Radio and Television - S.p.A. Italiana**  
**80122 - NAPOLI**  
Via Nevio, 102 d - Tel. 303500

**EUROPHON - Milano**

Via Mecenate, 86  
Telefono 717.192

**FARET - VOXSON - Roma**

Via di Tor Corvara, 286  
Tel. 279.951 - 27.92.407 - 27.90.52

**MANCINI - Milano**

Via Lovanio, 5  
**Radio, TV, Giradischi**

**NAONIS**

**INDUSTRIE A. ZANUSSI S.P.A. - PORDENONE**  
lavatrici televisori frigoriferi cucine

**PHONOLA - Milano**

Via Montenapoleone, 10  
Telefono 70.87.81

**RADIOMARELLI - Milano**

Corso Venezia, 51  
Telefono 705.541



**INDUSTRIE A. ZANUSSI S.P.A. - PORDENONE**  
lavatrici televisori frigoriferi cucine

**ROBERT BOSCH S.p.A. - Milano**

Via Petitti, 15

**Autoradio Blaupunkt**

**Samber's**

Milano - Via Stendhal 45

Telefono 4225911

**Televisori componenti radio**

**ELECTRONICS**



**Fono - Radio  
Mangladischi  
Complessi stereofonici**

**LECCO**  
Via Belvedere, 48  
Tel. 27388

**ULTRAVOX - Milano**

Viale Puglie, 15

Telefono 54.61.351

**BOBINATRICI**

**PARAVICINI - Milano**

Via Nerino, 8  
Telefono 803.426



## CONDENSATORI

**DUCATI ELETTROT. MICROFARAD**  
Bologna  
Tel. 400.312 (15 linee) - Cas. Post. 588

**ICAR - MILANO**  
Corso Magenta, 65  
Tel. 867.841 (4 linee con ricerca aut.)

## GIOCHI DI DEFLESSIONE TRASFORMATORI DI RIGA E.A.T. TRASFORMATORI

**C E A - Elettronica**

**GROPELLO CAIROLI (Pavia)**  
Via G. B. Zanotti  
Telefono 85 114

**ICAR - Milano**  
Corso Magenta, 65  
Tel. 867.841 (4 linee con ricerca aut.)

**LARE - Cologno Monzese (Milano)**  
Via Piemonte, 21  
Telefono 2391 (da Milano 912-2391)  
Laboratorio avvolgim. radio elettrici

## GIRADISCHI AMPLIFICATORI ALTOPARLANTI E MICROFONI

**LENCO ITALIANA S.p.A.**  
Osimo (Ancona)  
Via del Guazzatorre, 225  
Giradischi - Fonovalige

**PHILIPS - Milano**  
Piazza IV Novembre, 6 - Tel. 69.94  
Giradischi



**COSTRUZIONI  
ELETTRACUSTICHE  
DI PRECISIONE**

**Direzione Commerciale: MILANO**  
Via Giotto n. 15 - Telefono n. 468.909  
**Stabilim. e Amm.ne: REGGIO EMILIA**  
**V. G. Notari - S. Maurizio - Tel. 40.141**

**RIEM - Milano**  
Via dei Malatesta, 8  
Telefono, 40.72.147



**SOCIETA' ITALIANA  
TELECOMUNICAZIONI  
SIEMENS S. p. A.**  
Sede, direz. gen. e uffici:  
20149 MILANO  
P.le Zavattari, 12 - Tel. 4388

## GRUPPI DI A. F.

**LARES - Componenti Elettronici S.p.A.**  
Paderno Dugnano (Milano)  
Via Roma, 92

**PHILIPS - Milano**  
Piazza IV Novembre, 3  
Telefono 69.94

**RICAGNI - Milano**  
Via Mecenate, 71  
Tel. 504.002 - 504.008

## POTENZIOMETRI

**ICAR - Milano**  
Corso Magenta, 65  
Tel. 867.841 (4 linee con ricerca aut.)

**LIAR - Milano**  
Via Marco Agrate, 43  
Tel. 530.273 - 530.873 - 530.924

## RESISTENZE

**Re. Co. S.a.s. FABB. RESISTENZE E  
CONDENSATORI**  
Via Regina Elena, 10 - Tel. (035) 901003  
24030 MEDOLAGO (Bergamo)

## RAPPRESENTANZE ESTERE

**Ing. S. e Dr. GUIDO BELOTTI - Milano**  
Piazza Trento, 8 - Tel. 542.051/2/3

### Strumenti di misura

Agenti per l'Italia delle Ditte: Weston  
- General Radio - Sangamo Electric -  
Evershed & Vignoles - Tinalay Co.

**LARIR INTERNATIONAL - Milano**  
Viale Premuda, 38/A  
Tel. 780.730 - 795.762/3

**SILVERSTAR - Milano**  
Via dei Gracchi, 20  
Tel. 46.96.551

**SIPREL - Milano**  
Via S. Simpliciano 2 - Tel. 861.096/7  
Complessi cambiadischi Garrard, vali-  
gie grammofoniche Suprovox

## STABILIZZATORI DI TENSIONE

**LARE - Cologno Monzese (Milano)**  
Via Piemonte, 21  
Telefono 2391 (da Milano 912-239)  
Laboratorio avvolgim. radlo elettrico

## STRUMENTI DI MISURA

### BELOTTI - Milano

Piazza Trento, 8

Telefono 542.051/2/3

### CHINAGLIA (Belluno)

Elettrocostruzioni s.a.s.

Via Tiziano Vecellio, 32

Tel. 25.102 - 22.148



### ELETTRONICA - STRUMENTI - TELECOMUNICAZIONI

Via Vittorio Veneto

35109 TOMBOLO (Padova)

Costruz. Elettroniche Profess.

### GIANNONI SILVANO

Via Lami, 3 - Tel. 30636

S. Croce sull'Arno (Pisa)

### TUTTO IL MATERIALE PER TECNICI E RADIOAMATORI

### I.C.E. - Milano

Via Rutilia, 19/18

Telefoni 531.554/5/6

### SEB - Milano

Via Savona, 97

Telefono 470.054

### TES - Milano

Via Moscova, 40-7

Telefono 667.326

### UNA - OHM - START

Plasticopoli - Peschiera (Milano)

Tel. 9150424/425/426

### VORAX - Milano

Via G. Broggi, 13

Telefono 222.451

(entrata negozio da via G. Jan)

Pubblichiamo dietro richiesta di molti dei nostri Lettori questa rubrica di indirizzi inerenti le ditte di Componenti, Strumenti e Apparecchi Radio e TV.

Le Ditte che volessero includere il loro nominativo possono farne richiesta alla « Editrice il Rostro » - Via Monte Generoso 6 A - Milano, che darà tutti i chiarimenti necessari.

**È uscito:**

# SCHEMARIO TV

## 39<sup>a</sup> SERIE

con note di servizio e tavole a colori

Lire 6.500

**Acquistatelo!**

**Editrice IL ROSTRO - 20155 Milano - Via Monte Generoso 6/a**



# Ricerca è progresso SGS è ricerca

Quattro nuovi microcircuiti  
ad alta immunità al rumore

H103 Porta tripla NAND a 3 ingressi  
H111 Doppio Flip-Flop tipo JK  
H113 Interfaccia da HLL a CCSL  
H114 Interfaccia da CCSL a HLL

La famiglia di microcircuiti ad alta immunità al rumore H100 progettata e realizzata nei laboratori internazionali di ricerca e sviluppo della SGS, è stata ora ampliata con l'introduzione di altri elementi; le loro caratteristiche di eccellente immunità al rumore minimo 5 Volt a  $V_{cc} = 15$  Volt, ampia gamma di tensione di alimentazione da 10,8 a 20 Volts, elevato potere di comando, (fan out minimo = 25) ne permettono l'impiego in concomitanza, concorrenza e sostituzione degli organi elettromeccanici tradizionali.

In alto:  
progettazione di un nuovo  
cicuito integrato.  
Di fianco:  
microfotografie (x35)  
dei circuiti integrati  
H103, H111, H113, H114.

Scatole fornite a Design Nuova

SOCIETÀ  
GENERALE  
SEMICONDUCTORI  
AGRATE, MILANO



tecnologia di domani per oggi

ITALIA  
INGHILTERRA  
FRANCIA  
GERMANIA  
SVEZIA  
SINGAPORE



# IL VERO ASCOLTO PRIVATO AD ALTA FEDELTA' ABBINATO ALLA MASSIMA FLESSIBILITA' DI IMPIEGO



SHARPE INSTRUMENTS - USA



## CUFFIA STEREOFONICA MOD. HA-9

Realizzata con materiali di primissima scelta, e con caratteristiche estetiche i cui pregi si abbinano alla robustezza ed all'eleganza, questa cuffia stereofonica è stata studiata espressamente per gli appassionati dell'ascolto privato in Alta Fedeltà. Contiene due elementi magnetodinamici bilanciati, con perfetta linearità di responso da 15 a 20.000 Hz. Le soffici guarnizioni che ne consentono l'uso per lunghi periodi di tempo attenuano il livello sonoro ambientale di ben 40 dB alla frequenza di 1.000 Hz.

**CARATTERISTICHE** - Risposta di frequenza: 15-20.000 Hz. Impedenza: 8 ohm. Potenza max.: 2 Watt per auricolare (130 dB). Attenuazione dei rumori d'ambiente: 40 dB a 1 kHz. Distorsione armonica: min. dell'1%. Sensibilità: 90 dB a 0,013 V. d'ingresso.

**GARANZIA: UN ANNO.**

## CUFFIA STEREOFONICA MOD HA-10/MkII

È la versione modernizzata del ben noto modello HA-10, per il nuovo aspetto estetico, ed i miglioramenti apportati agli effetti della comodità di impiego. Per le sue prestazioni di eccezionale qualità, questa cuffia ha meritato l'alto elogio dei dirigenti delle disco-nastroteche mondiali, nonché degli audiofili più esigenti. Prestazioni eccezionali, con linearità di responso da 15 a 30.000 Hz, con potenza massima di 2 W per lato. La distorsione armonica ammonta all'1,7% a 50 Hz, e ad un massimo dello 0,86% a 1.000 Hz. Caratteristiche meccaniche analoghe a quelle del modello HA-9.

**CARATTERISTICHE** - Risposta di frequenza: 30-15.000 Hz  $\pm$  3 dB, globale da 15 a 30.000 Hz. Potenza max.: 2 Watt per auricolare. Impedenza: 8 ohm. Distorsione armonica media: minore del 0,8%. I cuscinetti contenenti glicerina permettono oltre che un'ottimo comfort d'ascolto anche un'elevato isolamento dai rumori ambientali ( $-$  40 dB a 1 kHz).

**GARANZIA: UN ANNO.**

AGENTI GENERALI PER L'ITALIA

**LARIR** International s.p.a.

20129 MILANO

VIALE PREMUDA 38/a TEL. 79 57 62/63 - 78 07 30

**TELEVISORE**

**GRUNDIG**

**Mod. Eleganz 25a**



